食品加工および資材の新知識

# New Food Industry

New food indust. 60 (11): 2018.

- 霊芝菌糸体培養培地抽出物の血糖上昇抑制作用と抗酸化作用
- Extracts of Edible Mushroomsによる 免疫賦活および放射線防護効果に関する研究
- 漢方の効能(2)薬膳とは
- 酒たちの来た道 酒造りの文明史⑫
- ベジタリアンの健康・栄養学
- 連載 漢方の効能(2)薬膳とは





自然の恵みを運ぶ

丸善製薬株式会社

【東京】東京食品課 〒150-0021 東京都渋谷区車比寿西2-6-7 TEL(03)3496-1521 FAX(03)3496-1641 【大阪]大阪食品課 〒541-0045 大阪府大阪市中央区道修町 2-6-6(塩野日生ビル 6F) TEL (06) 6203-6918 FAX (06) 6233-3806 http://www.maruzenpcy.co.jp

# **New Food Industry** 食品学術誌のご案内

◆この雑誌についてのお問合せ◆ TEL:042-312-0836

|エヌエフアイ合同会社 ▮検索 ▶

# New Food Industry とは

月刊「New Food Industry」誌は、1959(昭和 34)年に創刊以来、食品業界の発展を目 指す斯界の研究者ならびに教育機関の先生方などのご助言、ご協力をいただきながら 60年の歴史を歩んで参りました。これまで途絶えることなく60年間に亘り発行を続け られたことは、我が国の食品業界における学術誌としては稀有の存在であり、今日の食 品業界の発展に少なからず寄与しているものと自負しております。

雑誌コード:89591 年間購読料

前払い:1冊2,160円(税込)×12ヵ月 10%割引 23,328円

送料【100円】×12ヵ月 1.200円 合計:24.528円

後払い:定価

▶ご注文は FAX またはメールにて FAX:042-312-0845 info@nfi-llc.co.jp

# **New Food Industry**

目 次

2018 Vol.60 No.11

が
□ 霊芝菌糸体培養培地抽出物の血糖上昇抑制作用と抗酸化作用 Inhibitory effects on postprandial blood glucose elevation and antioxidan properties of a water-soluble extract from culture medium of <i>Ganoderma lucidum</i> (Rei-shi) mycelia
••••• 飯塚 博, 日比野 康英 1
□ Extracts of Edible Mushrooms による 免疫賦活および放射線防護効果に関する研究 Immunoenhancement and radioprotection effect by Extracts of Edible Mushrooms ・・・・・・・・・・・・・・・・・・・・・・・・・・・・・・・・・・・
· · · · · · · · · · · · · · · · · · ·
□ ニジマス用飼料の炭水化物源-2 
□ グルテンフリ−穀物 食品と飲料, グルテンの検知−2 ・・・・・・・・・ 瀬口 正晴, 竹内 美貴, 中村 智英子 <b>42</b>
連載 漢方の効能
□(2) 薬膳とは ・・・・・・・・・・・・・・・・・・・・・・・・・・・・・・・・ 白瀧 義明 <b>57</b>
山ル 我の」 リア

# **New Food Industry**

# Contents

new発酵調味料

2018 Vol.60 No.11

◆№ 大日本明治製糖株式会社

食品事業部 〒103-0027 東京都中央区日本橋1-5-3 日本橋西川ビル7F TEL(03)3271-0755

# 酒たちの来た道 □ 酒造りの文明史⑫ ・・・・・・・・・・・・・・・・・・・・・・・・・・・・・・・ 古賀 邦正 59 ベジタリアンの健康・栄養学 □ 第3章 アドベンチストの長寿(他の人との比較) ・・・・・・・・・・・・・・・・・・・・・ゲーリー E. フレーザー, 訳: 山路 明俊 72 連載 □ 野山の花 ― 身近な山野草の食効・薬効 ― キササゲ Catalpa ovata G. Don (ノウゼンカズラ科 Bignoniaceae) □ デンマーク通信 デンマークのキャンディ ..... Naoko Ryde Nishioka 82 酵素分解調味料なら 大日本明治製糖へ (新発売!)乳製品にベストマッチな調味料 **酵母エキス系調味**料 *コワベ*-ス ラクティックイーストエキス 乳加工品・製バン・製菓・チーズ・バターへの コクづけ、味や風味の底上げなど、ユニークな 特長がある乳酵母エキスです。

ゼラチン& 小麦クルテン

酵素分解調味料

すべては母乳から始まった・・・ "乳"を知りたい人に必読の書。

> ISBN978-4-87991-003-5 C1077 発売日:2011年9月20日

> > 型:A5版

頁 数:184頁

圳

定 価:(本体2,800円+税)

# 母乳の力

# 母乳タンパク質に秘められた牛体防御機能

私たち成人は、主食や副食により、栄養機能、感覚機能、生体調節機能を充たしています。しかし、哺乳動物の新生児は、母乳だけでこれらの機能を充たします。このことは、母乳には、生命活動に必要なすべての栄養素、嗜好性成分および生体調節成分が含まれることを意味しています。(中略) "母乳"は、"人乳"だけを意味するものではありません。哺乳動物の母親の分泌する乳すべてを意味しています。本書が、畜産物利用学、食品機能学、栄養学、食品タンパク質科学、食品免疫科学などに関心をお持ちの学生、教育者、技術者および研究者の皆様のお役にたてば、著者の存外の喜びです。(本書まえがきより)

母乳の力

母乳タンパク質に秘められた生体防御機

大谷 元



食品資材研究会

内容紹介

第1章 母乳の基礎知識

母乳で学ぶ食品の機能/母乳タンパク質の一般的性質

第2章 生体防御機能の基礎知識

哺乳動物の生体防御機能としての免疫/生体防御機能の探索法

第3章 母乳タンパク質の生体防御機能

母乳タンパク質とその消化により生じるペプチドの生体防御機能/牛乳IgGの獲得液性免疫抑制機能/パン酵母とパン酵母に特異的なヤギ乳IgGのI型アレルギー軽減作用/ウシ後期初乳の生体防御機能

第4章 牛乳タンパク質の生体防御機能に着目した食・飼料 の開発の実際

カゼインホスホペプチドの粘膜IgA産生促進機能とそれに着目した飼料/牛乳IgGの 感染予防機能とそれに着目した食品の開発

牛乳アレルギー/牛乳タンパク質の抗原構造/牛乳タンパク質を原料に用いた牛乳

第5章 牛乳アレルギーとその治療乳・予防乳

著者/大谷 元 (おおたに はじめ)

農学博士。信州大学大学院農学研究科

著者プロフィール

#### <受賞>

1981年 日本畜産学会研究奨励賞(牛乳β-ラクトグロブリンの抗原性に関する研究)

1987年 日本畜産学会賞(牛乳蛋白質の抗原性に関する研究)

2005年 日本酪農科学会賞(ミルクたんぱく質およびその部分ペプチドの免疫調節機能に関する研究)

2008年 日本農学賞(牛乳たんぱく質の免疫調節機能の探索と利用技術の開発)

2008年 読売農学賞

2009年 Animal Science Journal Excellent Paper Award

2010年 紫綬褒章

◆ご注文は FAX またはメールにて FAX:042-312-0845 info@nfi-llc.co.jp

アレルギーの治療乳・予防乳の開発の実際

# 霊芝菌糸体培養培地抽出物の 血糖上昇抑制作用と抗酸化作用

Inhibitory effects on postprandial blood glucose elevation and antioxidant properties of a water-soluble extract from culture medium of Ganoderma lucidum (Rei-shi) mycelia

> 神内 伸也 (KAMIUCHI Shinya)1 岡崎 真理 (OKAZAKI Mari)1 博 (IIZUKA Hiroshi)2 日比野 康英 (HIBINO Yasuhide)1,\*

1 城西大学大学院 薬学研究科, 2 野田食南工業株式会社

Key Words: 霊芝、霊芝菌糸体培養培地抽出物 (MAK)、糖質分解酵素、2 型糖尿病、KK-A<sup>y</sup> マウス、α-グルコシダー ゼ阻害剤、食品医薬品相互作用、1型糖尿病、ストレプトゾトシン

#### 要旨

霊芝菌糸体培養培地抽出物(MAK)は、霊芝菌糸体をバガスと脱脂した米糠の混合固形培地に接 種し、一定期間培養後、子実体発生直前に培地と共に熱水抽出・噴霧乾燥したもので、健康食品と して長年の食経験がある。我々は、民間療法による MAK の使用例の中で、血糖値の改善効果が得 られる可能性が示唆されたことから、科学的なデータを取得することを目的に研究を行ってきた。 MAKは、マルトースの経口糖負荷試験において、正常血糖マウスの血糖上昇を顕著に抑制した。こ の作用は、MAK の  $\alpha$ - グルコシダーゼ阻害作用によるもので、腸管での糖質分解酵素活性を阻害し て糖質の吸収を遅延させたためと考えられる。また、MAK は、2 型糖尿病モデルマウスに対しても 同様な食後過血糖改善効果を示すが、α-グルコシダーゼ阻害剤のボグリボースと同時に服用すると、 血糖上昇抑制効果がほぼ完全に消失する。この現象は、MAK と一部の食後過血糖改善薬との間で相 互作用が生じたためであり、その使用には注意が必要であることを示唆している。さらに、1型糖尿 病モデルマウスに MAK を長期投与すると、血糖値に加えて血中酸化ストレス度が有意に低下する。 加えて、腎臓および肝臓の過酸化脂質量および抗酸化酵素活性が、正常血糖マウスのそれらとほぼ 同レベルに維持され、その結果として組織学的障害が軽減されると考えられる。

以上の結果から、MAK は食後の過血糖を抑制する効果に加えて長期的な投与による血糖上昇抑制 作用によって、食直後の過血糖および持続的な高血糖状態に起因する酸化ストレスを低下させるこ とから、臓器障害を予防・改善する機能性食品として有用であると考えられる。

\*連絡先:〒350-0295 埼玉県坂戸市けやき台1-1

城西大学大学院薬学研究科 医薬栄養学専攻

Tel: 049-271-7285 Fax: 049-271-7284 E-mail: seitaib@josai.ac.jp Inhibitory effects on postprandial blood glucose elevation and antioxidant properties of a water-soluble extract from culture medium of *Ganoderma lucidum* (Rei-shi) mycelia

Shinya Kamiuchi 1, Mari Okazaki 2, Hiroshi lizuka 2, Yasuhide Hibino 2, \*

[Key words: *Ganoderma lucidum*; water-soluble extract of *Ganoderma lucidum* mycelia (MAK); saccharidase; type 2 diabetes; KK-A<sup>y</sup> mouse; α-glucosidase inhibitor; food-drug interaction; type 1 diabetes; streptozotocin]

#### **Abstract**

A water-soluble extract (MAK) was prepared from the culture medium of *Ganoderma lucidum* (Reishi) mycelia, which were inoculated into a mixed solid medium composed of bagasse and degreased rice bran. The mycelia were cultured for a certain period of time and extracted with hot water, and immediately spray-dried before appearance of fruit body. MAK has been consumed as a healthy food from many years. Because we suggested the use of MAK as a folk remedy for elevated blood glucose level, we aimed to acquire scientific data regarding the efficacy of MAK in reducing blood levels.

In the oral maltose tolerance test, oral administration of MAK, which did not affect fasting blood glucose level, significantly suppressed the increase in blood glucose level after the loading of maltose. This suppression is surmised to have occurred due to the  $\alpha$ -glucosidase inhibitory action of MAK, which may be based on the inhibition of saccharide hydrolyzing enzymes in the intestinal tract that is responsible for reducing carbohydrate absorption. Additionally, MAK showed the same efficacy for improving postprandial hyperglycemia in mice with type 2 diabetes. However, the glucose-lowering effect of voglibose was not observed in maltose-loaded mice with type 2 diabetes when it was concomitantly administered with MAK. This phenomenon possibly occurred due to the interaction between MAK and some drugs which ameliorate postprandial hyperglycemia indicating that caution is required for its use. Long term oral administration of MAK reduced the levels of blood glucose and oxidative stress in mice with type 1 diabetes. Notably, MAK prevented an increase in lipid peroxide levels and reduction in the activity of antioxidant enzymes in the liver and kidney. These data suggest that MAK alleviates the histological disorder.

To summarize, our data suggest that MAK reduces the oxidative stress caused by postprandial hyperglycemia and alleviates persistent hyperglycemia through the suppression of blood glucose elevation after long term administration. Thus, MAK is useful as a functional food for the prevention as well as improvement of organ disorder.

\*To whom correspondence should be addressed.

Department of Clinical Dietetics and Human Nutrition, Graduate School of Pharmaceutical Sciences, Josai University,

1-1 Keyakidai Sakado, Saitama 350-0295, Japan

TEL: +81-49-271-7285 FAX: +81-49-271-7284 E-mail: seitaib@josai.ac.jp

<sup>&</sup>lt;sup>1</sup> Graduate School of Pharmaceutical Sciences, Josai University

<sup>&</sup>lt;sup>2</sup> Noda Shokukinkogyo Co. Ltd.,

#### はじめに

霊芝はサルノコシカケ科に属するマンネンタ ケ (Ganoderma lucidum) の別名であり、古く から滋養強壮・長寿の伝承薬として使用されて きた。マンネンタケあるいはその成分は非常に 広範な生理学的活性を示し、免疫調節作用 1,2) や抗悪性腫瘍作用<sup>3,4)</sup>, 抗ウィルス作用<sup>5)</sup>, コ レステロール低下作用 6), 抗酸化作用 7) など が実験的に証明されている。また, 血糖降下作 用についてもいくつかの報告がある<sup>8-11)</sup>。しか し,これまでの研究では、マンネンタケの子実 体を材料としており、これに対して MAK はマ ンネンタケ菌糸体をバガスと脱脂した米糠の混 合固形培地に接種し、3.5ヶ月間培養後、子実 体発生直前に培地と共に熱水抽出・噴霧乾燥し たものである。MAK は、マンネンタケの菌糸 体成分を由来として, 水溶性リグニンをはじめ とした菌糸細胞による固形培地の分解物や菌糸 体の自己消化成分等を含有していることから, これらの多様な成分が MAK の生物学的活性を 修飾していると考えられる。

近年, 我が国における糖尿病患者は急激に増 加し, 医療費を増大させていることから, 食 品・食品成分による糖尿病の予防、改善が注目 されている。例えば、茶として飲用されるグァ バ<sup>12)</sup>,マテ<sup>13)</sup>などの葉の抽出物が糖類分解酵 素を阻害し、糖質の消化吸収を遅延させること が明らかにされている。これまでに報告された MAK の薬理学的効果には, 免疫賦活作用 <sup>14)</sup>, 抗腫瘍作用 15,16), 抗うつ様作用 17), 血圧上昇 抑制作用 <sup>18)</sup>, 虚血性脳障害軽減作用 <sup>19,20)</sup> など が動物実験によって確認されているが、これら に加えて我々は MAK の糖の消化・吸収や糖代 謝への影響に関する知見を複数の論文で報告し てきた。当初は、民間療法における MAK の使 用例から、糖尿病の患者に対する高血糖の改善 効果がみられるとの報告があるものの, 科学的 なデータにもとづいた証明はなされていなかっ た。第1節では MAK の血糖上昇抑制効果につ いて in vitro 試験と正常血糖マウスを用いた in vivo 試験の結果について概説する。

我が国をはじめとした先進国において深刻な 問題となっている2型糖尿病は、インスリン分 泌異常とインスリン感受性の低下を示し, 発症 には遺伝的要因とともに生活習慣が深く関わっ ている。2型糖尿病の初期には、空腹時血糖値 が正常もしくは軽度の上昇にとどまる一方で, 食後の過血糖が生じることが知られている。こ の食後過血糖の改善を目的に, 現在アカルボー スやボグリボース等の α- グルコシダーゼ阻害 剤が広く用いられている。この薬物は、食物中 の糖質を分解する際に利用される α- グルコシ ダーゼの作用を抑制する働きがあり、食前に服 用すると消化管での糖質の分解・吸収を遅延し、 食後の血糖値の急激な上昇を抑制する。第2節 では、軽度糖尿病患者による MAK の利用を想 定し、2型糖尿病モデル動物である KK-A<sup>y</sup>マ ウスを用いて血糖上昇抑制作用を調査するとと もに、軽度糖尿病患者に対して処方頻度の高い 食後過血糖改善薬との同時服用による相互作用 の有無を見極めるため, α- グルコシダーゼ阻 害薬であるボグリボースまたはアカルボースと MAK の併用効果について in vitro および in vivo の両実験系を用いた内容を概説する。

糖尿病は、生体にとって最も重要なエネル ギー源であるグルコースの代謝異常を生じる疾 患であり、病態の進行に伴い網膜症や腎症など の合併症を誘発し、続いて動脈硬化病変の促 進による冠動脈疾患,脳梗塞,末梢血管の狭 窄などのリスクを増大させる。これらの糖尿病 合併症の発症と進行には、糖尿病の持続的高血 糖状態による体内酸化ストレスの増大が深く関 与している<sup>21)</sup>。例えば、酸化ストレスの原因 物質であるスーパーオキシドアニオンラジカ ル  $(\cdot O_2^-)$ , 過酸化水素  $(H_2O_2)$ , ヒドロキシラ ジカル (·OH) などの活性酸素種 (ROS) は, DNA の損傷や脂質の過酸化, タンパク質の変 性などを誘導し, 生体にとって有害な反応を引 き起こす。特に, 高血糖状態では, 終末糖化産 物(AGEs)の生成過程で血管内皮細胞におい て ROS が発生し、血管障害が生じることが報 告されている。また、ROS によってもたらさ

れる種々の毒性に対して、生体内ではスーパー オキシドジスムターゼ (SOD), カタラーゼ (CAT). グルタチオンペルオキシダーゼ (GPx) といった抗酸化酵素などの内因性の ROS 除去 機構が機能しているが、糖尿病状態では、組織 中の抗酸化酵素活性が低下し、また、ビタミン C. ビタミンEやグルタチオンなどの抗酸化物 質も減少するために ROS 等の毒性の軽減を難 しくしている。ROSは、糖尿病のみならず多 くの疾患に関与することから, これらの疾病予 防やその改善効果を目的とした酸化ストレスの 軽減が重要視されている。近年, 多くの基礎研 究 22, 23) や疫学研究 24) から抗酸化食品等の摂 取による ROS 除去が酸化ストレスの軽減に有 効であるとの知見が得られており、抗酸化ビタ ミンやポリフェノール等の抗酸化物質、または これらを含む抗酸化食品の摂取による糖尿病の 改善や二次的障害の予防が注目されている。そ こで、第3節ではMAKの抗酸化能に基づいた ストレプトゾトシン誘発1型糖尿病モデルマウ スに対する高血糖の改善作用,酸化ストレスの 軽減効果について概説した。以上. これらの知 見から MAK の機能性食品としての有用性につ いて概説する。

#### 第1節

## 1. 正常血糖マウスにおける糖負荷後の MAKの血糖上昇抑制作用<sup>25)</sup>

MAK は単独で経口投与しても、正常血糖マウ ス (ICR マウス) の空腹時血糖値に影響を与え ないが、マルトースの経口糖負荷試験では、蒸 留水を投与した対照群と比較して MAK 投与後 30 分および 60 分の血糖上昇を抑制する (図1)。 マルトース負荷による MAK 投与群の AUC は、 水投与群と比較して約18%有意に減少するも のの、グルコース負荷時には MAK 投与群と 水投与群で血糖値の推移に差がないことから, MAK はグルコースの吸収作用に影響しない。 一方, in vitro 実験から MAK はマルターゼ等の α- グルコシダーゼ活性を濃度依存的に阻害す ることから、小腸粘膜に存在する二糖類分解酵 素活性、また唾液および膵臓由来の α- アミラー ゼ活性を阻害して, ブドウ糖など単糖への変換 を抑制することで、腸管からのグルコース等の 吸収を遅延あるいは抑制する。しかし、糖負荷 後の MAK の血糖値上昇抑制効果が α- グルコ シダーゼ阻害作用による考えだけでは十分な説 明ができないことから、MAK には糖類分解酵 素阻害に加えて MAK によるインスリン分泌促 進作用などが関与している可能性が考えられ

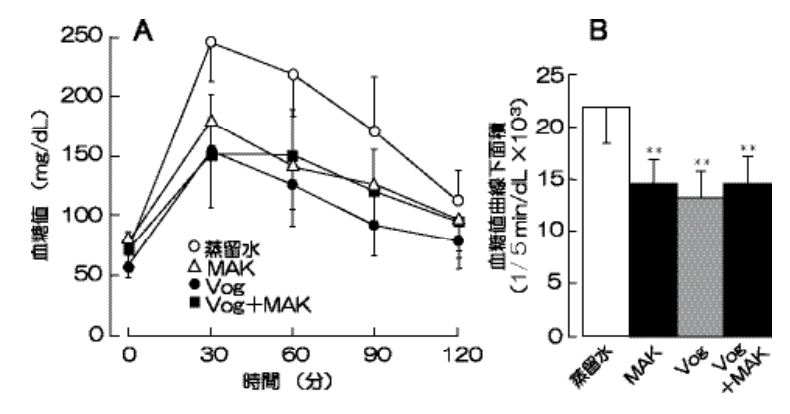


図1 ICR マウスにおける糖負荷後の血糖上昇に与える MAK 単独、ボグリボース単独とその併用効果  $^{25)}$  MAK  $(1\,g/kg)$  単独、ボグリボース  $(0.1\,mg/kg)$  単独、その併用によるマルトースの経口糖負荷試験を行った。

- A. 蒸留水 (○), MAK 単独 (△), ボグリボース単独 (●, Vog) あるいはボグリボースと MAK 併用 (■, Vog+MAK) 時の単回糖負荷試験を,マルトース (2 g/kg) を負荷して行った。
- B. 蒸留水, MAK 単独, ボグリボース単独, ボグリボースと MAK 併用時の単回糖負荷試験による血糖値曲線下面積を示した (\*\*p<0.01)。

る。すでに、グァバ葉熱水凍結乾燥粉末を用い た同様の実験 12) でこのような知見が得られて いる。

マンネンタケ成分の血糖降下作用について は, 曳野ら 10,11) がマンネンタケ子実体中の分 子量約3000の多糖ガノデランAおよびBがマ ウスの血糖降下作用を示すことを報告してい る。また、特異的かつ強力な α- グルコシダー ゼ阻害作用を示す成分 SKG-3 が単離されてい る<sup>26)</sup>。さらに、マンネンタケの子実体から熱 水抽出された分子量約58万の多糖が膵臓B細 胞からのインスリン分泌を促進するとしてお り<sup>8)</sup>, MAK にも類似した分子が含まれている ものと考えられる。このように、マンネンタケ を含む多くのキノコから生理活性物質が報告さ れているものの、再現性などの点から子実体を 材料とした成分抽出には複数の欠点がある。例 えば、多くの場合子実体発生までには相当の時 間が必要であり、その摘み取り時期や産地の違 いによる成分含量のばらつきや抽出効率が一定 でないこと, さらにはカビなどの微生物の汚 染を受けやすいことなどがある。これに対して MAK は、マンネンタケ菌糸体をバガスと脱脂 した米糠の混合固形培地に接種して子実体発生 直前まで培養した培地まるごとの熱水抽出物で ある。つまり、霊芝菌糸のみの培養によって得 られたものであり、培養条件をコントロールし やすく, 抽出物質の品質が安定している点が特 徴である。また、子実体発生を待つことなく培 養を終了させるために,培養期間を短縮できる。 これまでに、MAK には多糖体、プロテオグリ カン, テルペノイドなどのマンネンタケ菌糸体 由来成分に加え、菌糸体による固形培地の分解 物である水溶性リグニンや菌糸体の自己消化成 分などの水溶性生理活性成分が含まれているこ とが明らかになっている。また、バガス、米 糠, 菌糸体, 子実体中の各成分比率は MAK と 大きく異なることから、水溶性リグニンをはじ めとした培地の分解物や菌糸体の自己消化成分 などの水溶性生理活性物質が MAK の生理活性 を発揮していると考えられる。本節で示された

MAK の血糖上昇抑制作用の一つが、α-グルコ シダーゼ阻害作用によるものであることから, MAK にもすでに報告された SKG-3 と同様の物 質が含有し,これが血糖降下に関与したと考え られる。一方, マンネンタケ子実体に見出され ている水溶性多糖によるインスリン分泌促進作 用の知見から、今後 MAK の血糖上昇抑制作用 とインスリン分泌促進作用との関連についてさ らなる検討が必要である。

### 2. 正常血糖マウスにおける MAK と食後過 血糖改善薬の併用効果<sup>25)</sup>

経口摂取された糖質は, 小腸粘膜上皮におい て最終的な消化を受け,刷子縁から吸収される。 刷子縁上には、マルターゼやスクラーゼなどの α-グルコシダーゼ(二糖類加水分解酵素)が 存在し, 二糖類を単糖類に分解することで糖が 吸収される。α-グルコシダーゼ阻害剤は、酵 素の活性部位に結合し, 二糖類の結合を競合し て阻害することにより、糖質の消化・吸収を遅 延させ、食後過血糖を改善する薬物である。こ の薬物は、食後以外の血糖値には影響せず低血 糖を誘発しないため,空腹時血糖が良好である が食後血糖が高値を示す2型糖尿病患者に第一 選択薬として多く用いられている。そこで、軽 度糖尿病患者に頻繁に処方される食後過血糖改 善薬の α- グルコシダーゼ阻害薬(ボグリボー ス,アカルボース)とMAKとの併用効果につ いて検討した。in vitro 実験から、低濃度のα-グルコシダーゼ阻害薬と MAK を混合すると, MAK の濃度に依存してマルターゼ阻害作用が 増強されるものの、効果量のα-グルコシダー ゼ阻害薬に MAK が共存しても作用の増強は認 められない (図2)。また、ICR マウスを用い た糖負荷試験(in vivo 試験)において MAK を 併用した場合でも, ボグリボースの効果量での 血糖上昇抑制効果に対してほとんど影響がな く,他のα-グルコシダーゼ阻害薬であるアカ ルボース (グルコバイ錠, バイエル薬品) を用 いた実験結果も同様であった(図1)。従って, 正常血糖マウスにおいては、MAK と効果量の

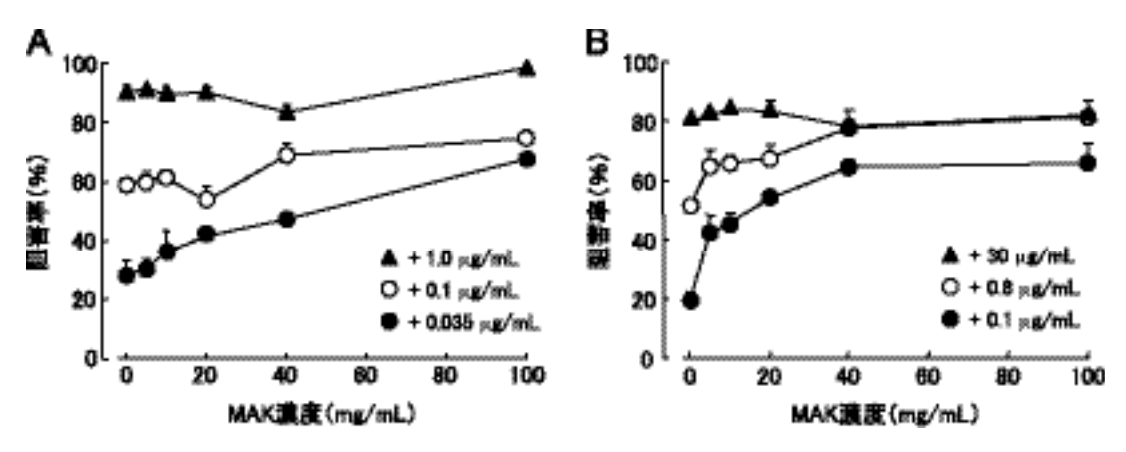


図 2 マルターゼ活性に対する  $\alpha$ - グルコシダーゼ阻害薬と MAK の併用効果  $^{25)}$ 

A. ボグリボースと MAK の併用効果

マルターゼによるグルコースの生成量を 100% として、ボグリボースと MAK 混合時の阻害率(%)を示した。

B. アカルボースと MAK の併用効果

マルターゼによるグルコースの生成量を 100 % として、アカルボースと MAK 混合時の阻害率(%)を示した。 すべての値は平均値±標準偏差(n=5)で示した。

これら食後過血糖改善薬を併用しても過度の血糖降下を生じないと考えられる。出口ら<sup>27)</sup> は、同様に食後過血糖改善薬の効果量に食後血糖値上昇抑制作用を示すグァバ葉抽出液を併用しても薬剤の作用に影響を及ぼさないことを報告している。これらの結果から、糖類分解酵素阻害活性を有する MAK は、比較的マイルドな食後過血糖改善効果を示すと同時に、効果量の食後過血糖改善薬を併用しても過度の血糖降下作用を及ぼさないと考えられる。

現在、様々なサプリメントや健康食品などが一般社会に流通しており、医療機関から処方される薬剤とこれらを併用する機会が増加している。中でも軽度糖尿病患者の多くは、食後過血糖改善薬を服用しており、このような患者が血糖上昇抑制作用を示す食品・食品成分を摂取した場合、薬剤との相互作用を考慮する必要がある。今後、医薬品と食品・食品成分の相互作用に関する安全性確保の観点から、適切なモデル実験により得られた種々の薬剤と食品の併用効果に関する情報が消費者に提供され、医薬品と食品が安全に利用されることが望まれる。

#### 第2節

## 1. 2 型糖尿病モデルマウスにおける糖負荷 後の MAK の血糖上昇抑制作用 <sup>28)</sup>

神内ら<sup>28)</sup> は、食品の三次機能を医療に活用できないかと考え軽度糖尿病態での MAK の作用について解析した。そのため、遺伝的に改変して作製された 2 型糖尿病モデルの KK-A<sup>y</sup> マウスを用いて、単回糖負荷による血糖上昇に対する MAK の作用について検討した(図 3)。

MAK は、KK-A<sup>y</sup>マウスの空腹時血糖値に影響を与えることなくマルトース負荷による血糖値の上昇を抑制した。また、グルコース負荷時には MAK 投与群と対照群の血糖値の推移に差は認められなかったことから、MAK はグルコースの吸収過程には影響しないと考えられる。しかし、正常血糖マウスと異なり KK-A<sup>y</sup>マウスの血糖値は、空腹時(17時間絶食後)では 100~130 mg/dL 前後であったが、糖負荷後 30分には約 400 mg/dL まで急激に上昇し、著しい食後過血糖が生じた。しかし、MAK の投与によってマルトース負荷による血糖値の上昇に対して顕著な抑制作用を示したことから、正常血糖マウスだけでなく糖尿病モデルマウスにおいても空腹時血糖に影響することなく血糖値の上昇を

抑制できることを示唆した。そこで、MAK中 の血糖上昇抑制作用を示す物質が α- グルコシ ダーゼ阻害剤と類似した作用機序を介すると考 えられることから、食品と医薬品の相互作用の 観点から, α- グルコシダーゼ阻害剤と MAK の 同時服用による相互作用について検討した。

## 2. 2型糖尿病モデルマウスにおける MAK と食後過血糖改善薬の併用効果 28)

第1節では、正常血糖のICRマウスを用い た実験から、α-グルコシダーゼ阻害剤とMAK を併用した場合, これら薬剤単独による血糖上 昇抑制効果と同程度か,もしくは若干減弱する ことが明らかになった<sup>3)</sup>。ところが,KK-A<sup>y</sup>マ ウスを用いた実験では、アカルボースと MAK を併用した場合には、アカルボース単独の場合 と同程度の血糖値上昇抑制作用を示すものの, ボグリボースと MAK の同時投与の場合には, 血糖値上昇抑制作用がほぼ完全に消失した(図

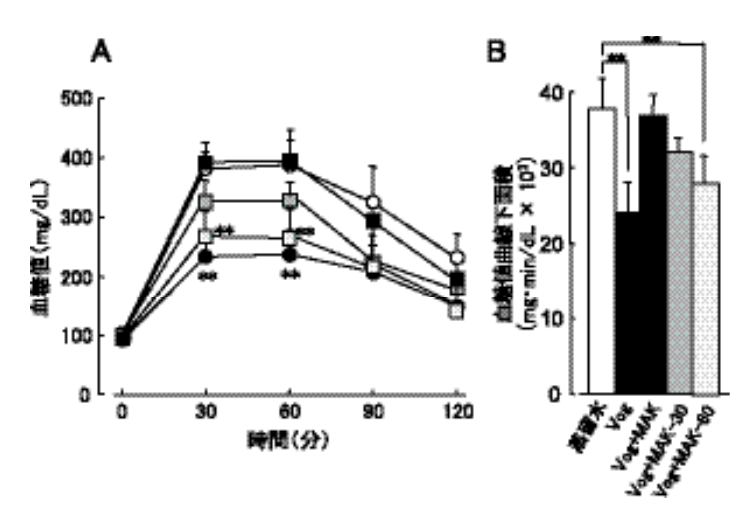


図3 KK-A<sup>y</sup>マウスにおける糖負荷後の血糖上昇に対するボグリボー スと MAK の併用効果 <sup>28)</sup>

A. 蒸留水 (○), ボグリボース溶液 (0.1 mg/kg, ●, Vog) あるいはボグ リボース(0.1 mg/kg)と MAK の(1 g/kg)混合溶液(■ , Vog+MAK) を経口投与後、ただちにマルトース(2 g/kg)負荷を行った。また、 ボグリボース投与前 30 分 (□, Vog+WER - 30) あるいは 60 分前 (□, Vog+MAK - 60) に MAK (1 g/kg) を経口投与後, ボグリボース (0.1 mg/kg) を投与した後, ただちにマルトース (2 g/kg) 負荷を行った (\*\*p < 0.01) 。

B. 蒸留水,ボグリボース単独,ボグリボースと MAK 投与時の血糖値曲線 下面積を示した(\*\*p < 0.01)。

3)。因みに、MAK の投与時期をボグリボース 投与30分前,60分前と間隔時間を長くするに 従って血糖降下作用が徐々に回復した。第1節 で述べたように、正常血糖マウスではこのよう な相互作用は認められなかったことから, この 現象は2型糖尿病状態のKK-A<sup>y</sup>マウスにおい て見られるもので、ボグリボースと MAK 中に 含まれる何らかの物質との直接あるいは間接的 な相互作用によるものと考えられるが, 現時点 でこのメカニズムの詳細については明らかでは ない。一方,効果量のアカルボースと MAK を 併用しても過度の血糖降下作用は認められない ことから、MAK とアカルボースの同時服用で は相互作用は生じないと考えられる(図4)。

出口ら<sup>27)</sup>は、正常血糖マウスを用いてボグ リボースおよびアカルボースの効果量に食後血 糖上昇抑制作用を示すグァバ葉抽出物を併用し ても薬剤の作用に影響を及ぼさないことを報告 している。しかし、我々の2型糖尿病モデル

> マウスを用いた結果は、このよ うな健康食品と医薬品の相互作 用に関する安全性の評価におい て, 適切なモデル動物による実 験を併せて行うことが必要であ ることを強く示唆している。

> ところで, α-グルコシダーゼ 阻害薬の服用による腹部膨満, 鼓腸, 便秘, 下痢などの副作用 が現れた場合, 使用量を中止ま たは減量する必要がある。その 際,減量によってもその効果が 維持できるように、図2で示す 結果から MAK と薬剤を適切な 割合で併用することで, 副作用 を回避して血糖を効果的にコン トロールできる可能性がある。 また, in vivo 動物実験において 効果量の α- グルコシダーゼ阻害 剤に MAK を併用しても低血糖 など際立った影響を与えないこ とから,薬物との相互作用の観

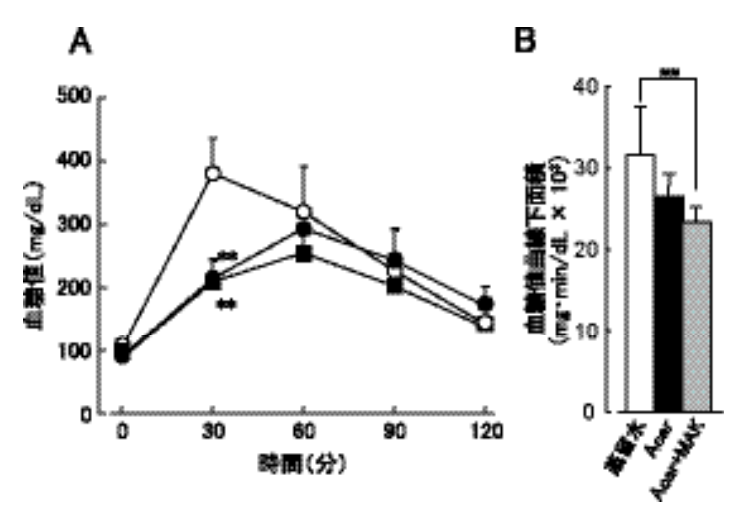


図4 KK-A $^{y}$  マウスにおける糖負荷後の血糖上昇に対するアカルボースと MAK の併用効果  $^{28)}$ 

- A. 蒸留水 (○), アカルボース溶液(16 mg/kg, ●, Acar) あるいはアカルボース(16 mg/kg)と MAK(1 g/kg)の混合溶液(■, Acar +MAK)を経口投与後, ただちにマルトース(2 g/kg)負荷を行った。
- B. 蒸留水, アカルボース単独, アカルボースと MAK 併用時の血糖値曲線 下面積を示した (\*\*p < 0.01)。

点において MAK の安全性が示された。その一方で、ボグリボース投与で認められたように、薬物によってはモデル動物に依存して MAK の同時服用が薬物の効果に大きく影響する可能性もある。従って、研究者は今後もこのような動物実験に注意を払い、健康食品を安全かつ効果的に利用するための基礎データの提供に努めなければいけない。

#### 第3節

## 1. 培養経過による成分組成および抗酸化 活性の変化<sup>29)</sup>

岡崎ら<sup>29)</sup> は、MAK の培養期間ごとの抗酸 化活性を調査し、STZ 誘発糖尿病マウスに対 する MAK の糖尿病態改善効果を検証した。 バガスと脱脂した米糠からなる混合固形培地 を充填した培養基にマンネンタケ菌糸体を接 種して観察すると、菌糸体接種1ヶ月後には 菌糸が培養基全体の2/3 から3/4 程度に繁茂 し、2ヶ月経過すると菌糸が全体に蔓延し菌 糸密度がさらに増加、4ヵ月後には子実体の 発生が始まり、5ヵ月後には子実体の伸長と 培地の収縮が認められる。これらの1ヶ月毎のマンネンタケ菌糸体培養培地から調製した水抽出液(培養サンプル)中の糖質、タンパク質、リグニンの比率は、灰分およびタンパク質の含量(%)は培養期間を通じてほぼ一定であったが、リグニンの比率は培養開始後徐々に増加し、培養3ヶ月で最大となり、4ヶ月以降ほぼ一定となった。糖質の含量(%)は、培養3ヶ月で最大となりその後徐々に減少した(図5)。

 $1 \sim 5 \, r$  月間の経時的な培養で得られた培養サンプルすべての  $\cdot O_2^-$  消去能は、ビタミン C と比べて弱いものの、これら培養サンプルは全て濃度依存的な

・O<sub>2</sub>-消去能を有していた。中でも3ヶ月間培養サンプルが最も高い活性を示し、4ヶ月の培養サンプルについても3ヶ月のものとほぼ同等であったが、それ以降活性に変動はなかった。過酸化脂質産生抑制能は、1~4ヶ月培養サンプルすべてがビタミンCと同等かそれ以上の効力を示した。特に、2ヶ月の培養サンプルが最も高い効果を示したが、5ヶ月培養した

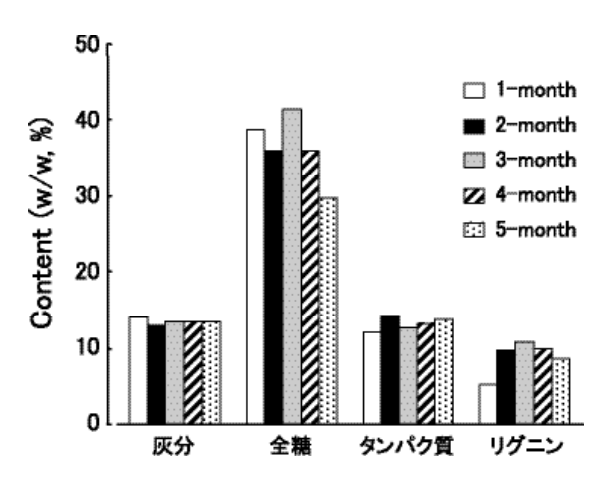


図5 培養期間の違いによる各培養サンプルの灰分, 全糖,タンパク質,リグニンの比率<sup>29)</sup>

サンプルの過酸化脂質産生抑制能 は著しく減弱した。培地成分のバ ガスおよび米糠の·O2<sup>-</sup>消去能は, MAK のどの培養期間のサンプルよ りも弱かったが, バガスの過酸化 脂質産生抑制能は MAK の 3 ヶ月 培養サンプルと同等の比較的高い 効力を示した。つまり, 抗酸化能 は培養期間によって変化し、2~ 3ヶ月間の培養で最大となること から, 収量などの点からも製品化 するうえで3.5ヶ月培養は適切で 妥当な期間であると考えられる。

## 2.1型糖尿病態マウスの酸化 ストレス度に対する MAK の 影響 29)

MAK (1g/kg bw) を正常血糖お よび STZ 誘発糖尿病マウスに一日一回経口投 与し、血糖値の推移を観察した。STZ の投与 によりマウスの血糖値は徐々に上昇し,6~ 8週間で約900 mg/dL に達し一定となったが, MAK を投与した STZ 群 (STZ+ MAK 群) で は、蒸留水を投与した群 (STZ+water) と比較 して、MAK 投与後 4 週以降から徐々に血糖上 昇の抑制が認められた。この飼育期間中の血 中ヒドロペルオキシド濃度を指標とした体内 酸化ストレス度 (d-ROMs test) は, STZ+water 群では STZ 投与後 5 週以降において上昇した が、STZ+ MAK 群では酸化ストレス度の上昇 はみられていない(図6)。

## 3. マウス臓器中の過酸化脂質含量に対す る MAK の影響 <sup>29)</sup>

STZ+water 群の肝臓および腎臓の過酸化脂質 含量は, Normal+water 群と比較し約2倍程度 有意に増加したものの、STZ + MAK 群では、 過酸化脂質含量は増加せず, その傾向は心臓, 脳、脾臓および肺においても同様であった。さ らに、STZ+water 群の肝臓と腎臓では、SOD、 CAT および GPx の活性が Normal+water 群に比

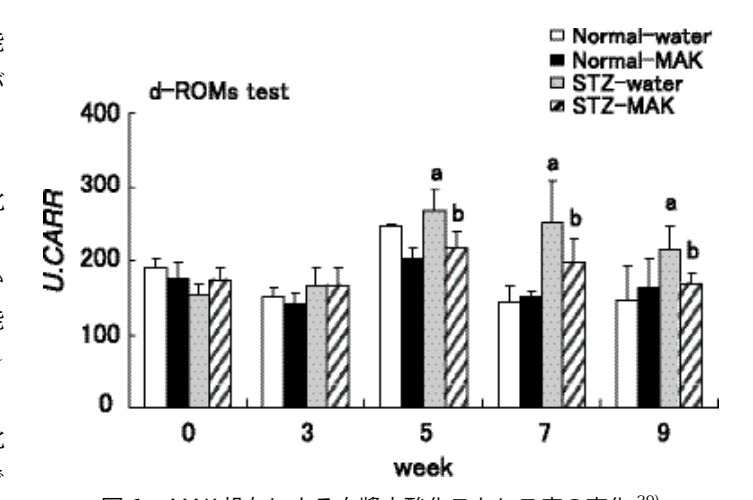


図6 MAK 投与による血漿中酸化ストレス度の変化 <sup>29)</sup> 酸化ストレス度は, d-ROMs(Reactive Oxygen Metabolites)テストキッ トを使用して測定した。(n=3~5) データは平均値±標準偏差として表示した。統計的有意差は一元配置分 散分析(ANOVA)後, Tukey の多重比較により解析し, p < 0.05 を有意 差として示した。

べ有意に低下していたが、これに対して STZ + MAK 群ではいずれの抗酸化酵素においても活 性の低下はみられず, Normal 群と同程度の活 性が維持されていた。

#### 4. 肝臓および腎臓の組織化学的評価 29)

STZ+water 群の肝臓では、肝細胞の軽度から 中等度の萎縮とこれによる類洞の拡張が認めら れたが、STZ+ MAK 群ではこれらの異常は軽 微であった。一方, STZ+water 群の腎臓では, 糸球体のメサンギウム基質領域の拡大が認めら れたが、STZ+MAK 群ではこれが抑制されてい た。さらに、STZ+water 群の腎において尿細管 間質で限局性の慢性炎症性細胞浸潤および肉芽 形成が見られたが、STZ+ MAK 群ではこのよ うな異常は認められなかった。従って、MAK は濃度依存的な・O<sub>2</sub> 消去能および過酸化脂質 産生抑制能を示し、MAK を投与した STZ 糖尿 病マウスにおいて血糖値および血中酸化ストレ ス度を有意に低下させる。また、MAK は腎臓 および肝臓の過酸化脂質含量および抗酸化酵素 活性を正常群と同レベルに維持し組織学的障害 を軽減するなど、MAK が糖尿病における高血 糖および酸化ストレスを低下させ臓器障害を予防・改善する可能性を示唆している。

岩田ら<sup>30)</sup> は、酸化ストレスに起因する一過 性脳虚血の重症化を回避するために、 医薬品の 代替となりうる食品を探索し, 有効性や安全性 について検証している。数十種類の天然物の中 から抗酸化作用を指標として食品を探索した結 果,MAKが極めて強い作用を有していること, さらに、STZ 誘発糖尿病態ラットの一過性脳虚 血処置において, 非糖尿病態ラットと比べて顕 著に脳障害が悪化することに基づいて、この現 象が MAK の経口投与によって有意に軽減でき ることを見出している。このような虚血性脳障 害のメカニズムの一因には、酸化ストレスや炎 症関連因子の発現を経由してアポトーシスが大 きな役割を占めることを明らかにしており、少 なくとも糖尿病態時の酸化ストレス状態が病態 の重症化につながり、MAK による酸化ストレ スの軽減作用が病態の改善に寄与していると結 論している。

本総説では、MAKの高血糖改善効果について、正常血糖マウスにおける糖負荷後の血糖上昇抑制作用と食後過血糖改善薬との併用効果に関して、in vivo および in vitro 実験結果に基づいて概説した。続いて、軽度糖尿病患者によるMAKの利用を想定し、2型糖尿病モデルマウスを用いて血糖上昇抑制作用を調査するとともに、食後過血糖改善薬との同時服用による相互作用の有無を見極めるため、2種類のα-グルコシダーゼ阻害薬とMAKの併用効果についてin vivo 実験系で得られた結果に基づいて概説した。さらに、1型糖尿病モデルマウスを用いて高血糖や酸化ストレス状態と、これらに起因する二次的障害に対するMAKの予防・改善効果について評価した。

以上,MAK を治療を目的として活用するには一定の注意が必要と考えられるが,血糖値が高めの軽症者の生活習慣病予防対策として有用な機能性食品であると結論した。

#### 参考文献

- 1. Zhu XL., Lin ZB.: Effects of Ganoderma lucidum polysaccharides on proliferation and cytotoxicity of cytokineinduced killer cells. Acta. Pharmacol. Sin., 26(9): 1130-1137, 2005.
- 2. Kohguchi M, Kunikata T, Watanabe H., et al.: Immuno-potentiating effects of the antler-shaped fruiting body of Ganoderma lucidum (Rokkaku-Reishi). Biosci. Biotechnol. Biochem., 68(4): 881-887, 2004.
- 3. Gao Y., Gao H., Chan E., et al.: Antitumor activity and underlying mechanisms of Ganopoly, the refinedpolysaccharides extracted from Ganoderma lucidum, in mice. Immunol. Invest., 34(2): 171-198, 2005.
- 4. Jiang J., Slivova V., Harvey K., et al.: Ganoderma lucidum suppresses growth of breast cancer cells through the inhibition of Akt/NF-kappaB signaling. Nutr. Cancer, 49(2): 209-216, 2004.
- 5. Liu J., Yang F., Ye LB., et al.: Possible mode of action of antiherpetic activities of a proteoglycan isolated from the mycelia of Ganoderma lucidum in vitro. J. Ethnopharmacol., 95(2-3): 265-272, 2004.
- 6. Hajjaj H., Mace C., Roberts M., et al.: Effect of 26-oxygenosterols from Ganoderma lucidum and their activity as cholesterol synthesis inhibitors. Appl. Environ. Microbiol., 71(7): 3653-3658, 2005.
- 7. Wong KL., Chao HH., Chan P., et al.: Antioxidant activity of Ganoderma lucidum in acute ethanol-induced heart toxicity. Phytother. Res., 18(12): 1024-1026, 2004.
- 8. Zhang HN., Lin ZB.: Hypoglycemic effect of Ganoderma lucidum polysaccharides. Acta. Pharmacol. Sin., 25(2): 191-195, 2004.
- 9. Kimura Y., Okuda H., Arichi S.: Effects of the extracts of Ganoderma lucidum on blood glucose level in rats. Planta. Med., 54(4): 290-294, 1988.
- 10. Hikino H., Konno C., Mirin Y., et al.: Isolation and hypoglycemic activity of ganoderans A and B, glycans of Ganoderma lucidum fruit bodies. Planta. Med., 51(4): 339-340, 1985.
- 11. Hikino H., Ishiyama M., Suzuki Y., et al.: Mechanisms of hypoglycemic activity of ganoderan B: a glycan of Ganoderma lucidum fruit bodies. Planta. Med., 55(5): 423-428, 1989.
- 12. Deguchi Y., Osada K., Uchida K., et al.: Effects of extract of Guava leaves on the development of diabetes in the db/db mouse and on the postprandial blood glucose of human subjects. J. Agri. Chem. Soc. Jap., 72(8): 923-931, 1998.
- 13. Teramoto T., Oki N., Kusano S.: Mate leaf inhibits the activity of saccharide hydrolyzing enzymes and suppresses the increase in blood glucose levels after sugar loading in rats. J. Jap. Soc. Nutr. Food Sci. 58(1): 17-21, 2005.
- 14. Nakagawa I., Hibino Y., Ohashi Y., et al.: Augmentation of cytolytic activity of mouse splenic cells by a heteroglycan protein fraction from culture medium of Ganoderma lucidum (Rei-shi) mycelia. Biotherapy, 13(5): 513-515, 1999.
- 15. Lu H., Kyo E., Uesaka T., et al.: A water-soluble extract from cultured medium of Ganoderma lucidum (Rei-shi) mycelia suppresses azoxymethane-induction of colon cancers in male F344 rats. Oncol. Rep., 10(2): 375-379, 2003.
- 16. Kubo N., Myojin Y., Shimamoto F., et al.: Protective effects of a water-soluble extract from cultured medium Ganoderma lucidum (Rei-shi) mycelia and Agaricus blazei murill against X-irradiation in B6C3F1 mice: Increased small intestinal crypt survival and prolongation of average time to animal death. Int. J. Mol. Med., **15**(3): 401-406, 2005.
- 17. Matsuzaki H., Shimizu Y., Iwata N., et al.: Antidepressant-like effects of a water-soluble extract from the culture medium of Ganoderma lucidum mycelia in rats. BMC Comp. Altern. Med., 13: 370, 2013.
- 18. Fukaya M., Iwata N., Shouji S., et al.: Antihypertensive effect of a water-soluble extract from culture medium of Ganoderma lucidum mycelia (MAK) in spontaneously hypertensive rats. New Food. Ind., 57 (8): 1-11, 2015.
- 19. Iwata N., Okazaki M., Kasahara C., et al.: Protective effects of a water-soluble extract from culture medium of Ganoderma lucidum mycelia against neuronal damage after cerebral ischemia/reperfusion in diabetic Rats. J. Jpn. Soc. Nutr. Food Sci., 61(3): 119-127, 2008.
- 20. Iwata N., Okazaki M., Nakano R., et al.: Diabetes-mediated exacerbation of neuronal damage and inflammation after cerebral ischemia in rat: Protective effects of water-soluble extract from culture medium of Ganoderma

- lucidum mycelia. INTECH, 215-240, 2012.
- 21. Baynes J.: Role of oxidative stress in development of complications in diabetes. *Diabetes*, 40(4): 405-412, 1991.
- 22. Montilla P, Barcos M, Munoz MC, et al.: Red wine prevents brain oxidative stress and nephropathy in streptozotocin-induced diabetic rats. J. Biochem. Mol. Biol., 38(5): 539-544, 2005.
- 23. Kamalakkannan N., Stanely MPP.: Rutin improves the antioxidant status in streptozotocin-induced diabetic rat tissues. Mol. Cell. Biochem., 293(1-2): 211-219, 2006.
- 24. Riccioni G., Bucciarelli T., Mancini B., et al.: Antioxidant vitamin supplementation in cardiovascular diseases. Ann. Clin. Lab. Sci., 37(1): 89-95, 2007.
- 25. Usui T., Okazaki M., Kamiuchi S., et al.: Inhibitory effects of a water-soluble extract from culture medium of Ganoderma lucidum (Rei-shi) mycelia on postprandial blood glucose elevation in mice and additional effect with α-glucosidase inhibitor. J. Jap. Soc. Nutr. Food Sci., 60(5): 249-255, 2007.
- 26. Kim SD., Nho HJ.: Isolation and characterization of alpha-glucosidase inhibitor from the fungus Ganoderma lucidum. J. Microbiol., 42(3): 223-227, 2004.
- 27. Deguchi Y., Osada K., Watanuki M.: Effect of Guava leaf extract in combination with acarbose or voglibose on increased blood glucose level in sugar-loaded normal mice. J. Jap. Soc. Nutr. Food Sci., 56(4): 207-212, 2003.
- 28. Kawahara Y., Kamiuchi S., Okazaki M., et al.: Inhibitory effects of a water-soluble extract from culture medium of Ganoderma lucidum (Rei-shi) mycelia on postprandial blood glucose elevation in type 2 diabetic mice and additional effect with α-glucosidase inhibitors. Jap. J. Comp. Alter. Med., 8(1): 1-9, 2011.
- 29. Okazaki M., Tanaka A., Hatta Y., et al.: Antioxidant properties of a water-soluble extract from culture medium of Ganoderma lucidum (Rei-shi) mycelia and antidiabetic effects in streptozotocin-treated mice. Jap. J. Comp. Alter. Med., 5(3): 209-218, 2008.
- 30. Iwata N., Okazaki M., Iizula H., et al.: Protection mechanism of exacerbation of neuronal damage after cerebral ischemia by a water-soluble extract from the culture medium of Ganoderma lucidum mycelia (MAK). New Food Ind., 59(3): 15-30, 2017.

# Extracts of Edible Mushrooms による免疫賦活 および放射線防護効果に関する研究

# Immunoenhancement and radioprotection effect by Extracts of Edible Mushrooms

具 然和 (Gu Yeunhwa) 1

1 純真学園大学·大学院保健医療学研究科

Key Words: 放射線防護剤 免疫賦活 リンパ球 抗酸化作用

#### 要旨

放射線利用の多様化に伴い、放射線の人体に対する影響が懸念される。本研究ではブナシメジ、エノキタ ケからの熱水抽出物である Extracts of Edible Mushrooms (以下 EEM) を用いて放射線治療時の副作用に対す る防護剤として検討した。先行研究によって EEM には抗腫瘍効果及び抗酸化作用があると報告されている。 そこで本研究では EEM を用いて放射線による血球細胞に対する影響、および抗酸化活性について検討し、 放射線防護剤への基礎データを資することを目的とした。

血球細胞レベルにおいては 7 週齢 ICR マウスを用いて. EEM をマウスに 25µg/0.5mL/ 体重 (kg) の濃度 で腹腔内投与を行った。投与期間は隔日間隔で2週間以上行った。実験グループは Control 群, EEM のみ 投与した Sham control 群、2.0Gy 放射線単独照射群、EEM+2.0Gy 放射線照射群である。放射線照射 1 日前, 3 時間後, 24 時間後, 3 日後, 7 日後, 15 日後, 30 日後に採血を行った。測定項目は、白血球数、 リンパ球数、顆粒球数、単球数、赤血球数、血小板数とした。

抗酸化活性においては 7 週齢 ICR マウスを用いて, EEM をマウスに 25µg/0.5mL/ 体重 (kg) の濃度で腹 腔内投与を行った。投与期間は隔日間隔で2週間以上行った。

実験グループは Control 群, EEM のみ投与した Sham control 群, 2.0Gy 放射線単独照射群, EEM+2.0Gv 放射線照射群である。放射線照射後ただちに心臓から採血を行い、遠心分離にて血清を得た。 血清にルミノール試薬を添加して化学発光強度を測定し、抗酸化活性の評価を行った。

血球細胞レベルおいては白血球数については、2.0Gv 放射線単独照射群と EEM+2.0Gv 放射線照射群の 間で Male マウスの放射線照射 24 時間後、7 日後、15 日後、30 日後において統計学的な有意差が認めら れ、また、Female マウスの放射線照射 24 時間後、7 日後において統計学的な有意差が認められた。リ ンパ球数については、2.0Gv 放射線単独照射群と EEM+2.0Gv 放射線照射群の間で Male マウスの放射線 照射 15 日後において統計学的な有意差が認められた。顆粒球数については、2.0Gy 放射線単独照射群と EEM+2.0Gv 放射線照射群の間で Male マウスの放射線照射 1 日前, 24 時間後, 7 日後, 15 日後, 30 日 後において統計学的な有意差が認められ、また、Female マウスの放射線照射 12 時間後、15 日後において 統計学的な有意差が認められた。単球数については、2.0Gy 放射線単独照射群と EEM+2.0Gy 放射線照射 群の間で Male マウスの放射線照射 3 時間後において統計学的な有意差が認められた。血清中の抗酸化活性 については、2.0Gy 放射線単独照射群と EEM+2.0Gy 放射線照射群の間に統計学的な有意差が認められた (p < 0.05)。本研究において、白血球、リンパ球、顆粒球、単球に対する放射線防護効果が認められた。これは、 EEM の抗酸化作用による細胞障害の抑制および、免疫賦活作用による血球数の増加が考えられえる。また、 放射線照射によるフリーラジカルに対するラジカル除去効果が認められた。これは、EEM の主成分である ₿グルカンの抗酸化作用によるものと考えられる。従って、本研究により EEM により放射線防護効果が確 認された。

#### はじめに

放射線は現在の我々の日常生活において様々な分野で多く用いられている。医療分野,理学・工学・生物分野,産業分野で広く利用されており,我々は放射線に接する機会が多くなっている。そのため,放射線の人体に対する影響を無視することはできない。造血組織の放射線感受性も高く,放射線治療時における白血球や骨髄細胞の減少によって引き起こされる免疫力の低下は顕著である<sup>1-3)</sup>。従って,いかに放射線から人体を防護するかということが重要な課題となる。これまでに,様々な放射線防護が行われており,人体に対する放射線防護が行われており,人体に対する放射線防護が行われており,人体に対する放射線防護が大変注目されている。また,放射線治療時の副作用防止のための薬剤として検討されてきた<sup>4-5)</sup>。

本研究では、日本で多く栽培されているエノキタケ(Flammulina velutipes)、ブナシメジ(Hypsizigus marmoreus)からの抽出物を主成分とする Extracts of Edible Mushrooms(以下 EEM)を用いて放射線防護効果について検討を行った。エノキタケには、EA<sub>3</sub>( $\beta$ -( $1 \rightarrow 3$ )-D-グルカン)、EA<sub>5</sub>(ヘテロ多糖)、EA<sub>6</sub>(蛋白質結合多糖)、プロフラミン(糖蛋白質)といった成分が含まれている。先行研究において、これらの成分に免疫賦活作用による抗腫瘍効果が認められている  $^{6\cdot11}$ 。一方、ブナシメジには  $\beta$ -( $1 \rightarrow 3$ ) -D-グルカンが含まれており、免疫賦活作用による抗腫瘍効果が認められている  $^{12\cdot15}$  。また、血漿における抗酸化活性の上昇も認められている。

本研究では EEM の免疫賦活作用,抗酸化作用に着目し,放射線によって生じる外表奇形,骨格奇形の観察を行い,その影響について検討を行う。また,血液レベル,抗酸化活性の観察を行い,放射線防護剤に資するための情報を入手することを目的とする。

#### 1. 研究方法

ICR[Crj:CD-1 (Swiss Hauchka)]を用いた。 ICRマウスは、日本SLC社においてClosed Coloneyとして増産されたものを購入した。 ICR マウスは入手が容易で繁殖力が強いため、 日本での奇形実験に多く用いられている。本研 究の飼育条件に慣らすために購入後1週間の予 備飼育を行い実験に用いた。

鈴鹿医療科学大学に設置されているフィリップス社製の放射線照射装置 (MG226/4.5 (225kv)) および,東芝社製リニアック (LMR-4型 (4MV)) を用いた。*EEM* はエノキタケ, ブナシメジから熱水抽出されたものを用いた。

マウス購入後、本実験の飼育条件に慣らすために最低 1 週間の予備飼育を行い、実験を開始した。飼育条件は AM6:00 ~ PM6:00 までライトコントロールし、室温は  $22 \pm 2$   $\mathbb{C}$  , 湿度は 60 ~ 65% とした。飼料(CA-1,日本クレア(株))および水(Top water)は自由摂取させた。本実験に用いたマウスの週齢は Female マウス,Male マウス共に 7 週齢である。

EEM の投与量は、生理食塩水 0.5mL あたり 25ug/0.5mL/ 体重 (kg) の濃度で、予備飼育後、 最低2週間から採血終了時まで隔日間隔で腹 腔内投与を行った。鈴鹿医療科学大学に設置 されているフィリップス社の放射線照射装置 (225kV) を用い、採血開始1日前のマウスを 照射ゲージに入れ、線量率 0.35Gy/min で 2.0Gy の全身照射を行った。Male マウスと Female マ ウスをそれぞれ, Control 群, EEM 投与のみの 群(以下 Sham Control 群), 2.0Gy 放射線単独 照射群, EEM を投与し 2.0Gy 放射線を照射し た群の計8群に分類した。各群使用したマウス は Male, Female それぞれ 5 匹ずつである。マ ウスを採血用ゲージに入れ、スピッツメスを用 いて尾静脈に傷をつけ、そこから Doramond 社 製のマイクロピペットで 10μL の血液を採取し た。傷口は感染症を防ぐために70%アルコー ルで消毒した。

鈴鹿医療科学大学に設置してある日本光電社製の自動血球測定装置 (Celltac α MEK-6318)を用いて,放射線照射1日前,照射後3時間後,12時間後,24時間後,3日後,7日後,15日後,30日後に採血し血球測定を行った。今回測定した項目は,白血球数,リンパ球数,顆粒球数,

単球、赤血球数、血小板数である。

血球細胞レベルの影響に対する統計学的分析に ついては、血液レベルの影響である血液細胞の 増加、減少は正規分布に従うめ、t-検定を行っ た。

#### 1-1. 血清中の抗酸化活性の実験方法

マウスの飼育方法については、マウス購入後、 本実験の飼育条件に慣らすために最低1週間の 予備飼育を行い,実験を開始した。飼育条件は 室温は22 ± 2℃,湿度は60~65%とした。飼 料 (CA-1, 日本クレア (株)) および水 (Top water) は自由摂取させた。本実験に用いたマ ウスの週齢は Male マウス 7 週齢である。

EEM の投与量は、生理食塩水 0.5mL あたり 25µg/0.5mL/体重(kg)の濃度で,予備飼育後, 最低2週間から抗酸化活性測定前日まで隔日間 隔で腹腔内投与を行った。鈴鹿医療科学大学に 設置されている東芝社製リニアック (LMR-4 型(4MV))を用い,抗酸化活性測定当日にマ ウスを照射ゲージに入れ、線量率 1.2Gy/min で 2.0Gy の全身照射を行った。

Male マウスをそれぞれ, Control 群, EEM 投 与のみの群(以下 Sham Control 群), 2.0Gv 放 射線単独照射群, EEM を投与し 2.0Gv 放射線 を照射した群の計4群に分類した。各群使用し たマウスは10匹ずつである。

抗酸化活性測定方法については、ルミノール 法1)により抗酸化活性を測定した。ルミノー ルは O<sub>2</sub>-などのフリーラジカルに酸化される と、アミノフタール酸アニオンの励起分子を生 じ、これが基底状態に遷移する過程で発光する <sup>1)</sup>。この発光強度(counts/min)を測定するこ とによって, フリーラジカルの量を測定するこ とができる。抗酸化活性測定に用いた試薬は以 下の方法<sup>2)</sup> で調整した。

#### 1) AAPH 試薬の調整

- ① Na<sub>2</sub>HPO<sub>4</sub> 7.098g を蒸留水に溶かし, 500mL にメスアップ → 0.1M Na<sub>2</sub>HPO<sub>4</sub> 溶液
- ② NaH<sub>2</sub>PO<sub>4</sub> 5.999g を蒸留水に溶かし, 500mL にメスアップ → 0.1M NaH<sub>2</sub>PO<sub>4</sub> 溶液

- (3) 0.1M Na<sub>2</sub>HPO<sub>4</sub> 305mL + 0.1M NaH<sub>2</sub>PO<sub>4</sub> 195mL → 0.1M リン酸緩衝液 (pH 7.0)
- ④ AAPH 5.4238g を 500mL の 0.1M リン酸緩衝 液に溶解 → AAPH 試薬
- ルミノール試薬の調整については,
- ① NaOH 20g を 500mL の 蒸 留 水 に 溶 解 → 1MNaOH
- ②ホウ酸 1.54575g を 400mL の蒸留水に溶かし, 1MNaOH で pH を 9.3 に合わせた後, 500mL までメスアップ → 0.05M ホウ酸緩衝液
- ③ 0.05M ホウ酸緩衝液とメタノールを 1:3 の割 合で希釈した溶液 500mL に, チトクローム 50.438mg とルミノール 9.744mg を溶解 → ル ミノール試薬

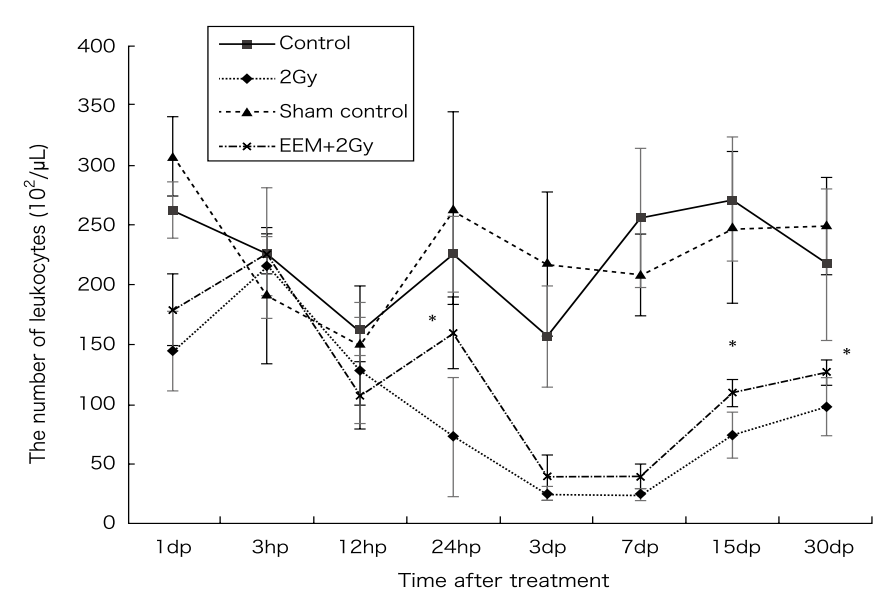
まず、マウスを仰向けにして動かないように コルク板に固定した後開胸し、ヘパリン処理し た。TERUMO 社製の 1mL シリンジを用いて心 臓より 1mL の血液を採取した。採取した血液 はただちにヘパリン処理した遠心管に移し、国 産遠心器株式会社製の遠心機 (H-500R) を用 いて 1000rpm で 10 分間遠心分離を行った。次 に、得られた上清(血清)をピペットにて採 取し 0.1M リン酸緩衝液にて 100 倍に希釈して 200μL にメスアップした。この溶液にラジカル 発生剤として AAPH 試薬 200<sub>u</sub>L を添加しよく 攪拌した後、ALOKA 社製のルミネセンスリー ダー (BLR-201) を用いて 37℃で 2 分間加温処 理し、ルミノール試薬 200μL を添加して化学 発光強度を測定した。

抗酸化活性に対する統計学的分析について は、血清中の抗酸化活性の増加、減少は正規分 布に従うめ、t-検定を行った。

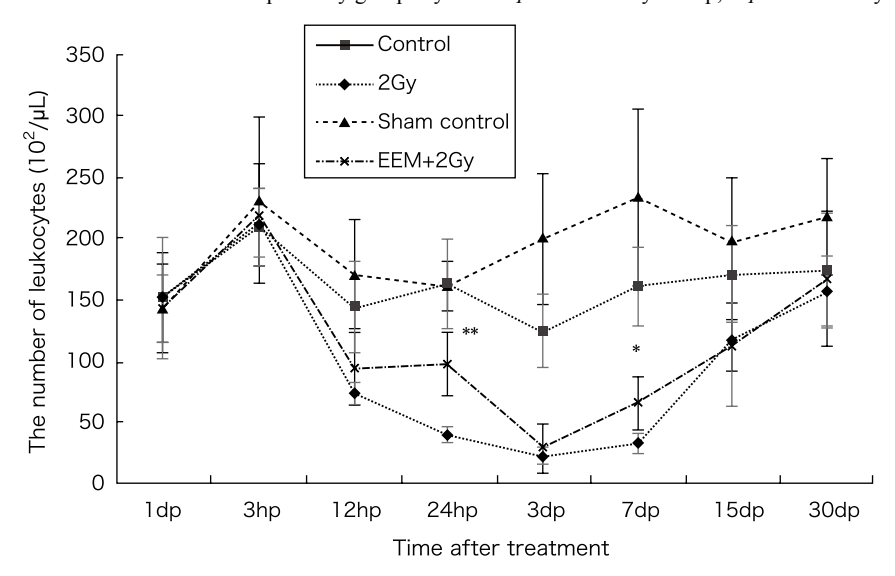
#### 2. 研究結果

## 2-1. 血球レベルにおける放射線影響 白血球(Leukocytes)

Fig.1 に Male マウスの白血球数の経時的変 化を示す。Fig.2 に Female マウスの白血球数 の経時的変化を示す。自血球数の経時的変化 において、Control 群に比べ Sham Control 群で は、Maleマウスの放射線照射3日後において



**Fig.1**. The change in the number of leukocytes in the blood taken from the tail vein of whole body irradiated mice. Each linegram represents the mean value ± SD for 5 male mice leukocytes. 2Gy group was detected with statistical significant difference from EEM plus 2Gy groups by *t*-test. \**p*<0.05 vs 2Gy Group, \*\**p*<0.01 vs 2Gy Group



**Fig.2.** The change in the number of leukocytes in the blood taken from the tail vein of whole body irradiated mice. Each linegram represents the mean value±SD for 5 female mice leukocytes. 2Gy group was detected with statistical significant difference from the EEM plus 2Gy groups by *t*-test. \**p*<0.05 vs 2Gy Group, \*\**p*<0.01 vs 2Gy Group

統計学的な有意差が認められ (p<0.05), 同様に Female マウスについても放射線照射 1 日前において統計学的な有意差が認められた (p<0.05)。

Control 群に比べ, 2.0Gy 放射線単独照射群では, Male マウスの放射線照射 1 日前 (*p*<0.001),

24 時間後(p<0.001),3 日後(p<0.001),7 日後(p<0.001),15 日後(p<0.001),30 日後(p<0.01)において統計学的な有意差が認められ,同様にFemale マウスについても放射線照射 12 時間後(p<0.01),24 時間後(p<0.001),3 日後(p<0.001),7 日後(p<0.001)において統計学的な有意差

が認められた。

Control 群に比べ, EEM+2.0Gy 放射線照射群 では、Male マウスの放射線照射 1 日前 (p<0.01). 12 時間後 (p<0.01), 24 時間後 (p<0.01), 3 日 後(*p*<0.001),7 日後(*p*<0.001),15 日後(*p*<0.001) において統計学的な有意差が認められ、同様 に Female マウスについても放射線照射 3 日後 (p<0.001), 7日後 (p<0.001) において統計学 的な有意差が認められた。

Sham control 群に比べ、2.0Gv 放射線単独 照射群では、Maleマウスの放射線照射1日前 (p<0.001), 24 時間後(p<0.01), 3 日後(p<0.001), 7日後 (p<0.001), 15日後 (p<0.001), 30日後 (p<0.001) において統計学的な有意差が認めら れ、同様に Female マウスについても放射線照 射 12 時間後 (p<0.01), 24 時間後 (p<0.001), 3日後 (p<0.001), 7日後 (p<0.001) において 統計学的な有意差が認められた。

2.0Gv 放射線単独照射群に比べ、EEM+2.0Gv 放射線照射群では、Male マウスの放射線照射 24 時間後 (p<0.01), 7 日後 (p<0.05), 15 日後 (p<0.01), 30 日後 (p<0.05) において統計学的

な有意差が認められ、同様に Female マウスに ついても放射線照射 24 時間後 (p<0.01), 7日 後 (p<0.05) において統計学的な有意差が認め られた。

#### リンパ球(Lymphocytes)

Fig.3 に Male マウスのリンパ球数の経時的変 化を示す。

Fig.4 に Female マウスのリンパ球数の経時的 変化を示す。リンパ球数の経時的変化において. Control 群に比べ Sham Control 群では、Male マ ウスの放射線照射3時間後 (p<0.05), 3日後 (p<0.05), 7日後 (p<0.05) において統計学的 な有意差が認められ、同様に Female マウスに ついても放射線照射3日後において統計学的な 有意差が認められた(p<0.05)。

Control 群に比べ、2.0Gy 放射線単独照射群で は、Male マウスの放射線照射 1 日前 (p<0.001)、 3 時間後 (p<0.001), 24 時間後 (p<0.01), 3 日後 (p<0.001), 7日後 (p<0.001), 15日後 (p<0.001), 30 日後 (p<0.001) において統計 学的な有意差が認められ、同様に Female マウ

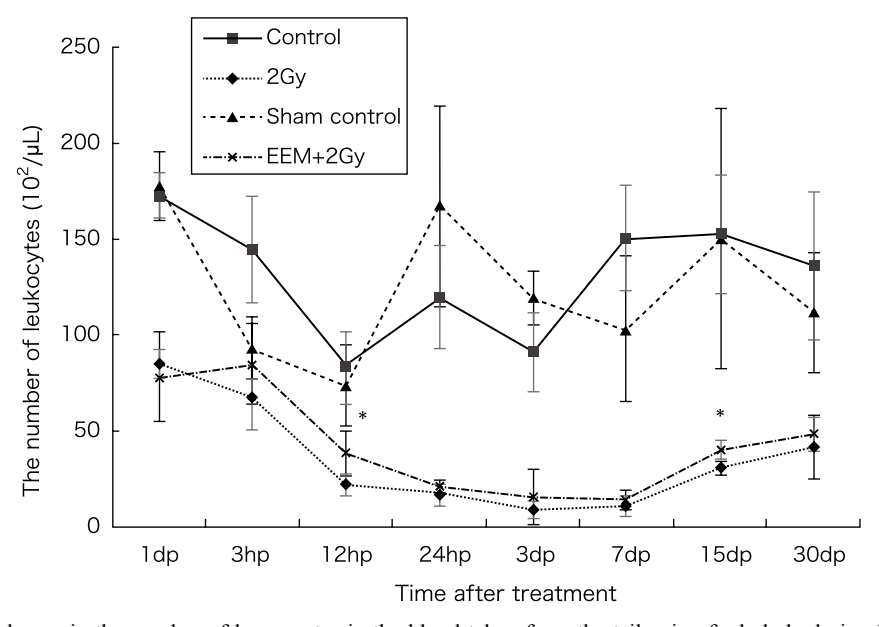
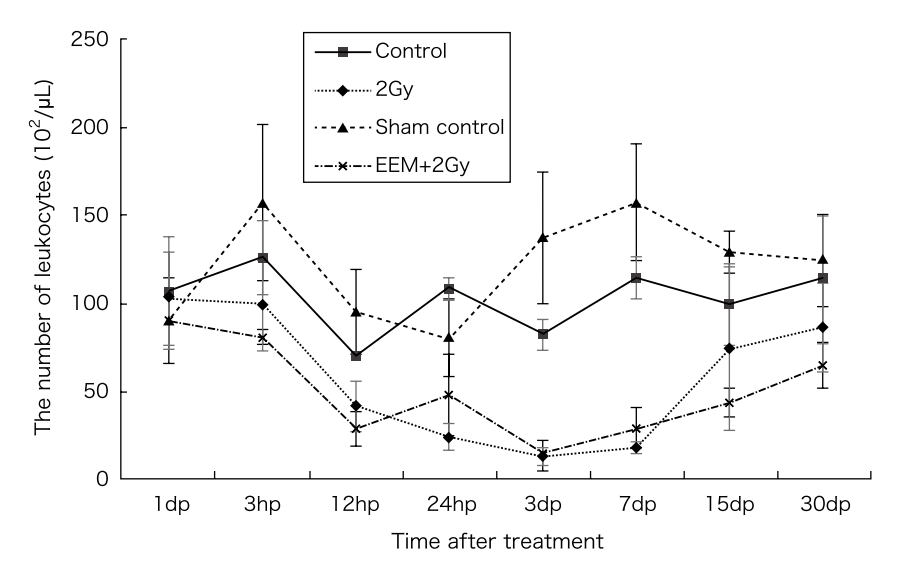


Fig.3. The change in the number of lympocytes in the blood taken from the tail vein of whole body irradiated mice. Each linegram represents the mean value±SD for 5 male mice lympocytes. 2Gy group was detected with statistical significant difference from the EEM plus 2Gy groups by t-test. \*p<0.05 vs 2Gy Group, \*\*p<0.01 vs 2Gy Group



**Fig.4.** The change in the number of lympocytes in the blood taken from the tail vein of whole body irradiated mice. Each linegram represents the mean value  $\pm$  SD for 5 female mice lympocytes. 2Gy group was detected with statistical significant difference from the EEM plus 2Gy groups by *t*-test. \**p*<0.05 vs 2Gy Group, \*\**p*<0.01 vs 2Gy Group

スについても放射線照射 12 時間後 (p<0.05), 24 時間後 (p<0.01), 3 日後 (p<0.001), 7 日後 (p<0.001) において統計学的な有意差が認められた。

Control 群 に 比 べ,EEM+2.0Gy 放 射 線 照 射 群 で は,Male マ ウ ス の 放 射 線 照 射 1 日 前 (p<0.001),3 時 間 後 (p<0.01),12 時 間 後 (p<0.001),24 時 間 後 (p<0.001),3 日 後 (p<0.001) において統計学的な有意差が認められ,同様に Female マウスについても放射線照射12 時間後 (p<0.01),24 時間後 (p<0.05),3 日 後 (p<0.001),7 日 後 (p<0.01),15 日 後 (p<0.01),30 日 後 (p<0.05) において統計学的な有意差が認められた。

Sham control 群に比べ, 2.0Gy 放射線単独照射群では, Male マウスの放射線照射 1 日前 (p<0.001), 12 時 間 後 (p<0.05), 24 時間後 (p<0.01), 3 日 後 (p<0.001), 7 日 後 (p<0.01), 15 日後 (p<0.01), 30 日後 (p<0.01) において統計学的な有意差が認められ, 同様に Female マウスについても放射線照射 3 時間後 (p<0.05), 12 時間後 (p<0.01), 24 時間後

(p<0.05), 3日後 (p<0.01), 7日後 (p<0.001), 15日後 (p<0.05), 30日後 (p<0.05) において統計学的な有意差が認められた。

2.0Gy 放射線単独照射群に比べ,EEM+2.0Gy 放射線照射群では,Male マウスの放射線照射 15日後において統計学的な有意差が認められたが (p<0.01),Female マウスについては統計学的な有意差は認められなかった。

#### 顆粒球(Granulocytes)

Fig.5 に Male マウスの顆粒球数の経時的変化を示す。Fig.6 に Female マウスの顆粒球数の経時的変化を示す。顆粒球数の経時的変化において、Control 群に比べ Sham Control 群では、Male マウスの放射線照射 24 時間後(p<0.01),30 日後(p<0.05)において統計学的な有意差が認められ、同様に Female マウスについても放射線照射 24 時間後(p<0.01),30 日後(p<0.05)において統計学的な有意差が認められた。

Control 群に比べ,2.0Gy 放射線単独照射群では,Male マウスの放射線照 3 時間後(p<0.001),12 時間後(p<0.001),24 時間後(p<0.01),7 日後(p<0.01),15 日後(p<0.05)において統

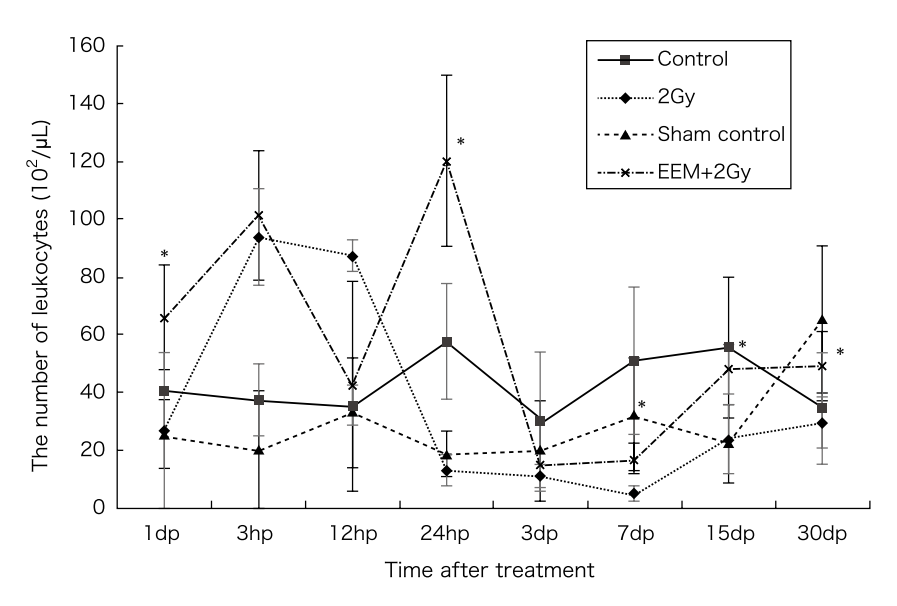


Fig.5. The change in the number of granulocytes in the blood taken from the tail vein of whole body irradiated mice. Each linegram represents the mean value ± SD for 5 female mice granulocytes. 2Gy group was detected with statistical significant difference from the EEM plus 2Gy groups by t-test. \*p<0.05 vs 2Gy Group, \*\*p<0.01 vs 2Gy Group

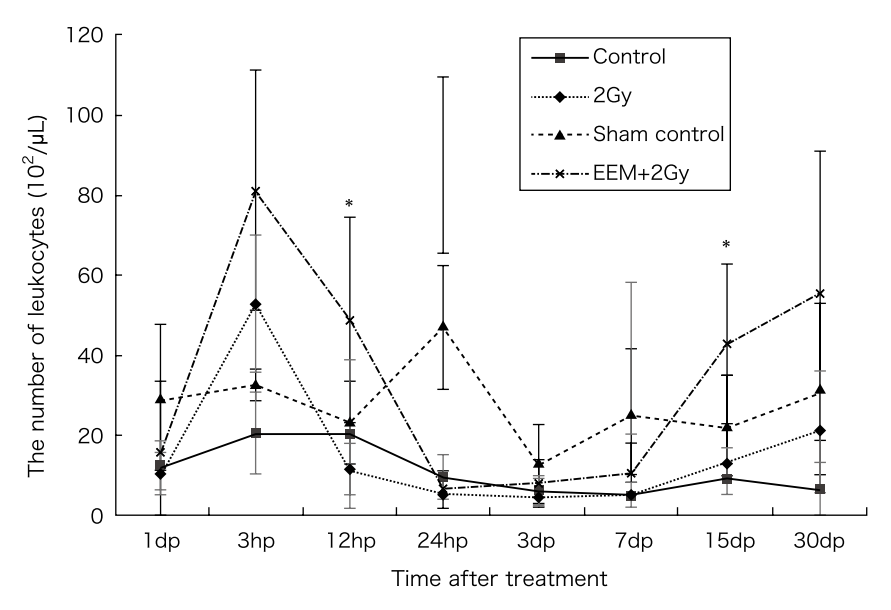


Fig.6. The change in the number of granulocytes in the blood taken from the tail vein of whole body irradiated mice. Each linegram represents the mean value ± SD for 5 female mice granulocytes. 2Gy group was detected with statistical significant difference from the EEM plus 2Gy groups by t-test. \*p<0.05 vs 2Gy Group, \*\*p<0.01 vs 2Gy Group

計学的な有意差が認められ、同様に Female マ ウスについても放射線照射3時間後において統 計学的な有意差が認められた (p<0.05)。

Control 群に比べ, EEM+2.0Gy 放射線照射群

では、Male マウスの放射線照射 1 日前 (p<0.05), 3 時間後 (p<0.001), 24 時間後 (p<0.01), 7 日 後 (p<0.05) において統計学的な有意差が認め られ、同様に Female マウスについても放射線 照射 3 時間後 (p<0.05), 15 日後 (p<0.05), 30 日後 (p<0.05) において統計学的な有意差が認 められた。

Sham control 群に比べ, 2.0Gy 放射線単独照 射群では、Maleマウスの放射線照射3時間後 (p<0.01), 12 時間後 (p<0.05), 7 日後 (p<0.05),

30 日後 (p<0.05) において統計学的な有意差が 認められ、同様に Female マウスについても放 射線照射 3 時間後 (p<0.05), 24 時間後 (p<0.05), 7日後 (p<0.05) において統計学的な有意差が 認められた。

2.0Gy 放射線単独照射群に比べ, EEM+2.0Gy

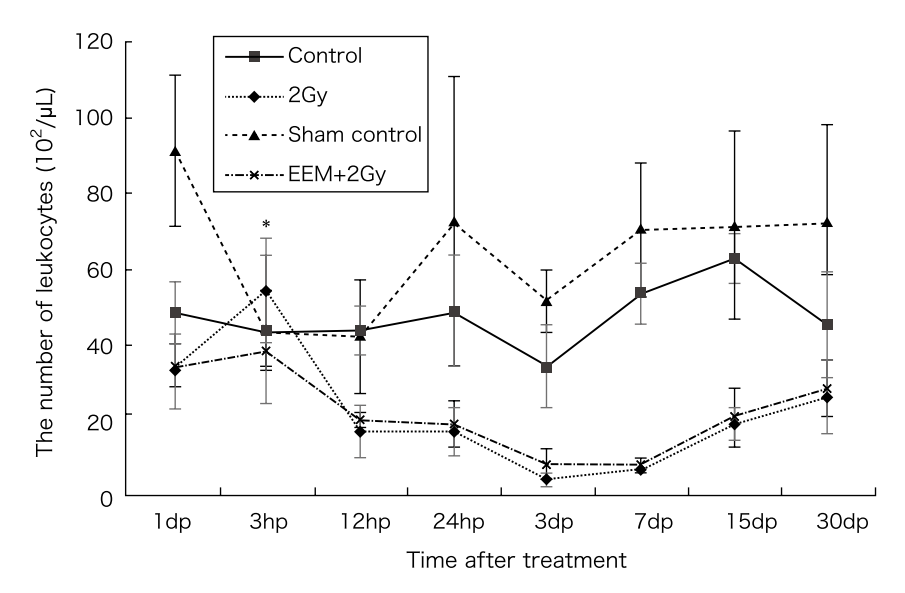


Fig. 7. The change in the number of monocytes in the blood taken from the tail vein of whole body irradiated mice. Each linegram represents the mean value ± SD for 5 female mice monocytes. 2Gy group was detected with statistical significant difference from the EEM plus 2Gy groups by t-test. \*p<0.05 vs 2Gy Group, \*\*p<0.01 vs 2Gy Group

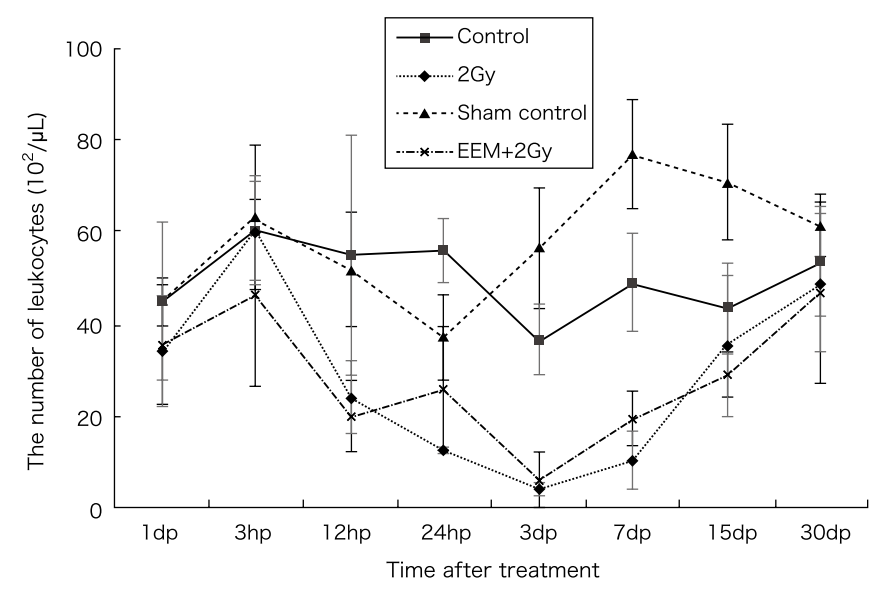


Fig. 8. The change in the number of monocytes in the blood taken from the tail vein of whole body irradiated mice. Each linegram represents the mean value ± SD for 5 female mice monocytes. 2Gy group was detected with statistical significant difference from the EEM plus 2Gy groups by t-test. \*p<0.05 vs 2Gy Group, \*\*p<0.01 vs 2Gy Group

放射線照射群では、Male マウスの放射線照射 1日前 (p<0.05), 24時間後 (p<0.01), 7日後 (*p*<0.01), 15 日後 (*p*<0.01), 30 日後 (*p*<0.05) において統計学的な有意差が認められ、同様に Female マウスについても放射線照射 12 時間後 (p<0.05), 15 日後 (p<0.05) において統計学的 な有意差が認められた。

#### 単球 (Monocytes)

Fig.7 に Male マウスの単球数の経時的変化 を示す。Fig.8 に Female マウスの単球数の経時 的変化を示す。単球数の経時的変化において, Control 群に比べ Sham Control 群では、Male マウスの放射線照射1日前 (p<0.01), 3日後 (p<0.05) において統計学的な有意差が認めら れ、同様に Female マウスについても放射線照 射 24 時 間 後 (p<0.01), 3 日 後 (p<0.001), 7 日後 (p<0.01) において統計学的な有意差が認 められた。

Control 群に比べ, 2.0Gy 放射線単独照射群で は、Male マウスの放射線照射 1 日前 (p<0.05)、 12 時間後 (p<0.01), 24 時間後 (p<0.05), 3 日後 (p<0.001), 7日後 (p<0.001), 15日後 (p<0.001), 30 日後 (p<0.05) において統計学 的な有意差が認められ、同様に Female マウス についても放射線照射 24 時間後 (p<0.01), 3 日後 (p<0.001), 7日後 (p<0.01) において統 計学的な有意差が認められた。

Control 群に比べ, EEM+2.0Gy 放射線照射群 では、Male マウスの放射線照射 1 日前 (p<0.01), 12 時間後 (p<0.001), 24 時間後 (p<0.01), 3 日後 (p<0.01), 7日後 (p<0.001), 15日後 (p<0.001), 30 日後 (p<0.05) において統計学 的な有意差が認められ、同様に Female マウス についても放射線照射 24 時間後 (p<0.05), 3 日後 (p<0.01),7 日後 (p<0.05),15 日後 (p<0.05) において統計学的な有意差が認められた。

Sham control 群に比べ, 2.0Gy 放射線単独 照射群では、Maleマウスの放射線照射1日 前 (p<0.001), 12 時間後 (p<0.05), 24 時間後 (p<0.05), 3 日後 (p<0.001), 7 日後 (p<0.001), 15 日後 (p<0.01), 30 日後 (p<0.01) にお いて統計学的な有意差が認められ、同様に Female マウスについても放射線照射 12 時間後 (p<0.01), 24 時間後 (p<0.05), 3 日後 (p<0.001), 7日後 (p<0.001), 15日後 (p<0.05) において 統計学的な有意差が認められた。

2.0Gv 放射線単独照射群に比べ、EEM+2.0Gv

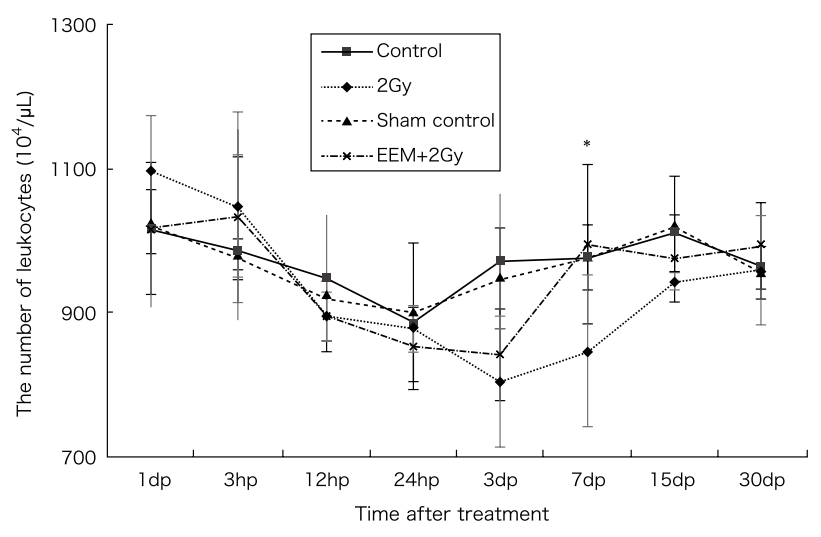
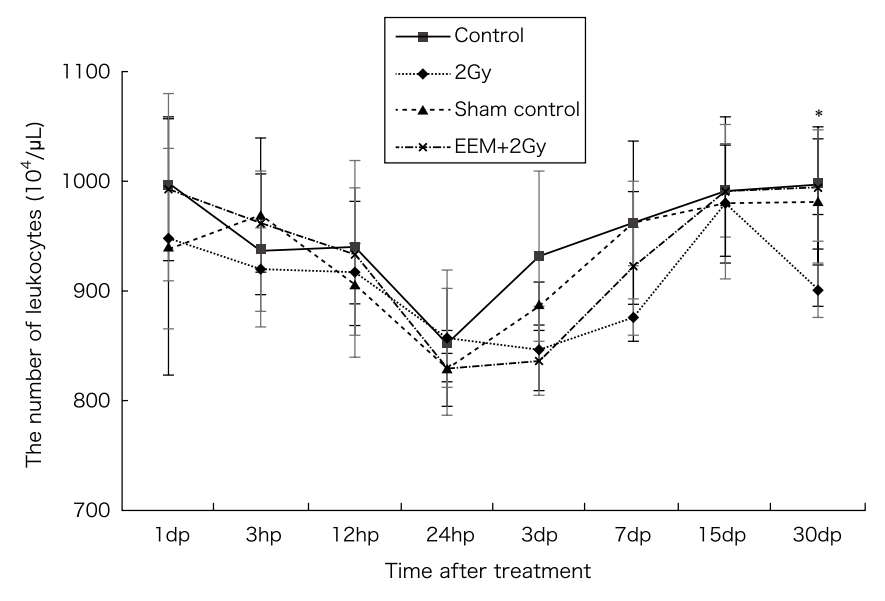


Fig. 9. The change in the number of erythrocytes in the blood taken from the tail vein of whole body irradiated mice. Each linegram represents the mean value ± SD for 5 female mice erythrocytes. 2Gy group was detected with statistical significant difference from the EEM plus 2Gy groups by t-test. \*p<0.05 vs 2Gy Group, \*\*p<0.01 vs 2Gy Group



**Fig.10.** The change in the number of erythrocytes in the blood taken from the tail vein of whole body irradiated mice. Each linegram represents the mean value  $\pm$  SD for 5 female mice erythrocytes. 2Gy group was detected with statistical significant difference from the EEM plus 2Gy groups by *t*-test. \*p<0.05 vs 2Gy Group, \*\*p<0.01 vs 2Gy Group

放射線照射群では、Male マウスの放射線照射 3 時間後において統計学的な有意差が認められたが (p<0.05),Female マウスについては統計学的な有意差は認められなかった。

#### 赤血球(Erythrocytes)

Fig.9 に Male マウスの赤血球数の経時的変化を示す。Fig.10 に Female マウスの赤血球数の経時的変化を示す。赤血球数の経時的変化において,Control 群に比べ Sham Control 群では,Male マウスのおいても,Female マウスにおいても統計学的な有意差は認められなかった。

Control 群に比べ、2.0Gy 放射線単独照射群では、Male マウスおいては統計学的な有意差は認められなかったが、Female マウスについては放射線照射 3 日後 (p<0.05),7 日後 (p<0.01),30 日後 (p<0.01) において統計学的な有意差が認められた。

Control 群に比べ,EEM+2.0Gy 放射線照射群では,Male マウスの放射線照射 3 日後において統計学的な有意差が認められ(p<0.05),同様に Female マウスについても放射線照射 1

日前 (p<0.05), 12 時間後 (p<0.01), 7日後 (p<0.001), 15日後 (p<0.01), 30日後 (p<0.05) において統計学的な有意差が認められた。

Sham control 群に比べ、2.0Gy 放射線単独照射群では、Male マウスの放射線照射 3日後 (p<0.05)、7日 (p<0.05)、15日後 (p<0.05)において統計学的な有意差が認められ、同様に Female マウスについても放射線照射 3日後 (p<0.05)、7日後 (p<0.05)、30日後 (p<0.05)において統計学的な有意差が認められた。

2.0Gy 放射線単独照射群に比べ,EEM+2.0Gy 放射線照射群では,Male マウスの放射線照射 7日後において統計学的な有意差が認められ (p<0.05),同様に Female マウスについても放射線照射 30 日後において統計学的な有意差が認められた (p<0.01)。

#### 血小板 (Thrombocytes)

Fig.11 に Male マウスの血小板数の経時的変化を示す。Fig.12 に Female マウスの血小板数の経時的変化を示す。血小板数の経時的変化において、Control 群に比べ Sham Control 群では、

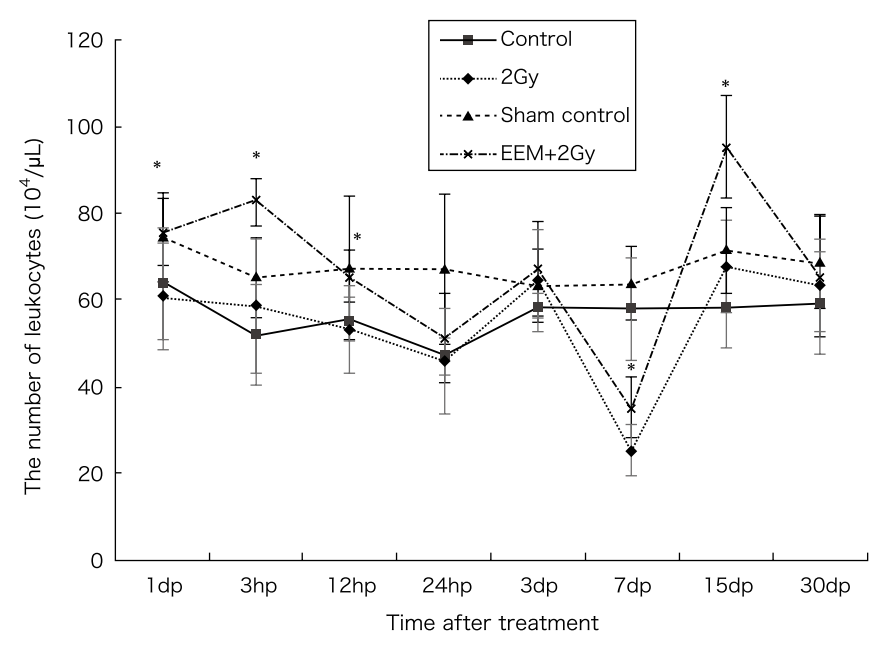


Fig.11. The change in the number of thrombocytes in the blood taken from the tail vein of whole body irradiated mice. Each linegram represents the mean value ± SD for 5 female mice thrombocytes. 2Gy group was detected with statistical significant difference from the EEM plus 2Gy groups by t-test. \*p<0.05 vs 2Gy Group, \*\*p<0.01 vs 2Gy Group

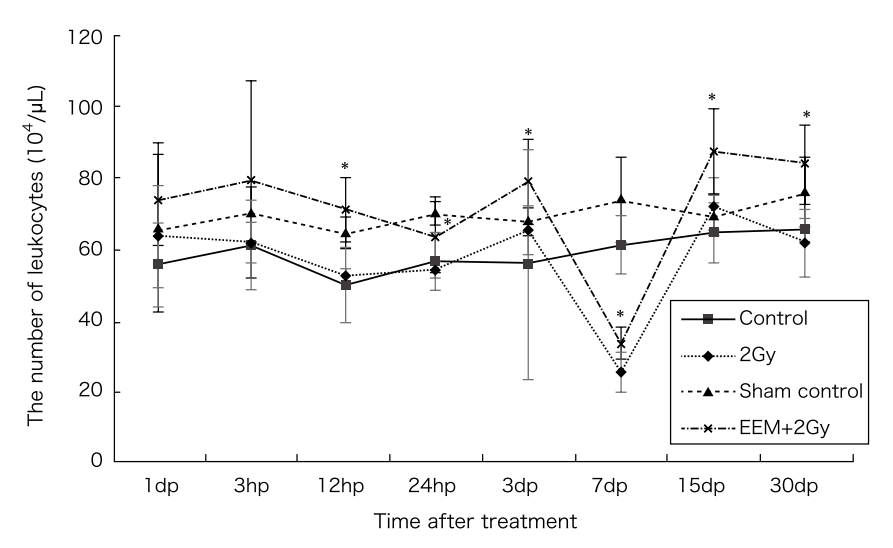


Fig.12. The change in the number of thrombocytes in the blood taken from the tail vein of whole body irradiated mice. Each linegram represents the mean value ± SD for 5 female mice thrombocytes. 2Gy group was detected with statistical significant difference from the EEM plus 2Gy groups by t-test. \*p<0.05 vs 2Gy Group, \*\*p<0.01 vs 2Gy Group

Male マウスの放射線照射 24 時間後 (p<0.05), 15 日後 (p<0.05) において統計学的な有意差が 認められ、同様に Female マウスについても放 射線照射12時間後(p<0.05),24時間後(p<0.01),

30 日後 (p<0.05) において統計学的な有意差が 認められた。

Control 群に比べ、2.0Gy 放射線単独照射群で は、Male マウスの放射線照射 3 時間後(p<0.05)、

7日後(p<0.001)において統計学的な有意差が認められ、同様に Female マウスについても放射線照射 7日後において統計学的な有意差が認められた(p<0.001)。

Control 群に比べ、EEM+2.0Gy 放射線照射群では、Male マウスの放射線照射 3 時間後 (p<0.01), 12 時間後 (p<0.05), 7 日後 (p<0.01), 15 日後 (p<0.001) において統計学的な有意差が認められ、同様に Female マウスについても放射線照射 1 日前 (p<0.05), 12 時間後 (p<0.01), 7 日後 (p<0.001), 15 日後 (p<0.01), 30 日後 (p<0.05) において統計学的な有意差が認められた。

Sham control 群に比べ,2.0Gy 放射線単独照射群では,Male マウスの放射線照射 12 時間後 (p<0.05),24 時間後 (p<0.05),7 日後 (p<0.001) において統計学的な有意差が認められ,同様に Female マウスについても放射線照射 3 時間後 (p<0.05),12 時間後 (p<0.001),24 時間後 (p<0.001),7 日後 (p<0.001),30 日後 (p<0.05) において統計学的な有意差が認められた。

2.0Gy 放射線単独照射群に比べ,EEM+2.0Gy 放射線照射群では,Male マウスの放射線照射 1 日前(p<0.05),3 時間後(p<0.01),12 時間後(p<0.05),7 日(p<0.05),15 日後(p<0.01)

において統計学的な有意差が認められ、同様に Female マウスについても放射線照射 12 時間後 (p<0.01), 24 時間後 (p<0.05), 3 日後 (p<0.05), 7 日後 (p<0.05), 15 日後 (p<0.05), 30 日後 (p<0.01) において統計学的な有意差が認められた。

#### 血清中の抗酸化活性(Antioxidant Activity)

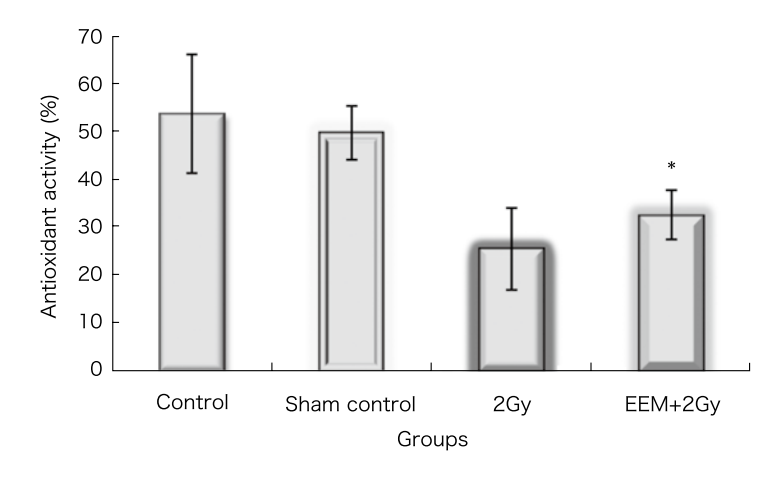
血清中抗酸化活性の測定結果を Fig.13 に示す。

Control 群の抗酸化活性と,各照射群の抗酸化活性の有意差検定を t 検定で行った結果,Control 群と 2.0Gy 放射線単独照射群の抗酸化活性の間に統計学的な有意差が認められた (p<0.001)。また,Control 群と EEM+2.0Gy 放射線照射群の抗酸化活性の間にも統計学的な有意差が認められた (p<0.001)。さらに,2.0Gy 放射線単独照射群と EEM+2.0Gy 放射線照射群の抗酸化活性の間に統計学的な有意差が認められた (p<0.05)。

#### 3. 考察

#### 3-1. 血球細胞レベルにおける考察

白血球は, リンパ球, 顆粒球, 単球からなる。白血球は免疫に深く関与しており, 細菌や



**Fig.13.** Antioxidant Activity of blood serum taken from the heart of whole body irradiated mice. Each linegram represents the mean value ± SD for 10 male mice Antioxidant Activity. 2Gy group was detected with statistical significant difference from the EEM plus 2Gy groups by *t*-test. \**p*<0.05 vs 2Gy Group, \*\**p*<0.01 vs 2Gy Group

ウイルスなどの外敵の浸入に対する防御機構と して重要である。抹消白血球の変動は放射線照 射に敏感である160。特に、マウスでは、放射 線感受性の高いリンパ球の比率が高いので自血 球数の変動は著明である。本研究では、Male マウス、Female マウスともに 2.0Gv 単独照射 群の白血球数よりも EEM+2.0Gy 照射群の白血 球数のほうが総じて高いことが認められた。そ こで白血球を構成するリンパ球、顆粒球、単球 について観察を行った。リンパ球は造血芽細胞 (CFU-blast) を始めとする未分化なものから抹 消血にいたるまで放射線感受性が高い。また, リンパ球は哺乳動物細胞の中で最も放射線感受 性が高い細胞であり、 照射を受けると短時間で 間期死を起こすことが特徴である170。リンパ 球固有の特徴として、ほかの血球への放射線作 用が、母細胞への障害の反映として出現してく るのに対して、リンパ球は直接放射線によって 破壊死滅すると考えられる点である。照射直 後からすでに減少が認められ、48時間までに 急激な減少, ついでなだらかな減少曲線を示す <sup>18-20)</sup>。本研究では、Male マウスにおいて 2.0Gv 単独照射群のリンパ球数よりも EEM+2.0Gy 照 射群のリンパ球数のほうが総じて高かった。 Gu らは担癌マウスにキノコ抽出物を投与して, 宿主媒介性の免疫活性作用による抗腫瘍効果を 観察した。ここで、リンパ球を活性する因子が EA6 である可能性を示唆している 19)。よって, EEM の投与によって免疫賦活作用によりリン パ球数の低下に対する免疫応答(修復作用)が 促進されたものと考えられる。

顆粒球の減少カーブはリンパ球に比べると少 し緩やかであり、照射後3~4日で最低値とな る。回復はリンパ球よりも早く、2~3週間で ほぼ正常値に戻る。また、照射直後(1日以内) に一過性の増加が認められることがあるが、こ れは貯蔵プールからの放出によるためである <sup>21)</sup>。本研究においても Male マウス, Female マ ウスともに照射直後に一過性の顆粒球数の増加 が認められた。また、Male マウス、Female マ ウスともに 2.0Gy 単独照射群の顆粒球数よりも

EEM+2.0Gv 照射群の顆粒球数のほうが総じて 高いことが認められた。

単球は白血球の4~8%を占める。血管外に 出て大食細胞(マクロファージ)に変わるとさ れており, 貪食能があり免疫作用に関係する <sup>22-23)</sup>。本研究では、Male マウスにおいて 2.0Gv 単独照射群の単球数よりも EEM+2.0Gy 照射群 の単球数のほうが総じて高いことが認められ た。また、Female マウスの放射線照射 24 時間 後から7日後において、2.0Gv 単独照射群の単 球数よりも EEM+2.0Gy 照射群の単球数のほう 高いことが認められた。ブナシメジをはじめ食 用キノコの抗腫瘍作用の主成分である多糖体 は、マクロファージを活性化させることが報告 されている1)。また、Ikekawa らはブナシメジ 含有飼料で飼育したマウスの血漿の抗酸化活性 が対照群に比べて上昇していることを示した <sup>19, 20)</sup>。これらのことから, EEM の投与でマク ロファージが活性化され修復が早まることと, 抗酸化作用によりフリーラジカルが除去される ことによって、顆粒球や単球が損傷されること が緩和されたということが考えられる。

#### 3-2. 血清中の抗酸化活性における考察

放射線を生体に照射すると, 生体の大部分 を占める水との放射線分解により、OH·, H·,  $O_2^-$  といったフリーラジカルが生じる  $^{1)}$ 。生体 膜の脂質中に局在する高度不飽和脂肪酸は,フ リーラジカルの作用を受けやすく脂質過酸化連 鎖反応を介して過酸化脂質を生成する。過酸化 脂質は局所より血液中に流出し血管病変をはじ めとする二次的病変の原因となる18)。従って、 本研究の個体レベルや血液レベルのおける放射 線の影響もフリーラジカルによって誘発された ものと考えられる。本研究では、2.0Gy 放射線 単独照射群よりも EEM+2.0Gy 放射線照射群の 抗酸化活性が明らかに高くなった。この原因と して EEM に含まれる β グルカンの作用が考え られる。具らは EEM の主成分の 1 つである  $\beta$ グルカンの抗酸化作用に着目して, βグルカン 飼料で飼育したマウス血漿の抗酸化活性の上昇 について報告している。また、血漿中の過酸化 脂質レベルの低下も認められている<sup>24)</sup>。Guら はグルカンの抗酸化作用を AAPH 法によって 証明した $^{8)}$ 。EEMにもエノキタケ由来のEA3(β- $(1 \rightarrow 3)$  -D- グルカン) が含まれており、EA3 による抗酸化活性の上昇が考えられる。従って EEM の投与によって、血液の抗酸化活性が高 まり, 放射線照射によって生じるフリーラジカ ルが減少したと考えられる。なお、Control 群 と Sham control 群の抗酸化活性には有意差は認 められなかったが、Control 群のほうが若干高 くなった。本来ならば放射線照射していない血 液に関しても、EEMを投与したほうの抗酸化 活性が高くなるはずである。これは EEM を腹 腔内投与することでマウスのストレスが上昇 し,血液が酸化したものと考えられる。従って、 生理食塩水のみを腹腔内投与して比較する必要 があると考えられる。

#### 4. 結論

2.0Gy 単独照射群と *EEM*+2.0Gy 照射群の白 血球数の間に明らかな差が認められた。特に, Male マウスの24時間後,7日後,15日後,30 日後と、Female マウスの 24 時間後、7 日後に おいて統計学的な有意差が認められた。従っ て, EEM に白血球に対する放射線防護効果が 認められた。 2.0Gy 単独照射群と EEM+2.0Gy 照射群のリンパ球数の間に明らかな差が認めら れた。特に、Male マウスの 15 日後において統 計学的な有意差が認められた。従って、EEM にリンパ球に対する放射線防護効果が認められ た。 2.0Gy 単独照射群と EEM+2.0Gy 照射群の 顆粒球数の間に明らかな差が認められた。特 に, Male マウスの1日前, 24時間後, 7日後, 15日後、30日後と、Female マウスの12時間 後,15日後において統計学的な有意差が認め られた。従って、EEM に顆粒球に対する放射 線防護効果が認められた。 2.0Gy 単独照射群の 単球数よりも、EEM+2.0Gy 照射群の単球数の ほうが総じて高くなった。特に、Maleマウス の3時間後において統計学的な有意差が認めら れた。従って、EEM に単球に対する放射線防 護効果が認められた。 赤血球数は他の血球細 胞に比べると、変化は少なく各群間にも大きな 差は認めらなかった。従って、EEMには赤血 球に対する放射線防護効果は認められなかった 2.0Gv 単独照射群の単球数よりも、*EEM*+2.0Gv 照射群の単球数のほうが総じて高くなった。

特に、Male マウスの放射線照射 1 日前、3 時 間後、12時間後、7日後、15日後と、Female マウスの放射線照射12時間後,24時間後,3 日後,7日後,15日後,30日後において統計 学的な有意差が認められた。EEM を投与した 群において、刺針による血小板数の増加が認 められた。従って、EEMには血小板に対する 放射線防護効果は認められなかった。2.0Gv 単 独照射群と EEM+2.0Gy 照射群の抗酸化活性の 間に統計学的な有意差が認められた (p<0.05)。 EEM+2.0Gy 照射群に抗酸化活性の上昇が認め られた。従って、放射線照射により生成したフ リーラジカルに対する、EEMのラジカル除去 作用の増強が認められた。

#### 参考文献

- 1. Gu YH, Takeo T, Kim HG, Suzuki I, Mori T, Yamamoto Y.: Study of the radioprotective effects of TMG on teratogenic malformations in irradiated mice. Nihon Igaku Hoshasen Gakkai Zasshi, 60: 845-55. 2000.
- 2. Gu YH, Kai M, Kusama T.: The embryonic and fetal effects in ICR mice irradiated in the various stages of the preimplantation period. Radi. Res. 147:735-740. 1997.
- 3. Gu YH, Choi HJ, Yamashita T, Kang KM, Iwasa M, Lee MJ, Lee KH, Kim CH.: Pharmaceutical production of anti-tumor and immune-potentiating Enterococcus faecalis-2001 β-glucans: enhanced activity of macrophage and lymphocytes in tumor-implanted mice. Current Pharmaceutical Biotechnology, 18 (8): 653-661.2017.
- 4. Gu YH, Fujimiya Y, Itokwa Y, Oshima M, J Choi JS, Miura T, Ishida T.: Tumoricidal effects of beta-glucans: mechanisms include both antioxidant activity plus enhanced systemic and topical immunity. Nutr Cancer, 60 (5): 685-691, 2008.
- 5. Gu YH, Takagi Y, Nakamura T, Hasegawa T, Suzuki I, Oshima M, Tawaraya H, NiwanoY.: Enhancement of radioprotection and anti-tumor immunity by yeast-derived β-glucan in Mice. J Med Food, 8 (2): 154-158, 2005.
- 6. Nakamura T, Itokawa Y, Tajima M, Ukawa Y, Cho KH, Choi JS, Ishida T, Gu YH.: Radioprotectve effect of Lyophyllum decastes and the effect on immunological functions in irradiated mice. J Tradi Chi Med. 27 (1): 70-75. 2007.
- 7. Gu YH, Park SR, Hasegawa T, Koike M.: Antihypertensive effect of Lyophyllum decastes Sing in spontaneously hypertensive rats. Int J Med Mus., 3 (1): 103-110. 2001.
- 8. Gu YH, Hasegawa T, Suzuki I, Hayashi I, Ahn KS, Twaraya H.: A study of the radioprotection effect of macroglucan (β-1-3 glucan) on fetuses of ICR mice. J Ori Med., 5 (1): 63-70. 2000.
- 9. Gu YH, Yamasita T, Kang KM.: Subchronic oral dose toxicity study of Enterococcus faecalis 2001(EF 2001) in mice. Toxi Res., 34 (1):55-63. 2018.
- 10. Yamashita T, Kato T, Tunekawa M, Gu YH, Wang S, Ma N.: Effect of radiation on the expression of Taurine transporter in the intestine of mouse. Adv Exp Med Biol., 975: 729-740, 2017.
- 11. Gu YH, Maenaka T, Saito K, Yamashita T, Choi IS, Terai K, Ahn KS.: Antioxidant and immuno-enhancing effects of Echinacea purpurea (American herb) in vivo. Ori. Pharm. Exp. Med. 5: 48-56. 2005.
- 12. Liu J, Edamatsu R, Hamada H, Mori A.: Scavenging effect of Guilingii on free radicals. *Neurosciences*, 16: 623-630. 1990.
- 13. Kim JH, Park MY, Lee JY, Okuda H, Kim S, Hwang WI.: Antioxidant and antitumor effects of manda. Biochem. Arch. 14: 211-219. 1998.
- 14. Gu YH, Takebe M.: Immunological enhancement effect and radiation protection effect of Fuscoporia oblique. Med. Bio. 153: 165-175. 2009.
- 15. Gu YH, Iwasa M, Iwasa H, Kobayashi K, Itokawa Y, Ishida T.: Radiation protection effect for EF 2001 (Enterococcus faecalis 2001). Med. Bio. 151: 289-295. 2007.
- 16. Gu YH, Itokawa Y, Maenaka T, Yamashita T, Oshima M, Nakamura T, Young-nam Kang, Hasegawa T, Suzuki I, Choi IS, Tano K, shida T.: The Blood Estradiol-17β, Testosterone and Progesterone of Male and Female Mice Change by Lepidium meyenii Walp (MAX-180) and Muira Puama. Med. Bio., 150 (4): 159-168, 2006.
- 17. Kang YN, Maenaka T, Itokawa Y, Yamashita T, Nakamura T, Oshima M, Hasegawa T, Suzuki I, Tano K, Ishida T, Gu YH.: Embryonic Death Effects of Hyperthermia Induced by RF (Radiofrequency) Waves. Med. Bio., 150 (3): 97-103, 2006.
- 18. Gu YH, Yamashita T, Maenaka T, Itokawa Y, Nakamura T, Choi IS, Tano K, Ryu MS, Hasegawa T, Oshima M.: Anti-tumor Immunity and Radioprotection effect of Fuscoporia oblique.; Med. Bio., 149 (9): 304-318, 2005.
- 19. Choi IS, Gu YH.: Anti-cancer and Radioprotection Effects of Hatakeshimeji (Lyophyllum decastes).; Med. Bio., 149 (7): 256-262, 2005.
- 20. Gu YH, Yamashita T, Oshima M, Takagi Y. The blood estradiol-17β, Testosterone and progesterone of male and female mice change by Lepidium meyenii Walp (MAX-180); Med. Bio., 148 (1): 14-73, 2004.
- 21. Gu YH, Yamashita T, Oshima M, Takagi Y.: Immunological enhancement effect in PASSION FRUIT (MARACUJYA); Med. Bio., 148 (1): 20-25, 2004.
- 22. 具 然和,山下剛範,鈴木郁功,大嶋正己: Propolis と Phellinus Linteus の放射線防護効果に関する研究; Med. Bio, 146 (6): 111-116, 2003.
- 23. 具 然和,山下剛範,大嶋正己: Propolis と Ganoderma による抗がん効果と放射線防護効果に関する研究; Med. Bio, 146 (6): 105-110, 2003.
- 24. 具 然和,大嶋正己,朴 相来,鈴木郁功:ミラクルフード投与に対する免疫増強効果と放射線防護 効果の研究; Med. Bio, 146 (4): 65-70, 2003.

# Immunoenhancement and radioprotection effect by Extracts of Edible Mushrooms

Correspondence: Yeunhwa Gu

Chairperson International Affairs Department of Radiological Science,

Graduate School of Health Science, Faculty of Health Science Junshin Gakuen University

1-1-1 Chikushigaoka, Minami-ku, Fukuoka 815-8510 Japan

TEL:+81-92-554-1255 FAX:+81-92-552-2707 e-mail:gu.y@junshin-u.ac.jp

Key Words: radiation protective agen, immunostimulation, lymphocyte, antioxidative effec

#### Abstract

With the diversification of radiation use, there is a concern about the influence of radiation on the human. In this study, *Extracts of Edible Mushrooms* (*EEM*) which is a hot water extract from *Bunashimeji* and *Enokitake* were used as a protective agent against side effects during radiotherapy. Previous studies have reported that *EEM* has antitumor and antioxidant effects. Therefore, in this study, we investigated the effects of radiation on blood cells and antioxidant activity using *EEM* and aimed to contribute basic data to radiation protection agents.

At the blood cell level, 7-week-old ICR mice were used to intraperitoneally administer *EEM* to mice at a concentration of 25µg/0.5mL/body weight (kg). The administration period was 2 weeks or more at every other day interval. The experiment group was Control group, Sham control group administered only *EEM*, 2.0Gy radiation alone irradiation group, *EEM* + 2.0Gy irradiation group. Bleeding was performed 1 day, 3 hours, 24 hours, 3 days, 7 days, 15 days, and 30 days after the radiation irradiation.

Measurement items were white blood cell count, lymphocyte count, granulocyte count, monocyte count, red blood cell count, and platelet count.

For antioxidant activity, 7-week-old ICR mice were used to intraperitoneally administer *EEM* to mice at a concentration of 25µg/0.5mL/body weight (kg). The administration period was 2 weeks or more at every other day interval.

The experiment group was Control group, Sham control group administered only *EEM*, 2.0Gy radiation alone irradiation group, *EEM* + 2.0Gy irradiation group. Blood was drawn from the heart immediately after irradiation, and serum was obtained by centrifugation. The chemiluminescence intensity was measured by adding a luminol reagent to the serum and the antioxidant activity was evaluated.

Regarding the blood cell level, the white blood cell count was statistically significant between 24 hours, 7 days, 15 days, and 30 days after irradiation of male mice between 2.0Gy radiation alone group and EEM + 2.0Gy radiation group A significant difference was observed, and a statistically significant difference was observed 24 hours and 7 days after irradiation of Female mice. Regarding the number of lymphocytes, a statistically significant difference was observed between irradiation group of 2.0Gy radiation alone and irradiation group of EEM + 2.0Gy 15 days after irradiation of Male mice. Regarding the number of granulocytes, statistically significant differences between 1 day before, 24 hours after, 7 days after, 15 days after, and 30 days after irradiation of Male mice between 2.0 Gy radiation alone irradiation group and EEM + 2.0Gy radiation irradiation group, And statistically significant difference was observed between Female mice 12 and 15 days after

irradiation. Regarding the number of monocytes, a statistically significant difference was observed between irradiation of 2.0Gy radiation alone and irradiation group of EEM + 2.0Gy for 3 hours after irradiation of male mice.

Regarding the number of monocytes, a statistically significant difference was observed between irradiation of 2.0Gy radiation alone and irradiation group of EEM + 2.0Gy for 3 hours after irradiation of male mice. Regarding the antioxidant activity in serum, a statistically significant difference was observed between 2.0Gy radiation alone group and EEM + 2.0Gy radiation group (p<0.05). In this study, radiation protection effect against leukocytes, lymphocytes, granulocytes, monocytes was observed. This may be due to inhibition of cell damage due to antioxidant effect of EEM and increase in blood cell count due to immunostimulatory action. Also, radical scavenging effect on free radicals by irradiation was recognized. This is thought to be due to the antioxidant action of β-glucan, which is the main component of *EEM*. Therefore, this study confirmed the radiation protection effect by EEM.

連絡先: 具 然和

純真学園大学保健医療学部放射線技術科学科 〒 815-8510 福岡県福岡市南区筑紫丘 1 丁目 1-1

TEL:092-554-1255

e-mail: gu.y@junshin-u.ac.jp

# ニジマス用飼料の炭水化物源ー2

酒本 秀一 (SAKAMOTO Shuichi)

Key Words: ニジマス用飼料 炭水化物源 小麦粉 中白糠 米 澱粉 粒径 人工消化率 消化 吸収率

前報<sup>1)</sup>でジアスターゼによる炭水化物の人工消化率は小麦粉と米粉で大きな違いが無いのに中白糠(酒糠)は著しく値が高いことや,実際にニジマス稚魚を用いて炭水化物の消化吸収率を測定すると小麦粉より米関連物(米粉,脱脂米糠,中白糠)の方が値が高いことを明らかにした。この結果より,ジアスターゼによる人工消化率は供試物によっては真の消化吸収率と著しく値が違う可能性があるので,人工消化率は炭水化物源のスクリーニングの手段に留めておくべきであることを指摘した。

また,飼料効率やタンパク質効率などの飼育 成績は実際に魚を用いて調べた飼料炭水化物の 吸収量との間に強い正の相関が認められること や,中白糠以外の米関連物や小麦粉の人工消化 率はそれぞれの炭水化物量との間に負の相関が 認められること等も報告した。

今回の試験は前報の結果の再現性を確認する と共に,ジアスターゼによる人工消化率や魚に よる消化吸収率に影響を及ぼす要因を明らかに することを目的として行った。

試験-1で11種類の小麦粉と11種類の米関連物(米粉砕物 8, 脱脂米糠 1, 中白糠 2)の炭水化物量とジアスターゼによる人工消化率の関係を調べた。試験-2で炭水化物以外の成分の影響を出来るだけ除去するためにトーモロ

コシ、小麦、馬鈴薯および米の澱粉を用いて人工消化率を調べ、その値とニジマス稚魚による炭水化物の消化吸収率を比較し、澱粉の種類の違いが人工消化率や消化吸収率に及ぼす影響を調べた。試験-3と4で供試物の粒径と人工消化率の関係を調べ、試験-5で色々な中白糠の粒度分布を測定し、平均粒径と前報で説明したニジマス稚魚の飼育成績(飼料効率、タンパク質効率)との相関を調べた。

## 試験 -1. 小麦粉と米関連物の人工消 化率

前報で小麦粉と米関連物(中白糠を除く)では炭水化物量と人工消化率の間に負の相関があることと,同じ炭水化物量で比較すると小麦粉より米関連物の方が人工消化率が高いことを説明した。本試験は小麦粉,米関連物共に試料数を増やして炭水化物量と人工消化率の関係を調べ,前報の結果の再現性を明らかにすることを目的として行った。

#### 1. 材料と方法

#### 1-1. 供試原料

"ふすま"から食用小麦粉まで様々な性状の 小麦粉 11 種類と米関連物 3 種類(脱脂米糠 1, 中白糠 2) のジアスターゼによる人工消化率 を調べ、次いで8種類の米(うるち米 7,も ち米 1) の人工消化率を調べた。小麦粉の I. Ⅱ, Ⅲの記号は前報で用いた小麦粉Ⅰ, Ⅱ, Ⅲ と同じ物である。また, 脱脂米糠と中白糠も前 報と同じ物を用いた。うるち米のA、Bはコシ ヒカリで産地が違う物, C, D はササニシキで これも産地が違う物, E, F は詳細不明の内地米, Gは特選標準米である。もち米は詳細不明の物 である。

## 1-2. 炭水化物定量法

#### 総炭水化物量

総炭水化物量は塩酸分解法で測定した。手 順は以下の通りである。試料 500mg を精秤し, 大型試験管に入れ、4% 塩酸 60mL を添加する。 浮蓋をして90分間沸騰浴。水冷した後濾過 する。 濾液 5-20mL (糖濃度により変える) を 100mL 三角フラスコに 1 試料につき 2 本ずつ 取る。ブランクには精製水を加える。精製水で 20mLに定容。A液(CuSO<sub>4</sub>·5H<sub>2</sub>O 30g, ロッシェ ル塩 90g, Na<sub>3</sub>PO<sub>4</sub>·12H<sub>2</sub>O 200g, KIO<sub>3</sub> 3.5g を 1L に定容。調整法は、まずロッシェル塩と Na<sub>3</sub>PO<sub>4</sub>·12H<sub>2</sub>O を約 600mL の精製水に溶解す る。CuSO4・5H<sub>2</sub>O を 120-130mL の精製水に溶 解。KIO3 を約 30mL の精製水に溶解。CuSO4・ 5H<sub>2</sub>O 液にロッシェル塩 +Na<sub>3</sub>PO<sub>4</sub>・12H<sub>2</sub>O 液を 徐々に加え、最後にKIO;液を加える。放冷後 精製水で1Lに定容する。)10mLと消泡油(原 液を 5-10 倍に希釈) 2-3 適添加し,電気コンロ 上で3分間煮沸(沸騰し始めたらコンロの目盛

を小さくする)。10-15 分間水冷し、B液(蓚酸 カリウム 90gとKI 40gを精製水で1Lに定 容) 10mL と C 液 (2N 硫酸) 10mL を泡立てな いように添加する。1%澱粉溶液を指示薬とし て 0.1N チオ硫酸ナトリウム液で滴定する。下 記の式より還元糖の量を求める。

還元糖(%)=[(V<sub>1</sub>-V<sub>2</sub>)×F×0.0029×100/S]×100/W

V<sub>1</sub>: ブランクの滴定値 (mL), V<sub>2</sub>: 試料の滴定 値 (mL), F:0.1N チオ硫酸ナトリウムの力価, S: 測定に使用した試料溶液量 (mL), W: 供試試 料量 (g)

#### ジアスターゼによる人工消化率

試料約1gを精秤する。水80mLとジアスター ゼの 5% 溶液 5mL(ジアスターゼ 250mg 相当) を加え、37℃で 16-17 時間穏かに撹拌しながら 炭水化物を消化する。生じた還元糖を上記の Somogyi 氏変法で測定する。下記の式で人工消 化率を求める。

人工消化率(%)=ジアスターゼ処理によって 生じた還元糖量 x100/ 塩酸分解処理によって生 じた還元糖量。

#### 測定サンプルの調製

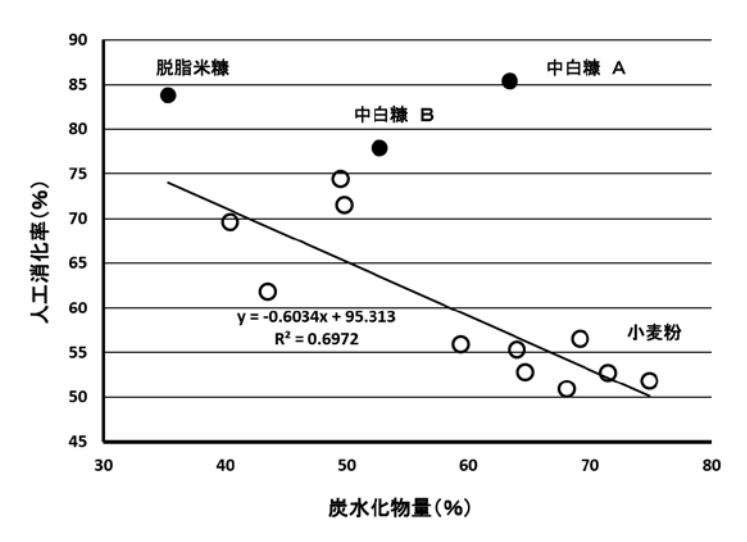
小麦粉, 脱脂米糠, 中白糠はそのまま測定に 用いた。米は一定量の米を電動のコーヒーミル で一定時間粉砕して用いた。

#### 2. 結果

表1と図1に示すように小麦粉には炭水化

	炭水化物量(%)	人工消化率(%	)   米	炭水化物量(9	%) 人工消化率(%)
A: ふすま	43.5	61.8	脱脂米糠	35.3	83.8
В	40.4	69.6	中白糠		
C: I	49.5	74.4	A	52.7	77.9
D	49.8	71.5	В	63.4	85.4
E: II	59.4	55.9			
F	64.0	55.3			
G(強力粉)	68.1	50.9			
H(強力粉)	69.2	56.5			
I(強力粉)	71.5	52.7			
J: Ⅲ(薄力粉)	64.7	52.8			
K(薄力粉)	74.9	51.8			

表 1 小麦粉と米の炭水化物量と人工消化率



小麦粉と米関連物の炭水化物量と人工消化率

表 2 米の炭水化物量と人工消化率

米	炭水化物量(%)	人工消化率(%)
うるち米		
A: コシヒカリ	74.8	60.0
B: コシヒカリ	74.8	59.4
C: ササニシキ	72.7	53.9
D: ササニシキ	71.9	60.0
E: 内地米	70.3	75.8
F: 内地米	70.0	61.3
G: 特選標準米	72.6	66.0
もち米		
Α	71.3	55.2

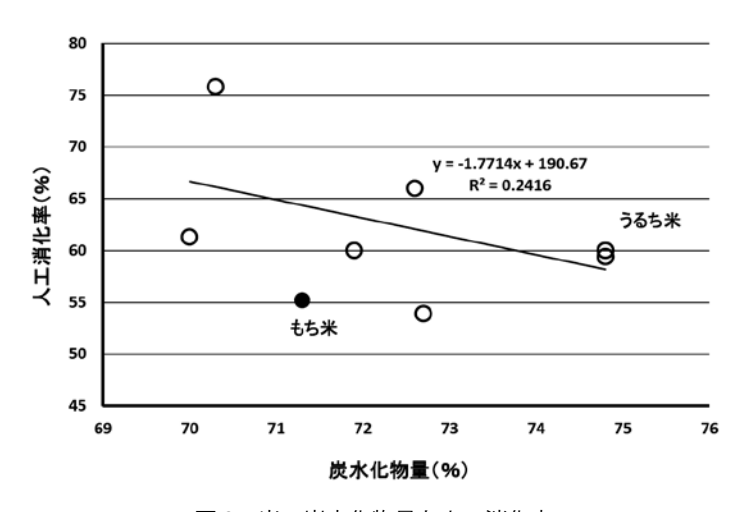


図2 米の炭水化物量と人工消化率

物量と人工消化率の間に負の相 関が認められ、前報の再現性が 確認出来た。但し、今回は11種 類(前報では3種類)の小麦粉 を用いたためかバラツキが大き く, 回帰直線の傾きや相関係数 は前報と可也違った値を示した。

脱脂米糠と中白糠の炭水化物 量に対する人工消化率は明らか に小麦粉より高く、違う部位に 位置していた。これも前報と同 じ結果で, 再現性が確認出来た。

表2と図2に米の炭水化物量 と人工消化率の関係を示す。米 は小麦粉より炭水化物量が多い。

米の種類(うるち米ともち米. うるち米では品 種の違い) によって炭水化物量に大きな違いは 無いが、人工消化率には可也の違いが認められ た。前報同様もち米はうるち米より人工消化率 が低い傾向が認められた。但し、もち米は供試 物が1種類のみなので断言は出来ない。

米を電動コーヒーミルで粉砕した米粉砕物の 人工消化率は小麦粉と大差無く, この結果も前 報と同じであった。また、米粉砕物の炭水化 物量と人工消化率の相関は, 前報で脱脂米糠,

> うるち米, もち米で求めた相関 より遥かに弱い相関しか示さな かった。但し, 前報とは測定サ ンプルの調製法も違い, 粒度分 布なども調べていない。よって, この結果のみで、米では炭水化 物量と人工消化率の相関が弱い とは言い切れない。さらに詳細 な検討を要する。

> 小麦粉, 脱脂米糠, 中白糠お よび米粉砕物の炭水化物量と人 工消化率の関係を纏めて示した のが図3である。小麦粉は米関 連物より明らかに人工消化率が 低かった。米関連物では、脱脂 米糠と中白糠の人工消化率が高

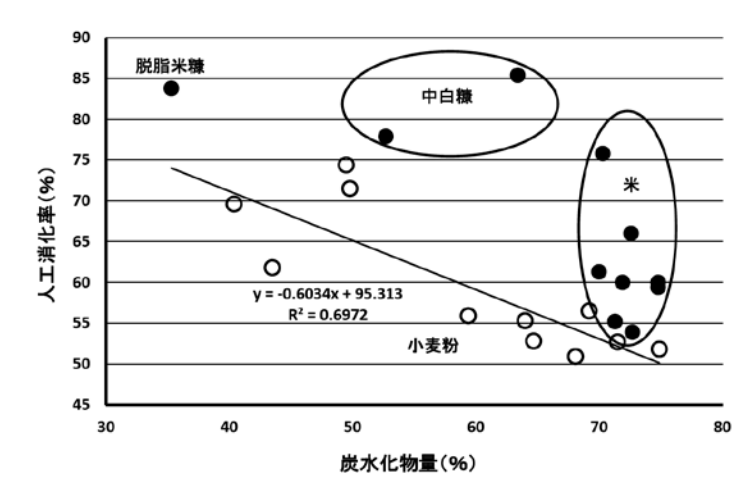


図3 小麦粉,脱脂米糠,中白糠,米粉砕物の炭水化物量と人工消化率

表 3 供試米の一般成分

	水分	タンパク質	灰分	炭水化物
うるち米				
A: コシヒカリ	14.8	7.3	0.4	74.8
B: コシヒカリ	15.3	6.9	0.4	74.8
C: ササニシキ	15.4	6.8	0.5	72.7
D: ササニシキ	15.1	6.8	0.5	71.9
E: 内地米	15.0	6.9	0.5	70.3
F: 内地米	15.2	7.2	0.5	70.0
G: 特選標準米	14.7	7.1	0.5	72.6
もち米				
A	15.3	7.6	0.4	71.3

単位:%

く,米粉砕物は総じて低かった。また、米粉砕 物の炭水化物量は狭い範囲にあるのに人工消化 率には大きなバラツキがあった。

何故この様な結果になるのであろう。幾つか の理由が推定出来る。小麦粉の澱粉はタンパク 質の様なジアスターゼで消化出来ない成分でキ チンと包まれていて、米の澱粉はこのコーティ ングの程度が緩いのではないか。もしこの様な 構造的な違いがあるのであれば、小麦の澱粉に はジアスターゼが接触・反応し難く、米の澱粉 にはジアスターゼが容易に接触・反応出来る事 になり、 当然小麦粉と米の間で人工消化率に違 いが出てくるであろう。

前報で説明した様に、魚粉 66%、炭水化物 源 30%, ビタミン・ミネラル混合 4%, 酸 化クロム 外割 0.1% より成る試験飼料を用い

てニジマス稚魚で消化吸収率を 測定すると、飼料タンパク質の 消化吸収率は小麦粉区と米粉砕 物区で殆ど違いが無かったのに. 炭水化物の消化吸収率は小麦粉 区の方が著しく低い値を示した。 この結果は小麦と米で澱粉の性 状に何らかの違いがあり、それ が人工消化率や消化吸収率に影 響を及ぼしている可能性がある ことを示している。炭水化物の 消化は消化酵素が澱粉に作用す ることによって起こることを考 えると、澱粉粒の粒径が小さく

て表面積が大きい程消化作用を受け易く. 人工消化率も消化吸収率も高くなるので はないかと思われる。

表3に示す様に今回試験に用いた米 の一般成分組成に殆ど違いは認められな かったので、組織学的な構造に大きな違 いがあるとは考え難い。組織学的な構造 や澱粉の性状以外にも人工消化率に影響 を及ぼす要因があるのであろう。例えば. 供試原料の粒度分布などが関係している ことは十分考えられる。

## 3. 要約

- ・小麦粉では炭水化物量とジアスターゼによる 人工消化率の間に負の相関が認められ, 前報 の再現性が確認出来た。
- ・小麦粉は米関連物(脱脂米糠、中白糠および 米粉砕物)より炭水化物量に対する人工消化 率が低い。
- ・米関連物では脱脂米糠と中白糠の人工消化率 が高く、米粉砕物は総じて低い。
- ・米粉砕物の炭水化物量は狭い範囲に集中して いるのに,人工消化率には可也のバラツキが ある。
- ・上記の様な結果が生じる原因として, 原料の 組織学的な構造の違い, 原料の粒度分布の違 い. 澱粉性状の違いなどが考えられる。

# 試験 -2. 澱粉性状の違い

試験-1で小麦粉と米関連物のジアスターゼによる人工消化率や魚による消化吸収率に大きな違いが生じる原因として,原料の組織学的な構造の違いや澱粉性状の違いなどが考えられた。よって,試験-2では原料の組織学的な構造の違いの影響を取り除くために単離された澱粉を用い,澱粉性状の違いが人工消化率と消化吸収率に及ぼす影響を調べた。

## 1. 材料と方法

#### 1-1. 供試澱粉

市販のトーモロコシ、小麦、馬鈴薯および米の澱粉を用いた。トーモロコシ、小麦、馬鈴薯の澱粉は $\alpha$ 型と $\beta$ 型の両者を、米の澱粉は $\beta$ 型のみを用いた。

#### 1-2. 人工消化率

試験-1で説明した塩酸分解法によって生じた還元糖量とジアスターゼ処理によって生じた還元糖量の比から人工消化率を計算した。

#### 1-3. 消化吸収率

魚粉 66%, 澱粉 30%, ビタミン・ミネラル混合 4%, 酸化クロム 外割 0.1% より成る消化吸収率測定用飼料を調製し, ニジマス稚魚を用いて消化吸収率を測定した。飼料の調製は以下の手順で行った。原料を混合・粉砕し, 加

水してミートチョッパーでヌードル状に押し出し成形する。棚式乾燥機で低温送風乾燥した後破砕してクランブルにする。篩を用いて魚のサイズに合った大きさの飼料のみを集め、試験飼料とした。

採糞は以下の条件で行った。 60L 容の角型透明プラスチック 水槽の側面を黒色ビニールで 覆った水槽に平均体重約 1.5g の ニジマス稚魚を 60 尾収容し、水 温 14-16℃で環境に慣れるまで一 週間ほど市販飼料で予備飼育す る。その後3日間試験飼料を投与した後,4日目から5日間連続して排泄された糞をサイホンで回収した。給餌後,水槽底の残餌や夜間に排泄されていた古い糞をサイホンで除去し,消化吸収率測定用の糞と混じらないように注意した。糞は5日分を合わせて分析試料とした。飼料と糞中のクロム量は古川ら<sup>2)</sup>の湿式定量法で測定した。飼料中のクロム量に対する乾物と炭水化物量,糞中のクロム量に対する乾物と炭水化物量から,飼料全体と炭水化物の見かけの消化吸収率<sup>3)</sup>を求めた。

## 2. 結果

# 2-1. 人工消化率

表4と図4に各澱粉の炭水化物量と人工消化率の関係を示す。当然のことながら、何れの

表 4 各種澱粉の炭水化物量と人工消化率

澱粉	炭水化物量(%)	人工消化率(%)
トーモロコシ		
α 澱粉	86.3	89.6
β 澱粉	67.5	46.6
小麦粉		
α 澱粉	85.2	85.2
β 澱粉	79.1	34.8
馬鈴薯		
α 澱粉	83.3	99.6
β 澱粉	78.6	22.6
米		
β澱粉	89.3	53.4

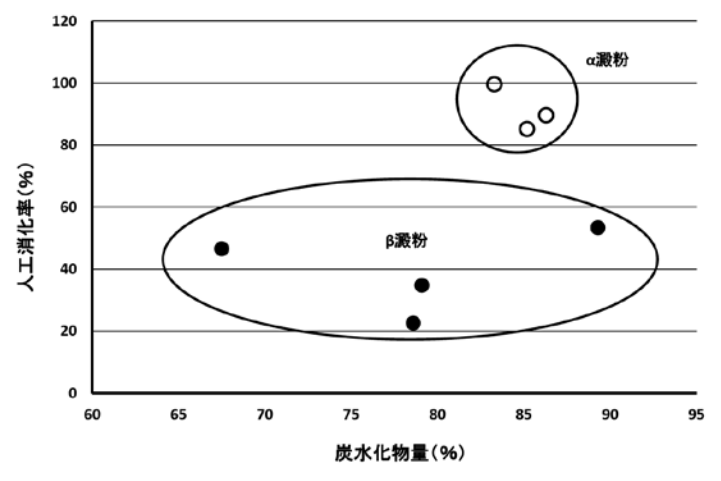


図 4 各種澱粉の炭水化物量と人工消化率

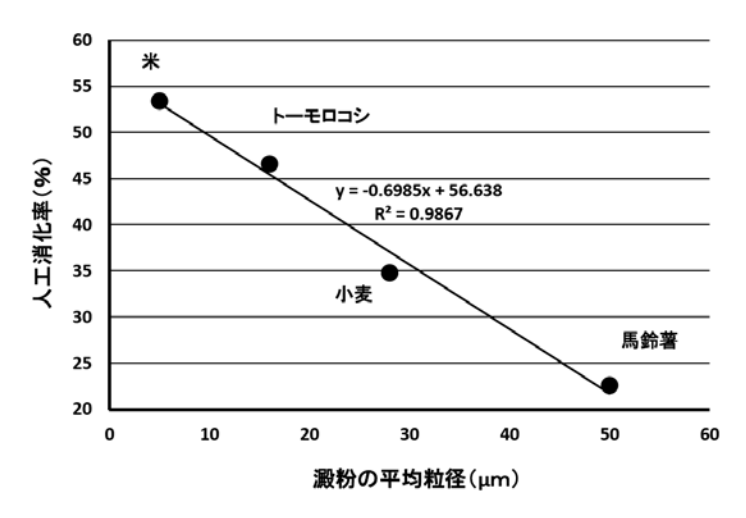


図 5 澱粉の平均粒径と人工消化率

澱粉もα澱粉の方が人工消化率が高く, 原料 の違いによる差は小さかった。α化によって澱 粉粒を包む表面膜が壊れ、結晶構造をとってい る澱粉分子の隙間に水分が入り込むことでその 構造が緩み、分岐した各枝が酵素液中に広がる ことによって消化酵素が直接作用出来るように なるので、この様な結果を示すのであろう。 $\alpha$ 澱粉三者を比較すると、人工消化率が高い方か ら馬鈴薯>トーモロコシ≧小麦であった。この 違いは澱粉分子内の α-1.6 結合による分岐数の 違いによるのではないかと思われる。一方、β 澱粉の人工消化率はα澱粉より可也低く、原 料間の違いも α 澱粉より大きかった。β 澱粉の 人工消化率は米≧トーモロコシ>小麦>馬鈴薯 の順に大きかった。

市販されている澱粉では米澱 粉の粒径が最も小さく, 馬鈴薯 澱粉の粒径が最も大きいことは 良く知られている。また、トー モロコシと小麦の澱粉はその中 間の大きさであることと, 小麦 澱粉では大型と小型の澱粉が混 在しているので、製品によるバ ラツキが大きいことも報告され ている。

図5にそれぞれの澱粉の平均 粒径と人工消化率の関係を示す。

両者の間には強い負の相関があ り.β澱粉では澱粉粒子の粒径が 人工消化率に影響を及ぼしてい ることが明らかである。単位量 の澱粉当たりに消化酵素が作用 出来る表面積の問題であろう。

#### 2-2. 消化吸収率

ニジマス稚魚を用いて測定し た消化吸収率の結果を表5に. 炭水化物量×人工消化率から求 めた可消化炭水化物量と飼料全 体の消化吸収率の関係を図6に 示す。α澱粉、β澱粉共に可消化 炭水化物量と全体の消化吸収率

の間には負の相関が認められるが、 $\alpha$ 澱粉の方 がβ澱粉より消化吸収され易いので、飼料全 体の消化吸収率も高い値を示していた。α澱粉

表 5 試験飼料の消化吸収率

<ul> <li>一モロコシα 線粉</li> <li>条体(%) 炭水化物(%)</li> <li>トーモロコシα 線粉</li> <li>β 線粉</li> <li>75.7</li> <li>54.5</li> <li>小麦粉α 線粉</li> <li>90.1</li> <li>96.5</li> <li>β 澱粉</li> <li>78.7</li> <li>83.8</li> <li>馬鈴薯α 線粉</li> <li>β 線粉</li> <li>83.0</li> <li>88.5</li> <li>β 澱粉</li> <li>83.9</li> <li>76.0</li> </ul>			
α 澱粉     89.5     95.7       β 澱粉     75.7     54.5       小麦粉     90.1     96.5       β 澱粉     78.7     83.8       馬鈴薯     α 澱粉     83.0     88.5       β 澱粉     83.9     76.0	澱粉	全体(%)	炭水化物(%)
β 澱粉     75.7     54.5       小麦粉     90.1     96.5       β 澱粉     78.7     83.8       馬鈴薯     83.0     88.5       β 澱粉     83.9     76.0	トーモロコシ		
小麦粉 α 澱粉 90.1 96.5 β 澱粉 78.7 83.8 馬鈴薯 α 澱粉 83.0 88.5 β 澱粉 83.9 76.0	α 澱粉	89.5	95.7
α 澱粉       90.1       96.5         β 澱粉       78.7       83.8         馬鈴薯       α 澱粉       83.0       88.5         β 澱粉       83.9       76.0	β 澱粉	75.7	54.5
β 澱粉 78.7 83.8 馬鈴薯 α 澱粉 83.0 88.5 β 澱粉 83.9 76.0	小麦粉		
馬鈴薯 α澱粉 83.0 88.5 β澱粉 83.9 76.0	α 澱粉	90.1	96.5
α 澱粉83.088.5β 澱粉83.976.0	β 澱粉	78.7	83.8
β澱粉 83.9 76.0	馬鈴薯		
•	α 澱粉	83.0	88.5
米	β 澱粉	83.9	76.0
	米		
_ β 澱粉 74.5 61.3	β 澱粉	74.5	61.3

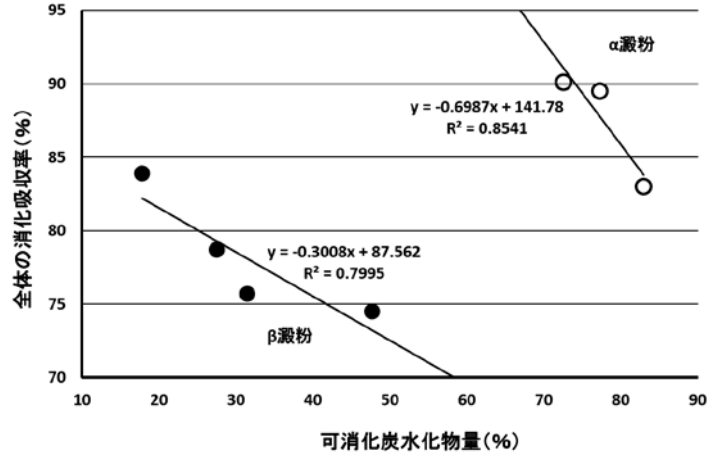


図 6 各種澱粉の可消化炭水化物量と全体の消化吸収率

澱粉	炭水化物(%)	人工消化率(%)	可消化炭水化物量(%)	消化吸収率(%)
トーモロコシ				
α 澱粉	86.3	89.6	77.3	95.7
β 澱粉	67.5	46.6	31.5	54.5
小麦粉				
α 澱粉	85.2	85.2	72.6	96.5
β 澱粉	79.1	34.8	27.5	83.8
馬鈴薯				
α 澱粉	83.3	99.6	83.0	88.5
β 澱粉	78.6	22.6	17.8	76.0
米				
β 澱粉	89.3	53.4	47.7	61.3

表 6 各種澱粉の炭水化物量,人工消化率,可消化炭水化物量,消化吸収率

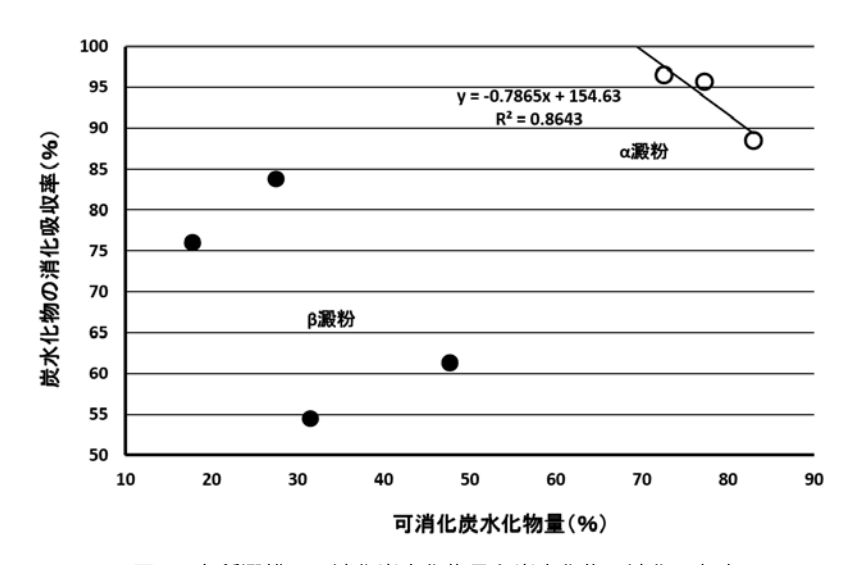


図7 各種澱粉の可消化炭水化物量と炭水化物の消化吸収率

間の比較では、トーモロコシと小麦は略同等の 消化吸収率であったが、馬鈴薯はやや低い値を 示した。この結果は人工消化率とは全く逆の結 果であった。β澱粉では馬鈴薯が最も高く,トー モロコシ, 小麦, 米は略等しい消化吸収率を示 していた。 $\alpha$  澱粉、 $\beta$  澱粉の何れにおいても澱 粉の種類の違いが飼料全体の消化吸収率に及ぼ す影響はそれ程大きなものではなかった。

単離した澱粉での試験であるので, 可消化炭 水化物量が少ない飼料では不消化性の炭水化物 量が多く,全体の消化吸収率が低くなるはずで あるのに何故この様な結果になるのであろう。 不消化の炭水化物が食物繊維として作用し、飼 料の消化管内通過速度を遅くして炭水化物以外 の成分の消化吸収率を高くしたり, 腸内細菌の 排泄量を多くしたりする様なことがあるのであ ろうか。今後原因の解明が必要である。

可消化炭水化物量とニジマス稚魚による飼 料炭水化物の消化吸収率との関係を表6と図7 に示す。α 澱粉の方が可消化炭水化物量は多い ものの消化吸収もされ易いので、β澱粉より飼 料炭水化物の消化吸収率は高かった。α澱粉, β澱粉共に可消化炭水化物量が多くなるに従っ て消化吸収率が低くなる傾向は認められたもの の, β澱粉ではバラツキが大きかった。可消化 炭水化物量が多い物ほど炭水化物の消化吸収率 が低いということは、吸収されなかった可消化 炭水化物の量が多いということである。飼料全 体の消化吸収率は不消化炭水化物量と可消化炭 水化物のうち吸収されなかった炭水化物の量の

合計によって影響を受ける。よって, 不消化炭水化物量に差が無ければ, 吸収されなかった可消化炭水化物量 が多い程飼料全体の消化吸収率は低 くなるはずである。

表6に示す炭水化物量×消化吸収率から求めた炭水化物の消化吸収量と飼料全体の消化吸収率の関係を表7と図8に示す。消化吸収された炭水化物量が多い程飼料全体の消化吸収率が高く,両者の間には正の相関が認められた。β澱粉でもこの傾向は認められたものの,澱粉の種類によってバラッキが大きかっ (多)

前々報<sup>4)</sup>でアユ用飼料への馬 鈴薯β澱粉の30%添加は、飼料 タンパク質の魚体への蓄積率を 低下させることを確認している ので、β澱粉の多量添加が飼料タ ンパク質の消化吸収率に影響を 及ぼしていることが考えられる。 ニジマスはアユより炭水化物の 利用能が低いので、より影響が 強いのではないかと思われる。

以上の結果から,ジアスターゼによる人工消化率を基にした可消化炭水化物量ではなく,実際に魚を用いて測定した炭水化物の消化吸収量を基にして判断しないと思わぬ間違いを起こす可能性があることが分かった。ジアスターゼによる人工消化率はあくまでも原料のスクリーニングの手段に留めておくべきであることが再確認出来た。

#### 3. 要約

- ・α 澱粉の人工消化率はβ 澱粉より高く,原料間の違いは小さかった。一方,β 澱粉の人工消化率は低く,原料間の違いが大きかった。
- ・β 澱粉の平均粒径と人工消化率の間には強い負の相関があり、β 澱粉の人工消化率は澱粉の粒径によって規定されていることが分

表 7 炭水化物の消化吸収量と飼料全体の消化吸収率

	消化吸収量(%)	飼料全体の消化吸収率(%)
トーモロコシ		
α 澱粉	82.6	89.5
β 澱粉	36.8	75.7
小麦粉		
α 澱粉	82.2	90.1
β 澱粉	66.3	78.7
馬鈴薯		
α 澱粉	73.7	83.0
β 澱粉	59.7	83.9
*		
β 澱粉	54.7	74.5

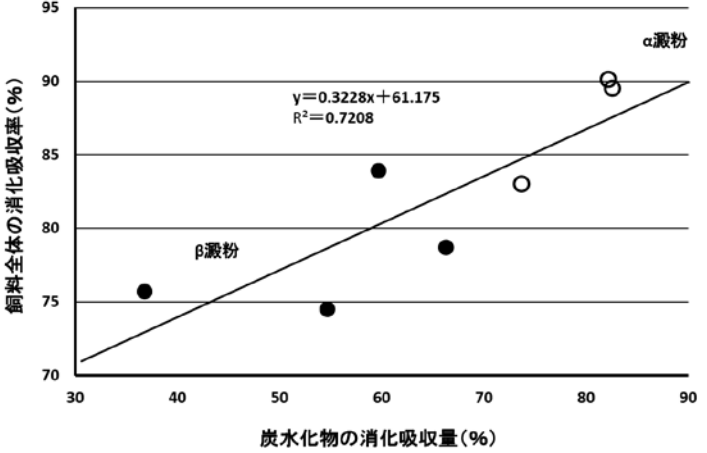


図8 炭水化物の消化吸収量と飼料全体の消化吸収率

かった。

- · α 澱粉の消化吸収率は高かった。
- ・消化吸収された炭水化物量が多い程飼料全体の消化吸収率が高く,両者の間には正の相関が認められた。

# 試験 -3. 粒径と人工消化率

試験-2においてβ澱粉の人工消化率は澱粉の平均粒径によって強く影響を受けることが分かった。試験-1で用いた米粉砕物の粒径は脱脂米糠や中白糠より大きかったので、これが米粉砕物の人工消化率が低かったことの原因の一つではないかと思われた。よって、試験-3で同じ原料でも粒径が違えば人工消化率がどの様に変化するかを調べた。

#### 1. 材料と方法

これまでの試験で米の中では最も人工消化率が低かったもち米を用いて試験した。一定量のもち米を電動のコーヒーミルで一定時間粉砕した。従来はこの状態で人工消化率の測定に用いていたが、本試験ではさらに高速粉砕機で

微粉化した。微粉砕したもち米50gを分析篩に入れ,篩振盪機で15分間振盪し,粒度分布を測定した。なお,用いた分析篩は目開き420,297,177,125および74μmの5種類であった。振盪後それぞれの篩上にあるもち米の量を測定して組成比を求めた。そのうち粒径が420-297μm,177-125μmおよび74μm以下の3種類の粒径の異なるもち米粉砕物を人工消化率測定用サンプルとして用いた。それぞれのサン

プルの平均粒径は 359μm, 151μm および 74μm である。なお、74μm 以下の澱粉の真の平均粒径は分からないが、100μm 以下の微粉になると粒径は大きい方に偏っているので、74μm を平均粒径とした。

塩酸分解法で総炭水化物量,ジアスターゼ処理によって人工消化率を求めた。

#### 2. 結果

表8に結果を示す。粒径の違いによる炭水化物量の違いは小さいが、最も粒径が小さい画分の炭水化物量がやや少ない傾向を示した。米粒の外側の炭水化物が少ない部分の方が微粉になり易いのかも知れない。人工消化率は粒径が小さい画分ほど高い値を示した。前述した様に従来米粉砕物の人工消化率は電動コーヒーミルで粉砕しただけの物(厳密な粉砕条件を決めて行っていた訳ではなく、感覚的な部分が多かった)で測定していたので、各サンプルの粒径が大きく違っていた可能性が高く、それが試験-1の様に同じ米なのにサンプルによって人工

表 8 原料の粒径と人工消化率

粒径(μm)	組成比(%)	炭水化物(%)	人工消化率(%)
>420	0.8		
420-297	12.7	72.0	42.0
297-177	30.8		
177-125	24.9	72.4	50.4
125-74	17.3		
<74	13.6	69.6	53.5

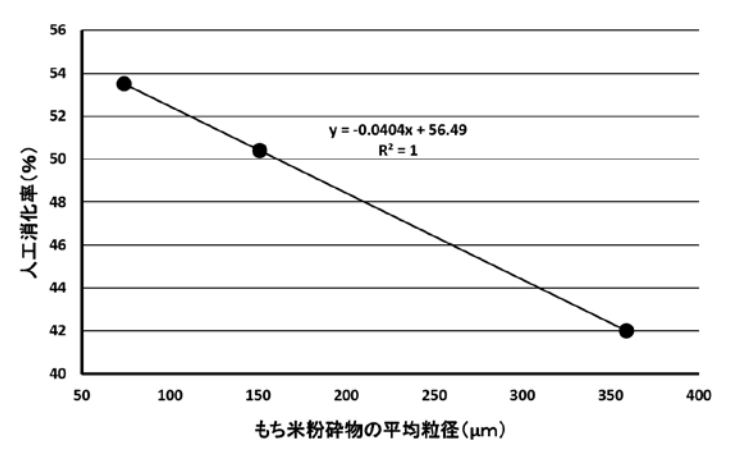


図9 もち米粉砕物の平均粒径と人工消化率

消化率が大きく違う結果に繋がっていたのではないかと思われる。しかしながら、74µm以下の微粉でも人工消化率は53.4%と脱脂米糠や中白糠に比べると著しく低かった。

平均粒径と人工消化率の関係を**図9**に示した。両者間には強い負の相関が認められ,β澱粉同様にもち米粉砕物でも粒径が人工消化率に大きな影響を及ぼしていることが分かった。

以上の結果から、これまでの試験で米粉砕物の人工消化率が低かった原因の一つは粉砕法の不備による粒径の違いにあったことが分かったが、それ以外にも大きな要因があるものと思われる。供試物の組織学的な構造や成分組成の違い、加工工程での加熱による澱粉の変性などが考えられる。

#### 3. 要約

- ・人工消化率は供試物の粒径によって影響を受け、粒径が小さい程消化率が高かった。
- ・これまでの試験で米粉砕物の人工消化率にバラッキが大きかった原因の一つに粉砕法の不

粒径 (μm)	小麦粉		*	
		II	中白糠	米粉
>420 (%)		1.5	8.2	12.8
420-297	0.2	2.6	47.3	40.9
297-177	40.3	82.7	38.4	42.9
177-125	30.5	3.0	5.9	3.2
125-74	19.0	6.6	0.2	0.2
<74	10.0	3.6		
平均粒径(μm)	211	237	299	299
人工消化率(%)	74.3	61.3	94.3	75.7

表9 小麦粉,中白糠,米粉の粒度分布

備による粒径の違いがあることが分かった。 ・米粉砕物の人工消化率が低い原因は、粒径以外にも未だ明らかになっていない大きな要因がある可能性が高い。

# 試験 -4. 炭水化物源の粒度分布と人 工消化率

試験-3で同じ原料であれば粒径が小さい程 人工消化率が高いことが分かった。また、前報 において小麦粉と中白糠、米粉では人工消化率 が可也違うことを報告した。よって、試験-4 では原料が違えば粒径と人工消化率の関係が如 何変化するのかを明らかにするため、小麦粉 2 種類、中白糠、米粉の粒度分布を調べて人工消 化率との関係を検討した。

## 1. 材料と方法

用いた小麦粉,中白糠,米粉は前報と同じ物をそのまま用いた。それぞれの粒度分布は試験-3と同じ方法で測定した。

## 2. 結果

結果を**表 9** に示す。平均粒径は明確な単峰型を示した小麦粉 II では,その単峰の平均粒径 [(297+177)/2] とした。一方,明確なピークを有さなかったその他の物では,高い値を示した部分の平均値 [小麦粉 I であれば (297+125)/2] とした。

中白糠や米粉より人工消化率が低い小麦粉の 方が粒径は小さかった。また、小麦粉間の比較 では"ふすま"に近い低品質の小麦粉の方が粒 径が小さい傾向を示した。これは試験-3のもち米でも最も粒径が小さい画分には米粒の外側の部分が多いと思われる結果と一致していた。2種類の小麦粉間の比較では粒径が小さい方が人工消化率が高い傾向を示したが、僅か2種類の比較であるので、断定は難しい。

小麦粉より明らかに粒径が大きい中白糠と 米粉の方が人工消化率は高い値を示した。ま た,同じ米で平均粒径も略同じの中白糠と米 粉においても人工消化率は可也違っていた。 中白糠の原料である山田錦他の酒造好適米は 米粉の原料である一般米(うるち米)とは組 織学的な構造や成分組成が異なっている様な ので,両者を米として一括りにしてはいけな いのかも知れない。また,中白糠と米粉では 製造法も大きく違う様なので,製造法も影響 している可能性がある。

以上の結果から、原料や製造法などが異なる 物では粒径以外の要因も大きな影響を及ぼして いることが推定出来る。

# 試験 -5. 各種中白糠の平均粒径とニ ジマス稚魚の飼育成績

試験-4で原料が違えば粒径と人工消化率の関係は違う結果になることが分かった。これまでの試験で中白糠は他の炭水化物源よりもジアスターゼによる人工消化率, 魚による消化吸収率共に高く, 魚の飼育成績も良いことが分かっている。さらに, 中白糠には産地や成分が違う色々な種類が市販されており, 中白糠の種類によって得られる結果も多少異なることも分かっている。この中白糠間の違いが, それぞれの中白糠の粒径の違いに関係しているのか否かを試験-5で調べた。

# 1. 材料と方法

産地が異なる4種類の中白糠を用いたが、これは前報の試験-2で用いた中白糠と同じ物である。但し、前報では5種類の中白糠を用いたのであるが、この中の1種類は分析篩での振盪

表 10 各種中白糠の粒度分布

<u>粒径 (μm)</u>	Α	В	С	D
>420 (%)	7.6	8.5	10.1	6.0
420-297	35.2	16.3	12.5	51.1
297-177	18.6	66.9	68.0	34.2
177-125	26.9	6.5	7.5	4.5
125-74	9.7	1.6	1.3	3.1
<74	2.1	0.2	0.7	1.1

処理中にダマの形成が著しく, 粒度分布の測定 が不可能であったので、今回の試験には採用し なかった。粒度分布の測定法は試験-3と同じ である。

# 2. 結果

各中白糠の粒度分布を表 10 に示す。Bと C は単峰型の分布を示し、AとDは低く幅広い ピークを持っていた。それぞれの平均粒径は試 験-4で説明した方法で求めた。

表11と図10に各中白糠の平均粒径とニジ マス稚魚の飼育成績 (飼料効率, タンパク質効 率)の関係を示す。平均粒径と飼料効率、タン パク質効率の間には強い負の相関があり、平均

表 11 各種中白糠の平均粒径と飼育成績

<del>\\</del>	-均粒径(μm)	飼料効率(%	ら)タンパク質効率(%)
Α	273	88.3	172.5
В	237	98.6	190.6
C	237	94.6	185.1
D	300	86.5	168.4

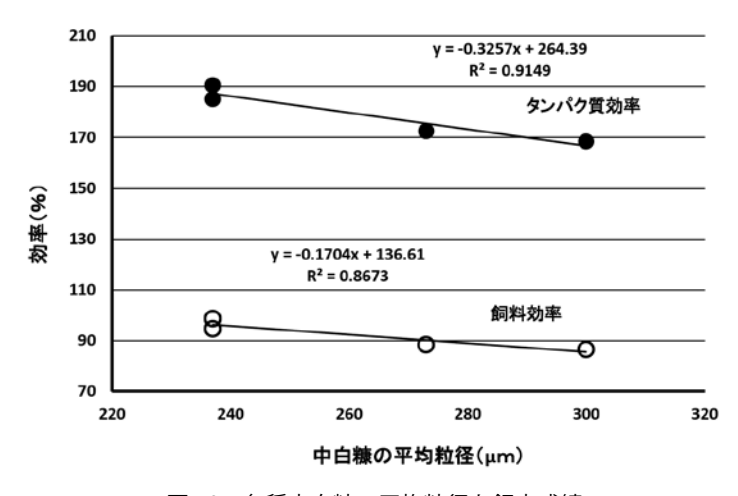


図 10 各種中白糠の平均粒径と飼育成績

粒径が小さい程飼育成績が良かった。

この様に、中白糠では平均粒径が小さい程魚 によって効率よく消化吸収されて高い飼育成績 を示すようである。

#### 3. 要約

・中白糠間の比較で、平均粒径が小さい程効率 よく魚に消化吸収され, 高い飼育成績を示す ことが分かった。

# 考察

小麦粉と米関連物(脱脂米糠,中白糠,米粉 砕物など)の人工消化率を同じ炭水化物量で比 較すると、必ず米関連物の方が人工消化率が高 い。単離したβ澱粉で人工消化率を比較すると. 原料の違いに関係なく澱粉の平均粒径が小さい 程人工消化率が高く、澱粉の平均粒径と人工消 化率の間には強い負の相関が認められる。小麦 澱粉より米澱粉の方が平均粒径が小さいので, 小麦粉の人工消化率が米関連物より低い原因の 一つは澱粉の粒径にあるのであろう。

もち米微粉砕物の人工消化率試験で, 同じ原料であれば粒径が小さい程人工消 化率が高いことが示された。

小麦粉では炭水化物量が高いほどジア スターゼによる人工消化率が低い傾向が ある。炭水化物含量が少ない"ふすま"

> に近い品質の小麦粉ほど粒径が 小さいので, 小麦粉の人工消化 率も粒径によってある程度左右 されているのであろう。

> 中白糠には産地や成分組成が 異なる色々な種類の物がある。 中白糠は総じてジアスターゼに よる人工消化率, 魚による消化 吸収率, 魚の飼育成績共に他の 炭水化物源より高いが, 中白糠 の種類によって多少のバラツキ がある。その原因を調べたとこ ろ、中白糠の粒径が影響してお

り, 粒径が小さい程結果が良いことが示された。

中白糠と米粉砕物や米粉の人工消化率を比較 すると、同じ米でも中白糠は粒径に関係なく高 い値を示す。中白糠の原料である川田錦他の酒 造好適米と一般米 (うるち米) では組織学的な 構造や成分組成(酒造好適米はアミロース含量 が高い)など、色々な違いがあるようなので、 両者は米として一括りには出来ない様である。 また. うるち米ともち米にも違いがあるような ので、分けて考えた方が良いのかも知れない。

同じ原料であれば人工消化率,消化吸収率, 飼育成績などの違いは、原料の粒径の違いに よって可也の部分が説明出来るようであるが, 原料間の違いは説明が付かない部分が多い。そ れぞれの原料の組織学的な構造の違い,製造工 程の違い、由来する部位の違いなどが関与して

いる可能性が高い。

魚による消化吸収率と魚の飼育成績は、未だ 明らかにされていない原料側の要因と前報で触 れた腸管の蠕動運動、消化酵素の種類と活性、 腸内細菌の関与などの魚の側の要因が大きく影 響しているのであろう。

今後, 原料毎に何が人工消化率や消化吸収率 を規定する要因になっているのかを明らかにし ていく必要がある。

#### 斜辞

本原稿を作成するに当たり、 黄桜株式会社研 究所の古川幸子様から中白糠や酒造好適米につ いて色々とご教示頂いた。記して感謝の意を表 します。

#### 文 献

- 1. 酒本秀一: ニジマス用飼料の炭水化物源 -1. New Food Industry.60 (10): 46-56. 2018.
- 2. 古川厚,塚原宏子:養魚飼料消化試験の指標物質としての酸化クロムの湿式定量法について. 日本水 産学会誌, 32(6): 502-506. 1960.
- 3. 吉中禮二: タンパク質. 魚・貝・海藻の栄養機能 日本型食事のすすめ (吉中禮二著), 恒星社厚生閣, 東京, 53-68.1993.
- 4. 酒本秀一: ニジマス用飼料, アユ用飼料の適切な α 澱粉添加量. New Food Industry.60 (9): 65-80. 2018.

連絡先:酒本 秀一

email: si290347-5313@tbz.t-com.ne.jp

# グルテンフリー穀物 食品と飲料, グルテンの検知ー 2

瀬口 正晴 (SEGUCHI Masaharu) 1,2

竹内 美貴 (TAKEUCHI Miki)<sup>3</sup> 中村 智英子 (NAKAMURA Chieko)<sup>3</sup>

1 神戸女子大学, 2 日本穀物科学研究会会長, 3 神戸女子短期大学

Key Words:グルテンフリー セリアック病

本論文「グルテンフリー穀物 食品と飲料, グルテンの検知-2」は, "Gluten-Free Cereal Foods and Beverages" (Editted by E. K.Arendt and F.D.Bello) 2008 by Academic Press (ELSEVIER), の第3章 Detection of gluten by Herbert Wieser の一部を翻訳し紹介するものである。

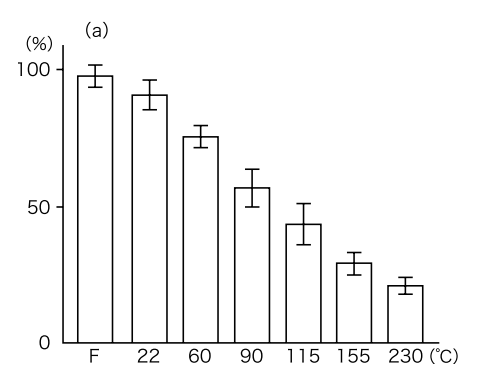
#### タンパク質抽出

グルテン分析の第1ステップは、グルテン タンパク質の未処理あるいは加工処理した食 品からの抽出である。天然のグルテンタンパ ク質は水あるいは塩溶液には溶けない。1番目 の区分(プロラミン)は、水/アルコールに溶 け、一方2番目の区分(グルテリン)は不溶性 残渣にとどまる。残グルテンタンパク質は SS 結合を還元すれば(例えばジチオスレイトー ルにより)水/アルコールに溶け;尿素あるい は sodium dodecyl sulfate (SDS) で会合をはず すと可溶化が進む (Wieser et al. 2006)。以前の Draft Revised Codex Standard (CX/NFSDU 00/4, 2000) には詳細な抽出方法が記述してあり、そ こには最近の草案 (CL 2006/5-AFSDU, 2006) の唯一の R5ELISA 法について(以下参照)述 べてる。

ドキュメント CX-NFSDU (2000) によると、食品あるいは成分中のグルテンの測定はプロラミンの測定に基づくべきで、それは 40-70% エタノールで抽出されたグルテンからの区分と定義する。エタノール濃度は 60% が全プロラミンを抽出するのに提言され、それはこれまでの

研究で小麦粉からの最高のグリアジンの抽出 がこの濃度で進められたからである(Wieser et al. 1994)。 固形食品あるいは固形成分に関して は、10%以上脂質含量の混在の食品では以下 の用に脂質除去の必要がある;5gを50mLのへ キサンとブレンドしてホモゲナイズし、1500× gで30分間遠心分離する。上清は捨て、抽出 ステップはサンプルから脂質がなくなるまで 繰り返す。脂質含量が10%以下の食品では脂 質除去の必要はない。抽出処理の前に, 脱脂 した5gあるいは非脂質食品は60℃で乾燥し粉 体化する。乾燥サンプルの一部をその 10 倍量 の60% エタノールと2 分間ホモゲナイズし、 15分後に10分間1500×gで遠心分離にかける。 上清液を除去し保存する。もし必要なら 4℃で 保存する。沈殿はできたらこれを遠心分離して 除去する。溶液食品および成分の場合には、一 部をエタノールで希釈し, その際最終混合物中 60% エタノール濃度になるようにする。

混合物はホモゲナイズし, さらに固形食品抽出時のように扱う。サンプルの異なった成分により引き起こされるマトリックス効果は,抽出収量に影響を与え,このためグルテン含量測量



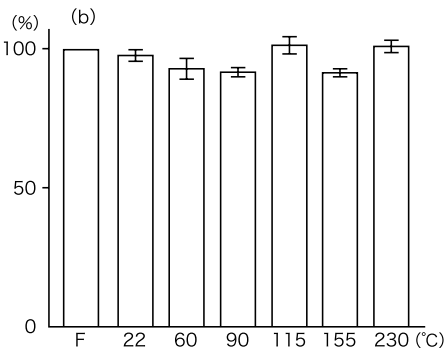


図 3.1 各温度処理したドウから抽出した小麦グリアジン(%) (a) 60% エタノール, (b) カクテルの場合。

カクテル;還元剤(2-メルカプトエタノール)の脱凝集剤(グアニジン)とのくみ合わせ。

結果に影響する。たとえば茶, ホップ, ココ ア製品のようなポリフェノールに結合すると プロラミンの回収は低下する。カゼイン、尿 素 (CX-NFSDU 00/4, 2000), あるいはゼラチン (Garuia et al. 2004) 添加を抽出物にするとプロ ラミン含量の測定値の低下を抑えるため、推奨 される方法である。高度に粘度の高いサンプル, たとえばデンプン由来のシロップのようなもの はマトリックス効果を避けるために適当な溶媒 で薄めるべきである (Iametti et al. 2004)。 グル テン分析でもう1つの大きな問題は、加熱処理 した食品からプロラミン抽出が不完全である事 である。それは、水/アルコールを用いた時で ある。加熱グルテン, 小麦パンに標準グリアジ ンが含まれている場合の抽出は、各々、 $\alpha/\beta$ -お よび γ- グリアジンの抽出が強く低下すること が示された一方, ω- グリアジンは僅かに影響 受けた (Schofield ら 1983, Vieser 1998)。Cvs を 含む α/β-, γ- グリアンは、アルコール不溶性の グルテニンに disulfide/sulfhydryl 交換鎖反応に よって結合すると考えられていた。SS 結合の 還元後, 全グリアジンは完全にアルコール抽出 物中に回収された (Wieser, 1998)。ω- グリアジ ンの加熱安定性は Skeritt と Hill (1990) によっ て用いられω-グリアジンに対し、モノクロー ナル抗体の免疫反応をすすめた。グルテン含有 生材料,加熱食品の結果は40%エタノールで 最も抽出がよく、食品(生、料理済み、あるい は加熱工程したもの)全てのタイプのものの中のグルテンの定量測定で最も都合よかった。もう1つの方法は,加熱食品からグルテン抽出の際,加水分解を制限し,さらにペプシン処理をして,生グルテン,100 $^{\circ}$ 加熱処理グルテン両方で約90%タンパク質抽出を塩緩衝液中で行なった(Denery-Papini ら2002)。 $\alpha/\beta$ -, $\gamma$ -グリアジンの反復エピトープに対する抗体が一部加水分解したプロラミンの定量に使用された。

還元剤(2-メルカプトエタノール)の脱凝 集剤(グアニジン)との組合わせ、いわゆる "cocktail" はプロラミン (グルテリンサブユニッ ト) の完全な抽出を未加熱, 加熱食品両方から 可能にした (Garcia et al. 2005)。 図 3.1 は小麦 粉,222-230℃加熱したドウから,60%エタノー ルあるいはカクテル抽出したグリアジンの再生 を比較したもので、60-230℃まで加熱して 76% から22%まで再生が低下した事を示す。対照 として、カクテルを用いると再生はほぼ定量的 に進み、230℃で加熱したサンプルでもそうで あった。抽出物を希釈後(例えば1:100)カル テルは ELISA システムの R5 モノクローナル抗 体にもとづくものには影響しなかった。しかし ながら, 他のタイプの抗体は, 還元剤に対して より感受性があるかもしれない(Ellisら1998、 Dona 5 2004)

未加熱処理,加熱処理サンプルの両方の抽出に50℃40分のインキュベーションが推奨さ

れた。抽出は、MALD1-TOF MS と Western blot besides ELISA と互換性があった。カクテルはまた、製品のタイプにより60% エタノールより僅かに同じか多少高い再生となり;未加熱処理食品では1.1倍、小麦デンプンでは1.4倍、加熱処理食品では3.0倍である(Garcia et al. 2005)。異なった食品(例えばセレアル、大豆食品、ベビー食品、シロップ、チョコレート、ビール)での比較研究では、60% エタノール抽出プロラミン、あるいはカクテルのプロラミンデーターがより大きく多様化するかもしれないが、その説明はない(Immer と Haas-lauterbach 2005a、2001、Iametti et al. 2005、Laffey et al. 2005、Malmheden Yman、2006)。

#### 比較タンパク質(基準タンパク質)

抽出物中のプロラミン(グルテン)含量測定 のため、プロラミン (グルテン) の比較タンパ ク質による計算カーブを設定することができ る。さらに比較は、アッセイ用のバリエーショ ンを最小にするために用いられるべきであり, 異なった研究室,あるいは異なった方法で得 られた結果で比較をできるようにする。重要な 比較材料の基準点は高タンパク質含量であるこ と, 抽出溶媒への溶解性, 均一性, 安定性, セ リアック病毒タンパク質に当量であること, さ らに測定技術に対し良好な反応性のある事で ある。プロラミンの多くは、ほぼグリアジ ンの比較タンパク質で、異なった研究所あ るいは企業でつくられ、彼らの分析システ ムまたはキットに用いられた。比較タンパ ク質は異なった穀物の元から分離され、化 学的にタンパク質含量あるいはタンパク質 の定量を決めた。これまでの研究で、測定 したグルテン含量は ELISA 法できめたが, 計算に用いたその元の比較タンパク質の タイプ, テストキットによって明らかにバ ラバラであることがわかった(Van Eckert, 1993; Van Eckert *et al* 1997; Sima *et al*. 1999) 1つの例として図3.2は5種の異なった市 販の比較グリアジンを同じ免疫アッセイ

中で様々な計算カーブを示した。そこで Draft Revised Codex Standard CX-N FSDU 00/4 (2000) は, "gold standard" が厳しい標準条件下である 研究室が調製すべきだとすすめた。

プロラミン分析と毒性 (PWG) に関する European Working Group は、比較グリアジン の調製を組織がかりで行い一括使用した(van Eckart et al. 2006)。28 種小麦栽培品種, 3 種 の代表的ヨーロッパ小麦-生産国、フランス、 UK. ドイツの代表的なものが初期のものとし て選ばれた。穀類は混合、製粉、出来た製粉は 脱脂し、真空乾燥された。アルブミン、グロブ リンは 0.4mol/L NaCl 溶液で抽出除去され、グ リアジンは60%エタノールで抽出された。グ リアジン抽出物は濃縮され, 遠心分離で脱塩さ れ、凍結乾燥、均一にホモゲナイズされた。材 料はいろいろな方法で異なった研究室で分析さ れた。できたものは、高度にホモゲナイズされ、 完全に60%エタノール中に可溶化した。粗タ ンパク質含量 (N × 5.7, Dumas) は 89.4%。 RP-HPLC は粉の同一のタンパク質パターン (ω-,  $\alpha/\beta$ -,  $\gamma$ - グリアジン)を示し、さらに比較タン パク質のグリアジンとも同一のものを示し、そ のことは主たるグリアジン成分の何れも分離プ ロセスの間で失われていない事を示した。GP-HPLC 結果によると、比較タンパク質のグリア ジンは68% モノメリックグリアジン,23% オ

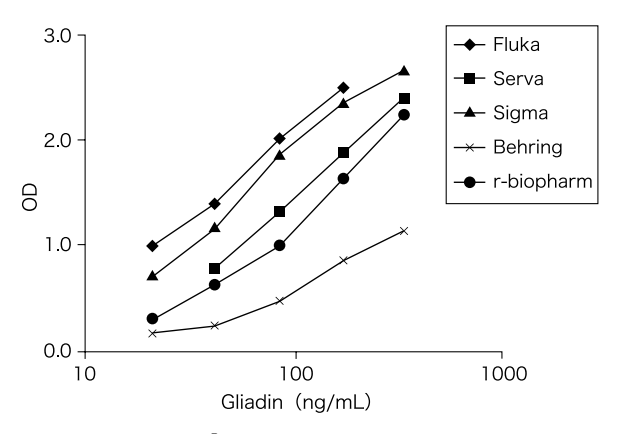


図 3.2 Ridascreen® Gluten のアッセイ方法による各比較 タンパク質グリアジンに対する反応性の違い Van Eckert *et al.* (1997)

リゴ HMW- グリアジン、僅か 3% アルブミン、 プロラミンを含む。このサンプルには高度に均 一であり、安定であり、たとえ 37℃, 28 日間 保存しても大丈夫だった。PWG グリアジンは、 比較材料として全ての基準の重要点にあわせ、 グルテン測定用の重要なプロラミン比較タンパ ク質と考えられた。

# 免疫化学法

### 原理

免疫測定法と食品分析の進歩の初期10年 が Morris と Clifford (1985) に大々的に述べら れ、穀物貯蔵タンパク質の免疫化学については Skeritt (1988) によって述べられた。免疫化学 試験はグルテン分析に選択された方法であり, Draft Revised Codex Standard によって進められ、 以来,彼らはセリアック病毒素タンパク質の特 異的, 感受性認識を素早い結果として結論づけ た。免疫測定法は、抗原と抗体(免疫グロブリン) の特異的反応に基づくもので,物質が決定され た(セリアック病毒素タンパク質およびペプチ ド)。抗体を含む抗血清は、動物(たとえばラ ビット,あるいはマウス)の免疫によって生産 されるが、それは相応する免疫原の注射によっ て起こる。約5000以上の分子量をもつ唯一の 成分が免疫活性をもつために、ペプチドのよう な LMW 免疫原 (ハプテン) がタンパク質 (例 えば牛血清アルブミン)と共有カップリングす るようなことが起こる。この結合は抗血清をつ くり、そこにはハプテンとカップルしたタンパ ク質の両方に対する抗体が含まれる。

抗血清は動物から得られるが、その特異性に対して試験され、できる限り生成して好ましくない特異性を除去する。これらのポリクローナル抗体(PAb)は抗原の異なった結合場所(epitopes)と反応し、グルテン分析を考えると、結果は穀物種あるいは品種によって影響は小さい。良くない点は、非毒性穀物からのタンパク質と高いクロスリアクションする高リスクである。より特異的なモノクローナル抗体(MAb)は、免疫後分離された脾細胞のネズミ

骨髄細胞との融合で生産されるがそれは Galfre と Milstein (1981) のやり方である。ハイブリドーマは、抗体に対する抗体であるが、クローンされそして成長する。結果として、MAbの調製は、沈殿あるいはアフィニテイクロマトグラフィーで精製する。 MAb は大きな長所があり、それは特異性の絶対的な再生産であり、生産の能力は殆ど無制限の量である。

抗血清あるいは抗体の評価に対して必要なこ とは、ある抗体はその抗原に対し、特異的であ るかどうか決める事で, さらに抗体が多少なり とも他のタンパク質ともクロスリアクトするか どうかである。主には Western Immunoblotting は抗原に対し抗体の結合を研究するために用 いられた。たとえば Freedman et al. (1988) は, Western blots を用いて MAb のグリアジンへの 結合を特徴づけるのに用いた。タンパク質は SDS-PAGE で分離され、Trans-blot cell システ ムを用いて nitrocellulose 膜に移した。Blot は抗 体とインキュベートし,洗浄し,さらに酵素で ラベルした第2抗体とはじめの抗体に対しイン キュベートし、相応の着色物質とともにイン キュベートする。免疫反応の非常に重要な点は, 抗原 - 抗体結合の定量である。古い方法は抗体 - 抗原複合体の沈殿形成が必要だった。最近, 抗原は異なったマーカー, 例えば蛍光染料. あ る時は発光性染色のようなものでマークされ, 安定な放射性, 放射性アイソトープ (<sup>3</sup>H, <sup>14</sup>C,  $^{125}I$ ), あるいは酵素でマークされる。ラジオイ ミュノアッセイ (RIA) では、研究室で特異的 な道具を必要とし、非常に優れているところ は、フリーの抗原は抗体に結合したものから 分離せねばならない。ELISA はこのグルテン 決定に最もよく使う技術である。ELISA は比 較的方法が簡単であり、他の技術より安価で早 い結果が得られる。西洋わさびペルオキシダー ゼ (基質 2, 2 '-azinobis (3-ethylbenzothiazoline-6-sulfonic acid), アルカリ phospyatase (基質 4-nitrophenylphosphate) と β-D-galactosidase (基 質, 4-nitrophenyl-β- galactoside) は, 最も一般 的なインデケーター酵素である。それらは高度 :抗体

: 酵素基質: 着色物質

: 抗原(グルテン)

:酵素ラベルした抗体

酵素ラベルした抗原 (グルテン)

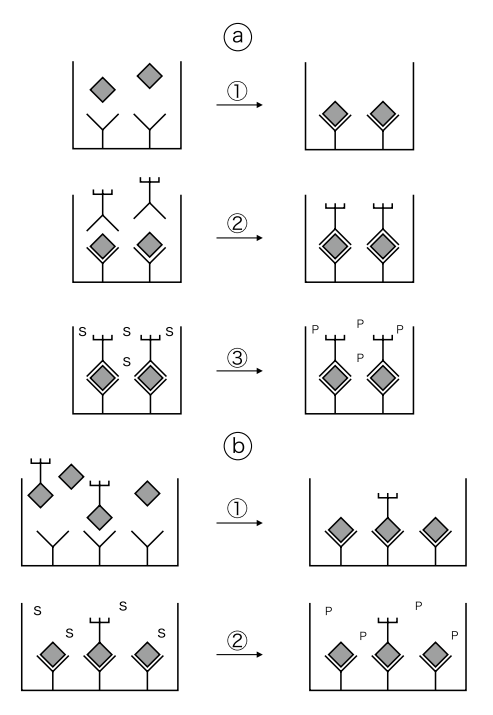


図 3.3 ELISA 法

- (a) サンドイッチ ELISA:1 段階: 抗原抗体複合体形成.2 段階: 酵素ラベルした抗体の結合。
  - 3段階:酵素基質の着色物質への変化。
- (b) 競合的 ELISA:1 段階: 抗体結合への未ラベルと酵素ラベルした抗原の競合。
  - 2段階:酵素基質の着色物質への変化。

に精製して利用でき、安定で活性は感度より正確に利用できる。酵素は抗原に共有結合でリンクし、たとえばグルタルアルデヒド、あるいはカルボジイミドとの反応によってである。

2つの ELISA システムがよくグルテン分析に用いられる。サンドイッチ ELISA と競合的 ELISA である。サンドイッチ ELISA の原理は 図3.3aに示した。捕獲抗体はプラスチックキャリアー(ミクロタイター板)の壁につけられる。抗原を含むサンプルの一部は、ミクロセル中でインキュベートされ、抗原 - 抗体複合体の形成に向かう(ステップ1)。洗浄後、酵素ラベルされた検知抗体が加えられ、さらにインキュベーションで抗体に結合する(ステップ2)。こうして抗原は2つの抗体でサンドイッチされる。未着の酵素マークした抗体は洗われる。この段階で酵素的基質が加えられ着色最終生産物

に加えられ、スペクトルフォットメーターで測 定される (ステップ3)。吸光度は直接サンプ ル中の抗原濃度に比例して, 比較タンパク質に もとづいて計算され、カーブから読み取られる。 サンドイッチ ELISA 法は大きな抗原に対して のみ適しており、それは抗原は少なくとも2エ ピトープをもち、それらは抗原と酵素ラベルし た抗原の両方に空間的に分離している。そこで 一部加水分解されたサワードウ製品, モルト, ビールのようなものが用いられるときグルテン 分析用にはサンドイッチ ELISA は不適である。 一方は、競合的 ELISA 法は1個のエピトープ のみで小サイズの抗原の検知に安定である(図 3.3b)。アッセイは3成分からなる:(i) 抗体 はミクロタイタープテートに貼付ける(ii)制 限ある一定量の酵素 - ラベルした抗原(iii) サ ンプルからの未ラベル抗原。システム中の成分 をミックスし, ラベル, 未ラベル抗原は結合数 の一定数の抗体と競合する (ステップ1)。存 在する未ラベル抗原の量が多いほどラベル抗原 の抗体に対する数は小さくする。未結合の抗原 は洗浄し、酵素的基質は添加し着色物質にかえ る(ステップ2)。サンプル抗原の量が多いほど, 酵素 - ラベル抗原による色調は低くなる。検量 線は比較タンパク質でつくり, サンプル抗原の 定量を可能にする。食品加工で用いる加熱処理 は、測定に必要なグルテン量に低下し抽出不能 プロラミン(上を見よ)によるだけではなく、 タンパク質構造の変化にもよる。それは抗体に より認知された修正かマスクされたエピトープ によるためであろう。たとえば Ellis ら (1994) は、加熱したグリアジン区分の反応性の低下 を MAb, サンドイッチ ELISA 法で述べている。 α/β-とγ-グリアジンはもっと熱に対し不安定 であり、そのオリジナルの活性の僅か33-51% 残存のみとなり、一方ω-グリアジンは93%が 残る。同一のアプローチで、グリアジン区分は 70-100℃で 5 - 20 分間加熱し, 4 つの異なった MAb とラビット抗 - グリアジン血清を用いて 競合的 ELISA で定量した (Rumbo et al. 2001)。 その結果、加熱処理の反応性への影響は、いろ いろで単に温度と加熱時間のみならず、使った 抗体にもよった。そこで加熱加工食品のグルテ ン量の定量に用いるときには, 抗体は加熱グル テンタンパク質に対して免疫反応性をテストす べきである。

#### 進歩したアッセイ

20世紀の初期、はじめての免疫研究は穀物 に関して行なわれた。1925年 Lewis と Wells (1925) は、小麦からのアルコール抽出物をモ ルモットに注射し、さらに小麦粉かあるいは他 の穀物の抽出物を注射した。彼らはアナフィ ラキシー反応を、小麦のみならずライ麦、大 麦、オート麦でもみられたがトウモロコシでは みられなかった。Berger と Freudenberg (1961) のグループはバーゼルでグリアジン抗原性を より組織的に研究し, 免疫沈殿技術を用いて いる。最初の試みでグルテンフリー焙焼加工 品中の小麦タンパク質を同定するため、抗原 -抗体沈殿の測定ではゲル拡散技術, 免疫電気 泳動, 向流電気泳動 (Amtliche Sammluung von Untersuchung Sverfahren noch § 35 LMBG, 1984) の技術で行なった。検知リミット, 1-50µg タ ンパク質/mLの範囲がその用いた方法の信頼 性である。ずっと高い信頼性は RIA であり, Ciclitira と Lennox (1983) の述べる方法で、抗 血清は A- グリアジン, α- グリアジンの 1 成分 であるが、それに対するラビットで得たもので ある。このアッセイで用いた抗原は、 $\alpha/\beta$ -グ リアジンを <sup>125</sup>I でラベルしたもので, 抗原 - 抗 体複合体は Stephylococcus aureus cell 懸濁液に吸収させたあと集めたものである。アッセイの感受性は未ラベル抗原との結合の競合によって判断するが、1 mg の  $\alpha/\beta$ - グリアジンであった。他の小麦タンパク質に対するクロスー反応は、1% 以下であり、ライ麦、大麦、あるいはオート麦の抽出物に対するクロスー反応は見られなかった。

今日まで ELISA はグルテンの定量的決定の ため最もよく使う方法である。ELISA 法の効 率限界は, 1998 年まで Denery- Papini ら (1999) によってレビューされた。はじめて信頼でき るグルテン決定の競合とサンドイッチ ELISA は、PAbの全グリアジン A-グリアジンに対す るもので、Windermannら (1982) によって進 められた。このアッセイは非常に感受性がよく A-gliagin で 1-20ng/mL の範囲で、全グリアジ ンで 10-300mg/mL の範囲で行なわれた。しか しω-グリアジンとは反応せず、他の毒性穀物、 例えばライ麦のタンパク質に反応しなかった。 サンドイッチ ELISA は、未加熱、加熱食品中 のグリアジンの検索に用いられた (Meier et al. 1984; Fritscher ら)。未加熱食品の 70% エタノー ル抽出でグリアジンの回収は良好である, た だしココア、コーヒー、茶が含まれている場 合は除く。パンドウ中のグリアジンの回収量 は80℃以上加熱後、しかしながら強く低下す る。Mckillopら(1985)は、同様のELISAを 述べ、そこではポリクローナルウサギ抗血清を 用いた。検知限界は 3.3ng グリアジンで, その アッセイ法はセリアック病の人々のための小麦 毒とくらべ、他の穀物も検知した。PAb を全グ リアジンに対し用いたサンドイッチ ELISA 法 は Troncone ら (1986), Aubrecht と Touth (1995) で行なわれ, クロス反応を非毒性米, トウモロ コシプロラミンで行い, これらの毒性の応用の 限界を示した。Friis (1988) はラビット PAb を 全グリアジンに対し用いた競合的 ELISA を行 なった。抗体はトウモロコシ, ミレット, 米, 大豆タンパク質とは反応しなかった。しかし弱 くソバタンパク質とは反応した。このアッセイ

方法は検知限界 1ng 抗原に対し非常に高い正確性で検知した。さらに近年、Chirdoら(1995)は PAb の競合的 ELISA を全グリアジンに対し行い、全てのタイプのグリアジンと HMW-GSをライ麦、トリテケール、大麦のグリアジン同様に認めた;僅かの反応がオートタンパク質でもみられ、トウモロコシ、米、大豆では全くクロス反応はなかった。試験の感度は 1ng グリアジン/mLあるいは 1mg グルテン/kg 粉であった。試験は大麦、ライ麦プロラミンでは 10-15 倍感度が低い。

幾つかの ELISA は PAb を用いて抗原を捕らえるためにミクロタイター板に吸着させ、MAb を西洋わさびペルオキシダーゼあるいはアルカリフォスファターゼを抗原測定のために結合させた。トリプルサンドイッチ ELISA はFreedmanら(1987)によって応用され食品中のグリアジン含量の測定をした。ウサギポリクローナル抗グリアジン IgG は抗体を捕捉するのに用いた。検知システムは、ネズミモノクローナル上清、ヒツジ抗マウス IgG、IgM をアルカリフォスファターゼ、p-nitrophenylphosphateを基質として含む。アッセイは全てのグリアジン区分とプロラミンをライ麦、大麦、オート麦を小麦グリアジン同様検知した。

検知限界は全てのグリアジンで 0.75mg であった。セリアック活性ペプチド 54 アミノ酸 残基長に対し惹起された MAb が検知システムの一部として取り上げられる以外は同じシステムを Ellis ら(1994)は用いた。そのアッセイの感受性は,全てのグリアジンとライ麦プロラミンに対するものは 15ng/mL(0.3mg/kg 粉),大麦プロラミンには 125ng/mL(0.3mg/kg)であった。非毒性の米,トウモロコシ,ミレット,ソールガムのプロラミンはクロス反応しなかった。最近になってアッセイはより感受的になり,そこでは MAb が合成ペプチド 19 アミノ酸長で,31-49 の  $\alpha$ - グリアジンの配列位置に相当するものに惹起した(Ellis ら 1998)。アッセイの感度

はグリアジンでは 4ng/mL (0.08mg/kg 粉), セカリンでは 500ng/mL, ホールッデン, アベニンでは 1000ng/mL であった。

アッセイは料理食品中のグルテンでも測定でき、しかし感度は落ちる。非毒性穀物からのプロラミンはクロスー反応しなかった。一連のアッセイは MAb だけ用いて進んだ。Theobaldら(1983)は、はじめて穀物粉タンパク質に対する MAb の生産を報告し、とくに塩 - 可溶タンパク質で小麦アレルギーを引き起こすものに対して行なった。MAb の穀物タンパク質に対する多量の収集は Skerritt と Co-worker によってなされた(Skerritt と Underwood, 1989)。殆どの抗 - グリアジン抗体はすべてのグリアジンに結合し、一方、幾つかの抗体はグリアジンの小グループに結合した。

抗 - グリアジン MAb は1つの酵素結合した アッセイで用いられ、いろいろな食品でグリ アジン定量をした(Skerritt, 1985)。グリアジ ンに対する検知限界は、しかしながら、かな り高い (20μg/mL)。より感受性のある競合的 ELISA では西洋わさびペルオキシダーゼーラ ベル MAb を用いて, Hill と Skerritt (1990) に よって行なわれた。 抗体はωーグリアジンとの 特別の反応が選ばれ:これらの抗体はまた小麦 タンパク質に並んでライ麦,大麦のタンパク質 と結合し、その結果は異なる品種で影響され なかった。これらの抗体の結合は、グルテンの 料理あるいはベーキングによる加熱によって阻 害されない。例えば 40-70% エタノールが推薦 された。アッセイの感度は 0.05-0.10ug グリア ジンの範囲で、1:5 希釈の食品抽出物を用いた 200-400mg グルテン /kg に相当する。2 個の抗 体に結合する $\omega$  ーグリアジン, HMW-GS, プロ ラミン,これらはライ麦,大麦からのもので, それらはサンドイッチ ELISA の発展に用いら れ、2つの形でパテントと商品化した(下を見 よ)。著者の記述によると (Skerritt 等, 1991), "Gluten Lab Test" は最初の方法で, 未調理, 調理, 加工食品中,全てのタイプのグルテンを定量で きる。2番目 "Rapid Gluten Test Kit" は素早く,

定量的で、あるいは半定量的な結果で、家庭用、あるいは食品、小麦デンプン産業界で品質のコントロールに用いる。Chirdo et al. (1998)は、いろいろなフォーマット(競合的 ELISA、連続競合的 ELISA、サンドイッチ ELISA)で、グリアジンに対する 3MAb を用いて好感度のアッセイを行なった。

ビオチン化抗体がアッセイの2つに用いられ た。抗体の2つは、広くグリアジン、セカリ ン、ホルデインと反応し、3番目のみグリアジ ンと反応し;大豆,米からのタンパク質と反応 し、トウモロコシタンパク質は観察されなかっ た。用いたシステムと抗体により、1:50の希釈 で検知限界は 1-20ng グリアジン /mL の範囲で あった。ビオチンーアビシン(biotin-streptavidin) 相互作用をシグナル強化システムとして利用す ると, グリアジン定量化に非常に有用である事 がわかった。小麦, ライ麦, あるいはオートム ギ粉のエタノール抽出物に対し MAb 混合物が サンドイッチ ELISA でテストされた (Sorell et al. 1998)。2つの抗体は捕捉抗体として用いら れ、3つ目が認知用抗体として、ホースラデッ シュペルオキシダーゼに結合する。広い特異性 のために、この抗体のコンビネーションは、毒 性プロラミンとの高いクロス反応性を確かに し, グリアジン, セカリン, ホールデンの認識 を同じ程度 3-200ng 範囲 /mL 抽出 (検知リミッ ト約 1.5ng/mL) を許し, 一方アベニンに対す る感受性はずっと低い(検知リミット約12ng/ mL)。溶液(120℃, 30分)中でプロラミンを 加熱すると、定量的な測定は影響しない、そし てエピトープスは抗体で認識されてこの処理に よっては変性されない。ここでプロラミンの低 下した抽出性は,加熱した物質の分析に対して も大きな問題のようである。同じグループはサ ンドイッチ ELISA 法を発展させ、それは1つ の単独のω-セカリンに対して惹起する MAb (R5) をベースにしたものである。R5 は捕捉 および検出抗体の両方に用いられ、後方はホー スラデッシュペルオキシダーゼでラベルされた (Valdes et al. 2003)。R5 ELISA は、小麦、ライ

麦. 大麦プロラミンに同一の感受性を示し、一 方, クロス反応はオート麦, とうもろこし, コ メタンパク質との間では得られなかった。検出 限界は 1.5mg グリアジン /mL で, これは 3.2mg グルテン/kg に相当し; 再現性は±8.7%で, 繰 り返し率 7.7% である。アッセイはカクテル抽 出法で加熱加工食品(前述見よ)に対して互換 性がある。R5のエピトープ特異性は、合成ペ プチドでグリアジンのオーバーラップのやり方 の配列にわたるものに結合する試験で特徴づ けられた (Kahlenbergら, 2006)。発光試験で, R5 結合の α/β- タイプグリアジンの N 末端ドメ インの全てのペプチドはセリアック病患者に とって有毒であることが知られた (表 3.2 New Food Indust. 60 (10): p62. 2018. 参照)。QQPFP, OOOFP. LOPFP. OLPFP といった繋がりは最も 強く結合する。最近、競合的 ELISA は R5MAb を用いて進歩した (Ferre et al, 2004)。

サンドイッチ ELISA の対照として,このシステムは全ての小さいものを検知し,プロラミンからの毒ペプチドも検知する。そしてモルト抽出物,ビールのような部分的加水分解されたものの分析に特にデザインされたものである。表 3.3 は競合的 ELISA の高効率で,ビール中のグルテンの測定にファクター約2-17倍のデーターであり,これはサンドイッチ ELISA に比べてである (Hernando *et al.* 20-05; Immer and Haas-Lauterbach, 2005b)。

市販のテストキットは R5MAb に基づいたもので、発達しリングテストされた(下記参照)。新規の競合的 ELISA は MAb を用いたもので、α-グリアジンからの毒性ペプチドに対してつくられたもので、これは Bermudo Redondo et al. (2005) によって述べられた。このアッセイ法はセリアック病、毒プロラミンに対し特異的であるとわかり、加水分解され特異的抽出剤で互換性のあるものも検知できる。検知限度は0.3mg グルテン/kg であり、再現性は±3.6%であった。最近まで免疫化学決定法はプロラミンの検出に焦点がおかれ、プロラミン含量はグルテンを得るためにファクター2によって増やし

Beers	Origin	Sandwich (cocktail)	Competitive (60% ethanol)
1	Spain	6	30
2	Spain	16	76
3	Czech Republic	<3	24
4	Czech Republic	6	102
5	Belgium	181	833
6	Belgium	1113	4053
7	Germany	2410	4530
8	Germany	22	66
9	Ireland	26	49
10	Ireland	26	101
11	Mexico	<3	11
12	USA	<3	16
13	Germany	10	76
14	Germany	14	88
15	Germany	<3	74
16	Germany	8	98
17	Germany	52.	212

表 3.3 生産したビールの分析:サンドイッチと競合的 R5 ELISA の比較

a 值 mg gluten/kg

Adapted from Hernando et al. (2005) and immer and Hans-Lauterbach (2005b).

た。この計算は Draft Revised COodex Standard によって提案されたもので疑問である。という のはプロラミン(60%エタノール可溶の貯蔵 タンパク質)のグルテリン(60%エタノール 不溶の貯蔵タンパク質)に対する比率は極端 に1の提案比率とちがうからだ。例はいろいろ あり、その中で一般の小麦品種(プロラミン/ グルテリン=1.7-3.1) (Wieser と Kieffer, 2001), 小麦品種 (1.8-1.6) (Wieser, 2000), ライ麦栽 培種 (6.3-8.2) (Gellrich ら, 2003) 大麦品種 (0.5-2.5) (Wieser, 未発表), 小麦デンプン (0.2-4.9) (Wieser and Seilmeier, 2003)。これらの理由 で正確なグルテリンの値を求める方法がプロラ ミン以外必要である。続いての結果は、HMW-および LMW-GS からのペプチドがひどくセリ アック病患者の T cells を刺激する (Van de Wal et al. 1999; Vader et al. 2002; Molberg et al. 2003), および HMW-GS は生体中で有毒であると示 された (Dewar et al. 2006)。Ellis et al. (2006, 2007) はハツカネズミ MAb が HMW-GS 1 D X 5と IDy10 に対して惹起するものをつくった。 その結果は、1個の単独の MAb は両 HMW-GS を測定するのに十分であった。イムノブロット

法は、この抗体がグリアジンと反応しない事を 示した。

著者らの見解によると、この MAb はカクテル ELISA システムで用いるのに抗 - グリアジン抗体とのコンビネーションに用いる。Spaenij-Dekking et~al.(2004, 2006)は、イムノアッセイ法を MAb をベースにしてつくり、そこではセリアック病毒グルテンペプチドを認識する。 $\alpha/\beta$ - グリアジン、 $\gamma$ - グリアジン、LMW-GS、HMW-GS からの T-cell epitopes に対する MAb 特異性が生成した。これらの抗体を用いたアッセイは T-cell 刺激エピトープを異なるバックグランドで検知した。さらにそのままのタンパク質と小麦タンパク質のフラグメントの両方は、分析されたが、それはアッセイが競合的に基づくものであるからである。

サマリーとして、PAb あるいは MAb に基づ く多くの ELISA は、グルテン定量を進歩させ た。しかし、そのほとんどは、特異性、感度、精度に関して共通の受容に必要なすべての要件 に対応しているわけではない。2-3 のアッセイ だけはリングテスト(重層試験)され、商業的 に利用されている。 以下、次号へ。

# 参考文献

- Allmann, M.. Candrian, U.. Hofelein, C., and Luthy, J.: Polymerase chain reaction (PCR): a possible alternative to immunochemical methods assuring safety and quality of food. Z. Lebensm. - Wiss Untersuch. Forsch. 196, 248-251, 1993.
- 2. Amtliche Sammlung von Untersuchungsverfahren nach \$ 35 LMBG. 1984.
- Untersuchung von Lebensmtteln. Immumologischer Nachweis von Proteinen in Backwaren (einschlieblich Brot und blutenfreie Backwaren) und Sübwawen. Wien, Zurich; Beuth-Verlag GmbH.
- Anderson, R. P. and Wieser, H.: Medical applications of gluten-composition knowledge. In: Wrigley. C., Bekes, F., and Bushunk. W.: eds, Gliadin and Glutenin the Unique Balance of wheat Quality. St. Paul, MN: American Association of Cereal Chemists, pp. 387-409. 2006.
- Arentz-Hansen, H., McAdam, S. N., Molberg. Ø. et al.: Celiac Iesion T cells recognize epitopes that cluster in regions of gliadins rich in pralinc residues. Gastroenterology 123, 803-809, 2002.
- Aubrecht, E. and Toth, A. Investigation of gliadin content of wheat flour by ELISA method. *Acta Aliment*. 24. 23-29, 1995.
- Berger, E. and Freudenberg, E.: Bemerkungen über die antigenen Eigenschaften von Abbaustufen des Gliadins. Ann. Paediatr. 196, 238-243. 1961.
- Bermudo Redondo, M. C., Griffin, P. B., Garzon Rasanz, M., Ellis, H. J., and Ciclitira, P. J.: Monoclonal antibody-based competitive assay for the sensitive detection of coeliac disease toxic prolamins. *Anal. Chim. Acta* 551, 105-114, 2005.
- 9. Camafeita, E., Alfonso, P., Acevedo, B., and Mendez, E.: Sample preparetion optimization for the analysis of gliadins in food by matrix-assisted laser desorption/ionization time-of-flight mass spectromctry. *J. Mas Spectrom.* 32, 444-449. 1997a.
- 10. Camafeita, E., Alfonso, P., Mothes, T., and Mendez, E.: Matrix-assisted laser desorption/ionization time-of-flight mass spectrometric micro-analysis: the first on-immunological alternative attempt to quantify gluten gliadins in food samples. *J. Mass Spectrom.* **32**, 940-947. 1997b.
- Camafeita, E., Solis, J., Alfonso, P., Lopez, A., Sorell, L., and Mendez, E.: Selective identification by matrixassisted laser desorption/ionization time-of-flight mass spectrometry of dufferent types of gluten in foods made with cereal mixtures. *J. chromatogr.* A 823. 299-306. 1998.
- Chirdo, F. G., Anon, M. C., and Fossatli, C. A.: Optimization of a competitive ELISA with polyclonal antibodies for quantification of prolamins in foods. Food Agric. Immunol. 7, 333-343. 1995.
- Chirdo, F. G., Anon, M. C., and Fossati, C. A.: Development of hight-sensitive enzyme immunoassays for gliadines quantilication using the strepavidin-biotin amplification system. *Food Agric Immunol.* 10, 143-155. 1998.
- 13. Ciclitira, P. J. and Lennox, E. S.: A radioimmunoassay for α- and β-gliadins. Clin. Sci. 64, 655-659.1983.
- Codex document CX/NFSDU 00/4 Draft revised standard for gluten-free foods. Joint FAO/WHO Food Standards Programme. Codex Alimentarius Commission. Codex Standard. Rome: WHO. 2000.
- Codex document CL 2006/5-NFSDU. Draft revised for gluten-free foods. Joint FAO/WHO Food Standards Programme. Codex Alimentarius Commission. Codex Standard. Rome: WHO. 2006.
- Codex Stan 118-1981 Codex Standard for Gluten-Free Foods. Joint FAO/WHO Food Standards Programme. Codex Alimentarius Commission. Codex Standard. Rome: WHO; p. 118. 1981.
- Codex Standard for the Labelling of Prepacked Foods. Joint FAO/WHO Food Standards Programme. Codex Alimentarius Comission. Codex Standard. ROME; WHO. 2001.
- Dahinden, L., von Büren, M., and Lüthy, J.: A quantitative competitive PCR system to detect contamination of wheat, barley or rye in gluten-free food for cocliac patients. Eur. Food Res. Technol. 212, 228-233, 2001.
- Denery-Papini, S., Nicolas, T., and Popineau, Y.: Efficiency and limitations of immunochemical assays for the testing of gluten-free foods. J. Cereal Sci. 30, 121-131. 1999.

- 21. Dewar, D. H., Amato, A, Ellis, H. J. et al.: The toxicity of hight molecular weight glutenin subunits of wheat to patients with coeliac disease. Eur. J. Gastroenterol. Hepatol. 18. 483-491. 2006.
- 22. Dicke, W. K.: Coeliac disease. Investigation of the harmful effects of certain types of cereals on the patients with coeliac disease. PhD thesis. University of Utrecht. 1950.
- 23. Dona, V. V., Fossati, C. A., and Chirdo, F. G.: Interference of denaturing and reducing agents on gliadin/antibody interaction In: Stern. M. ed. Proceedings of the 18th Meeting of the Working Group on Prolamin. Analysis and Tazicity. Zwickau: Verlag Wissenschaftliche Scripten. pp. 51-57. 2004.
- 24. Ellis, H. J., Doyle, A.. P., Wieser, H., Sturgess. R. P., Day, P., and Ciclitira, P. J. Measurement of gluten using a monoclonal antibody to a sequenced peptide of α gliadin from the coeliac-activating domain I. *J. Biochem. Biophys. Methods* **28**, 77-82. 1994.
- 25. Ellis, H. J., Rosen-Bronson, S., O'Reilly, N., and Ciclitira, P. J.: Measurement of gluten using a monoclonal antibody to a coeliac toxic peptide of gliadin. *Gut* 43, 190-195. 1998.
- 26. Ellis, H. J., Pollock, E. L., Engel, W., Fraser. J. S., Rosen-Bronson. S., Wieser. H., and Ciclitira, P. J.: Investigation of putative immunodominant T cell epitopes in coeliac disease, *Gut* **52**. 211-217. 2003.
- 27. Ellis, H. J., Dewar, D, H., Gonzales-Cinca. N., Wieser. H., O'Sullivan. C., and Ciclitira. P. J.: Production of murine monoclonal antibodies to toxic gluten peptides and proteins, for use in ELISA. In: Stern, M., ed. Proceedings of the 20th Meeting of the Working Group on Prolamin Analysis and Toxicity. Zwickau: Verlag Wissenschafiliche Scripten, pp. 53-57. 2006.
- 28. Ellis, H. J., Dewar, D, H., Gonzales-Cinca. N. *et al.*: Characterisation of monoclonal antibodies raised against HMW glutenin subunits In: Stern, M. ed. Proceedings of the 21th Meeting of tha Working Group on Prolamin analysis and Toxicity. Zwickau: Verlag Wissenschafiliche Scripten, 2007.
- Ferre, S., Garcia, E., and Mendez, E.: Measurement of hydrolysed gliadins by a competive ELISA based on monoclonal antibody R5, anasysis of syrups and beers, In: Stern, M. ed. Proceedings of the 18th Meeting of the Working Group on Prolamin Analysis and Toxicity. Zwickau: Verlag Wissenschafiliche Scripten, pp. 65-69. 2004.
- 30. Fraser, J. S., Engel, W., Ellis, H. J., et al.: Coeliac disease: in vivo toxicity of the putative immunodominant epitope. Gut 52. 1698-1702. 2003.
- 31. Freedman, A. R., Galfre. G., Gal, E., Ellis, H. J., and Ciclitira, P. J.: Monoclonal antibody ELISA to quantitate wheat gliadin contamination in gluten-free foods. *J. Immunol. Methods* **98**, 123-127. 1987.
- 32. Freedman, A. R., Galfre. G., Gal, E., Ellis, H. J., and Ciclitira, P. J.: Western immunoblotting of cereal proteins with monoclonal antibodies to wheat gliadin to investigate coeliac disease. *Int. Arch. Allergy Appl. Immunol.* 85, 346-350, 1988.
- 33. Friis, S. U.: Enzyme-linked immunoasorbent assay for quantitation of cereal proteins toxic in coeliac disease. *Clin. Chim. Acta* **178**, 261-270. 1988.
- 34. Fritschy, F., Windemann. H., and Baumgartnerm, E.: Quantitative determination of wheat gliadins in foods by enzyme-linked immunosorbent assay. Z, Lebensm. *Untersuch. Forsch.* **181**, 379-385. 1985.
- 35. Galfre, G. and Milstein, C. Preparetion of monoclonal antibodies: strategies and procedures. *Methods Enzymol.* 73, 3-75. 1981.
- 36. Garcia, E., Hernando, A., Toribio, T., Genzor, C., and Mendez, E.: Test immunochromatographic rapid assay: a rapid, hightly sensitive and semi-quantitative test for the detection of gluten in foodstuffs. In: Proceeding of the 16th Meeting of the Working Group on Polamin Analysis and Toxicity. Zwickau: Verlag Wissenschaftliche Scripten, pp. 55-64. 2002.
- 37. Garcia, E., Hernando, A., Mujico, J. R., Lombardia, M., and Mendez. E.: Matrix effects in the extraction and detection of gliadins in foods by R5 ELISA and MALDI-TOF mass spectrometry. In: Stern. M. ed. Proceedings of the 18th Meeting of the Working Group on Prolamin Analysis and Toxicity. Zwickau: Verlag Wissenschafiliche Scripten. pp. 59-64. 2004.
- 38. Gallrich, C., Schieberle, P., and Wieser, H.: Biochemical characterization and quantification of the storage protein (secalin) types in rye flour. *Cereal Chem.* **80**,102-109. 2003.
- 39. Henterich, N., Osman, A. A., Mendez, E., and Mothes, T.: Assay of gliadin by real-time immunopolymerace chain reaction. *Nahrug* 47. 345-348. 2003.
- 40. Hemando, A., Garcia, F., Llorente, M. et al.: Measurements of hydrolysed gliadins in malts, breakfast cereals.

- heated/hydrolysed foods, whiskies and beers by means of a new competitive R5 ELISA. In: Stern. M. ed. Proceedings of 19th Meeting of the Working Group on Prolamin Analysis and Toxucity. Zwickau: Verlag Wissenschaftliche Scripten, pp. 31-37. 2005.
- 41. Hill, A. S. and Skerritt, J. H.: Determination of gluten in foods using a monoclnal antibody-based competition enzyme immunoassay. *Food Agric. Immunol.* **2**, 21-35, 1990.
- 42. Iametti, S., Cappelletti, C., Oldani. A., Scafuri, L., and Bonomi, F.: Improved protocols for ELISA determination of gliadin in glucose syrups, *Cereal Chem.* 81. 15-18. 2004.
- 43. Iametti, S., Bonomi, F., Ferranti, P., Picariello, G., and Gabrovska, D.: Characteri zation of gliadin content in beer by using different approaches. In: Stern, M. ed. 2005.
- 44. Proceedings of the 19th Meeting of the Working Group on Prolamin Analysis and Toxicity . Zwickau: Verlag Wissenschafiliche Scripten. pp. 73-78.
- 45. Iametti, S., Bonomi, F., Ferranti, P., de Martino, A., and Picariello, G.: Characterization of peptides and proteins in beer by deifferent approaches. 2006.
- 46. In:Stern, M. ed.: Proceedings of the 20th Meeting of the Working Group on Prolamin Analysis and Toxicity. Zwickau: Verlag Wissenschaftliche Scripten, pp. 47-52.
- 47. Immer, U. and Haas-Lauterbach, S.: Ridascreen R/Rida R gliadin test systes. 2003.
- 48. In:Stern, M. ed.: Proceedings of the 17th Meeting of the Prolamin Working Group on Prolamin Analysis and Toxicity, Zwickau: Verlag Wissenschaftlice Scripten, pp. 45-52.
- 49. Immer, U. and Haas-Lauterbach, S.: The question of extraction procedurs. 2005a.
- 50. In:Stern, M. ed.: Proceedings of the 19th Meeting of the Working Group on Prolami-n Analysis and Toxicity. Zwickau:Verlag Wissenschaftliche Scripten, pp.45-52.
- Immer, U. and Haas-Lauterbach, S.: Sandwich ELISA versus competitive ELISA: which approach is the more appropriate? 2005b.
- 52. In:Stern, M.ed.: Proceedings of the 19th Meeting of the Working Group on Prolamin Analysis and Toxicity. Zwickau: Verlag Wissenschaftliche Scripten, pp.53-62.
- 53. Kahlenberg, F., Sanchez, D., Lachmann, I., Tuckova, L., Tlaskalva, H., Mendez, E., and Mothes, T.: Monoclonal antibody R5 for detection of putatively coeliac-toxic gliadin peptides, *Eur. Food Res. Technol.* **222**, 78-82. 2006.
- Kasarda, D, D.: Toxic cereal grains in coeliac disease. In: Feighery, C. and O'Far-relly, C. eds. Gastorointestinal Immunology and Gluten-Sensitive Disease. Dublin: Oak Tree Press, pp. 203-220. 1994.
- Köppel, E., Stadler, M., Lüthy, J., and Hübner, P.: Detection of wheat contamination in oats by polymerase chain reaction (PCR) and enzymelinked immunosorbent assay (ELISA). Z, Lebense, Untersuch, Forsch, 206. 399-403. 1998.
- Kruger, E. and Bietz, J. A.: HPLC-High-Performance Liquid Chromatography of Cereal ans Legume Proteins. St. Paul, MN: American Association of Cereal Chemists. 1994.
- 57. Laffey, C., Madden, N., Fogarty, T., amd Burke. P.: Gluten testing: an Irish perspe-ctive. 2005.
- 58. In:Stern, M.ed.: Proceedings of the 19th Meeting of the Working Group on Prolamin Analysis and Toxicity. Zwickau: Verlag Wissenschaftliche Scripten, pp.63-68.
- 59. Lewis. J. H. and Wells, H. G.: The immunological properties of alcohol-soluble vegetable proteins. *J. Biol. Chem.* **66**, 37-48. 1925.
- Malmheden Yman, I.: Detection of gluten/cereals in baby food samplescollaborative study. In:Stern. M. ed.
  Preoceedings of the 20th Meeting of the Working Group on Prolamin Analysis and Toxicity. Zwickau: Verlag
  Wissenschaftliche Scripten.pp. 65-74. 2006.
- 61. Marsh, M. N., Morgan, S., Ensari, A., *et al.*: *In vivo* acitivity of peptides 31-43, 44-55, 56-68 of α-gliadin in gluten sensitive enteropathy (GSE). *Gastroenterogy* **108**. A871. 1995.
- Mckillop, D. F., Goslin, J. P., Stevens, F. M., and Fottrell, P. F.: Enzyme immunoassay of gliadin in food. Biochem. Soc. Trans. 13, 486-487. 1985.
- Meier, P., Windemann, H., and Baumgartner, E.: Zur Bestimmung des α-Gliadin-Gehaltes in glutenhaltigen und 'glutenfreien' crhitzten Lebensmitteln. Z. Lebensm. Untersuch. Forsch. 178, 361-365, 1984.
- 64. Mendez, E., Camafeita, E., Sebastian, J. S., et al.: Direct identification of wheat gliadins and related cereal prolamins by matrix-assisted laser desorption/ionization time-of-flight mass spectrometry. J. Mass Spectrom.

- (Spec, Issue). S123-S128. 1995.
- Mendez, E., Vela, C., Immer, U., and Janssen, F. W.: Repoet of a collaborative trial to investigate the performance of the R5 enzyme linked immunoassay to determine gliadin in gluten-free food. *Eur. J. Gastroentero Hepatol.* 17, 1053-1063, 2005.
- 66. Molberg, Ø., Solheim, Flaete, N., Jensen, T., et al.: Intestinal T-cell responses to high-molecular-weight glutenins in celiac disease. *Gastroenterology* **125**, 337-344. 2003.
- 67. Morris, B. A. and Clifford, M, N.: Immunoassarys in Food Analysis. London; Elsevier Applied Science. 1985.
- 68. Mujico, J. R., Lombardia, M., and Mendez, E.: Detection of wheat DNA in foods by a quantitative real-time PCR system: can the measurement of wheat DNA be used as a non-immunological and complementary tool in gluten technology? In: S-tern. M, ed. Proceedings of the 18h Meeting of the Working Group on Prolamin Analysis and Toxicity. Zwickau: Verlag Wissen schaftliche Scripten, pp.91-98. 2004.
- 69. Mujico, J. R., Hernando, A., Lombardia, M., *et al.*: Quantification of wheat, barley and rye contamination in oat samples by real-time PCR. In: Stern, M. ed. Proceedings of the 19th Meeting of the Working Group on Prolamin Analysis and Toxicity. Zwickau: Verlag Wissenschaftliche Scripten. pp.87-94. 2005.
- 70. Mujico, J. R. and Mendez, E.: Simultaneous detection/quantification of wheat, barley and rye DNA by a new quantitataive real-time PCR sysytem. In: Stem. M. ed. Proceedings of the 20th Meeting of the Working Group on Prolamin ANalaysis and Toxicity. Zwickau: Verlag Wissenschaftliche Scripten. pp. 39-45. 2006.
- 71. Osborne, T. B.: The proteins of the wheat kernel. Publication 84. Carnegie Inst., Washington, DC. 1907.
- 72. Ranz, A. I., Venteo, A., Vela, C., and Sanz, A.: Ingezim gluten. Immunoenzymatic assay for gluten detection using monoclonal antibody R5. In: Stern, M. ed.: Proceedings of the 18th Meeting of the Working Group on Prolamin Analaysis and Toxicity. Zwickau: Verlag Wissenschaftliche Scripten. pp. 37-49. 2004.
- 73. Ranz, A, I., Venteo, A., Cano, M. J., Vela, C., and Sanz, A.: Development of a new and rapid semiquantitative method for gliadin detection using R5 antibody. In: Stern, M. ed.: Preoceeding of the 19th Meeting of the Workin Group on Prolamin Analaysis and Toxicity. Zwickau: Verlag Wissenschaftliche Scripten. pp. 39-44. 2005.
- Rumbo, M., Chirdo, F. G., Fossati, C. A., and Anon, M. C.: Analysis of the effects of heat treatment on gliadin immunochemical quantification using a panel of anti-prolamin antibodies. *J. Agric. Food Chem.* 49, 5719-5726.
   2001.
- 75. Sandberg, M., Lundberg, L., Ferm, M., and Malmheden, Yman, I.: Real time PCR for the detection and discrimination of cereal contamination in gluten free foods. *Eur. Food Res. Technol.* **217**, 344-349. 2003.
- 76. Schofield, J. D., Bottlomley, R. C., Timms, M. F., and Booth, M. R.: The effect of heat on wheat gluten and the involvement of sulphydryl-disulphide interchange reactions. *J. Cereal Sci.* 1, 241-253. 1983.
- 77. Seilmeier, W. and Wieser, H.: Comparative investigations of gluten proteins from different wheat species. IV. Reactivity of gliadin fractions and components from different wheat species in a commercial immunoassay. *Eur. Food Res. Technol.* 217, 360-364. 2003.
- 78. Shewry, P. R. and Tatham, A. S.: The prolamin storage proteins of cereal seeds: structure and evolution. *Biochem. J.* **267**, 1-12. 1990.
- Sima, A., van Eckert, R., and Pfannhauser, W.: Vergleich unterschiedlicher kommerzieller ELISA-Testsystem zur Bestimmung von Gluten. *Lebensmittelchemic* 53, 40. 1999.
- 80. Skerritt, J. H.: A sensitive monoclonal-antibody-based test for gluten detection: quantitative immunoassay, *J. Sci. Food Agric.* **36**, 987-994. 1985.
- 81. Skerritt, J. H.: Immunochemistry of cereal grain storage proteins, Adv. Cereal Sci. Technol. 9, 263-338. 1998.
- 82. Skerritt, J. H. and Hill, A. S.: Monoclonal antibody sandwich enzyme immunoassays for determination of gluten in foods. *J. Agric. Food Chem.* **38**, 1771-1778, 1990.
- 83. Skerritt, J. H. and Hill, A. S.: Enzyme immunoassay for determination of gluten in foods: collaborative study. *J. AOAC* 74, 257-264. 1991a.
- 84. Skerritt, J. H. and Hill, A. S.: Self-management of dietary compliance in coeliac disease by means of ELISA "home test" to detect gluten. *Lancet* 337, 379-382. 1991b.
- 85. Skerritt, J. H. and Underwood, P. A.: Specifity characteristics of monoclonal antibodies to wheat grain storage proteins. *Biochem. Biophys. Acta* 874, 245-254, 1986.
- 86. Skerritt, J. H., Devery, J. M., and Hill, A. S.: Chemistry. celiac-toxicity and detection of gluten and related

- prolamins in foods. Panminerva Med. 33, 65-74. 1991.
- 87. Sollid, L. M.: Coeliac disease: dissecting a complex inflammatory disorder. Nat. Rev. Immunol. 2, 647-655. 2002.
- Sorell, L., Lopez, J. A., Valdes, I., et al.: An innovative sandwich ELISA system based on an antibody cocktail for gluten analysis, FEBS Lett. 439, 46-50, 1998.
- Spaenij-Dekking, E. H. A., Kooy-Winkelaar, E. M. C., Nieuwenhuizen, W. F., Drijfhout, J. W., and Koning, F.: A novel and sensitive method for the detection of T cell stimulatory epitopes of α/β- and γ-gliadins. *Gut* 53, 1267-1273. 2004.
- Spaenij-Dekking, L., Kooy-Winkelaar, Y., Stepniak, D., Edens, L., and Koning, F.: Detection and degradation
  of gluten. In: Stern. M. ed. Proceedings of the 20th Meeting of the Working Group on Prolamin Analaysis and
  Toxicity. Zwickau: Verlag Wissenschaftliche Scripten. pp. 59-64. 2006.
- 91. Stern, M., Ciclitira, P. J., van Eckert, R., et al.: Analysis and clinical effects of gluten in coeliac disease. Eur. J. Gastroenterol. Hepatol. 13, 741-747. 2001.
- 92. Sturgess, R., Day, P., Ellis, H. J.: et al.: Wheat peptide challenge in coeliac disease. Lancet 334, 758-761. 1994.
- 93. Theobald, K., Bohn, A., Thiel, M., Ulmer, W. T., and König, W.: Production of monoclonal antibodies against wheat flour components. *Int. Arch. Allergy Appl. Immunol.* 72, 84-86. 1983.
- Troncone, R., Vitale, M., Donatiello, A., Farris, E., Rossi, G., and Auricchio, S.: A sandwich enzyme immunoassary for wheat gliadin. J. Immunol. Methods 92, 21-23, 1986.
- Vader, W., Kooy, Y., van Veelen, P. et al.: The gluten response in children with celiac disease is directed towards multiple gliadin and glutenin peptides. Gastroen-terology 122, 1729-1737. 2002.
- Valdes, I., Garcia, E., Llorente, M., and Mendez, E.: Innovative approach to low-level gluten determination in foods using a novel sandwich enzyme -linked immunosorbent assay protocol. *Eur. J. Gastroenterol. Hepatol.* 15, 465-474, 2003.
- 97. Van de Wal, Y., Kooy, Y. M. C., van Veelem, P. *et al.*: Glutenin is involved in the gluten-driven mucosal T cell response. *Eur. J. Immunol.* **29**, 3133-3139. 1999.
- Van Eckert, R.: Methodological and practical experience in gluten analysis. Ernährung/Nutrition 17,163-165.
   1993.
- 99. Van Eckert, R., Scharf, M., Wald, T., and Pfannhauser, W.: Determination of proteins with ELISA-methods: doubtful quantitative results? In: Amado, R. and Battaglia, R. eds. Authenticity and Adulteration of Food-the Analytical Approach. Proceedings of the 9th European Conference on Food Chemistry, FECS Event No. 220. Vol. 1. Zürich: Swiss Society of Food and Environmental Chemistry, pp. 263-268. 1997.
- Van Eckert, R., Berghofer, E., Ciclitira, P. J. et al.: Towards a new gliadin reference material-isolation and characterisation. J. Cereal Sci. 43,331-341. 2006.
- 101. Weisgerber, C.: ELISA for the detection of gliadin in food. In: Stern, M. ed. Proceedings of the 12th Meeting of the Working Group on Protamin Analaysis and Toxicity. Zwiskau: Eigenverlag, p.59. 1998.
- 102. Wieser, H.: Cereal protein chemistry. In: Feighery, C. and O'Farrelly, C. eds, Gast-rointestinal Immunology and Gluten-Sensitive Disease. Dublin: Oak Free Press, pp. 191-202. 1994.
- Wieser, H.: The precipitating factor in celiac disease. In: Howdle. P. D., ed. Bailiere's Climical Gastroenterology, Vol. 9: Coeliac Disease. London: Bailliere Tindall, pp. 191-207. 1995.
- 104. Wieser, H.: Investingatins on the extractability of gluten proteins from wheat bread in comparison with flour. *Z. Lebensm. Untersuch. Forsch.* **A207**, 128-132. 1998.
- 105. Wieser, H.: Comparative investigations of gluten proteins from different wheat species. I. Qualitative and quantitative composition of gluten protein types. Eur. Food Res. Technol. 211, 262-268. 2000.
- 106. Wieser, H. and Antes, S.: Development of a non-immunochemical method for the quantitative determination of gluten in wheat starch. In: Stern, M. ed. Proceedings of the 16th Meeting of the Working Group on Prolamin Analaysis and Toxicity. Zwickau: Verlag Wissenschaftliche Scripten. pp.19-23. 2002.
- 107. Wieser, H. and Kieffer, R.: Correlations of the amount of gluten protein types to the technological properties of wheat flours determined on a microscale. *J. Cereal Sci*, **34**, 19-27. 2001.
- 108. Wieser, H. and Seilmeier, W.: Determination of gliadin and gluten in wheat starch by means of alcohol extraction and gel permeation chromatography. In: Stern, M. ed. Proceedings of the 17th Meeting of the Working Group on Prolamin Analaysis and Toxicity. Zwickau: Verlag Wissenschaftliche Scripten. pp.53-57. 2003.

- Wieser, H., Belitz., H.-D., Idar, D., and Ashkenazi, A.: Coeliac activity of the gliadin peptides CT-1 and CT-2. Z. Lebensm. Untersuch. Forsch. 182. 115-117, 1986.
- 110. Wieser, H., Seilmeier, W., and Belitz, H.-D.: Quantitative determination of gliadin subgroups from different wheat cultivars. *J. Cereal Sci.* **19**, 149-155, 1994.
- 111. Wieser, H., Antes, S., and Seilmeier, W.: Quantitative determination of gluten protein types in wheat flour by reversed-phase high-performance liquid chromatography. *Cereal Chem.* **75**, 644-650. 1998.
- 112. Wieser, H., Bushuk, W., and MacRitchie, F.: The polymeric glutenins. In: Wrigley, C., Bekes, F., and Bushuk, W. eds. Gliadin and Glutenin: the Unique Balance of Wheat Quality. St. Paul. MN: American Association of Cereal Chemists. pp. 231-240. 2006.
- 113. Windemann, H., Fritschy, F., and Baumgarmer, E.: Enzyme-linked immuno sorbent assay for wheat  $\alpha$  -gliadin and whole gliadin. *Biochim. Biophys. Acta* **709**,110-121. 1982.
- Wrigley, C., Corke, H., and Walker, C. E.: Encyclopedia of Grain Science. Vol.1-3. Amsterdam: Elsevier Academic Press. 2004.

連絡先:瀬口 正晴

email: gr228587@wf7.so-net.ne.jp

## 白石カルシウムの炭酸カルシウム

炭 酸 カルシウム とは? 古くから食品に使用されている 安全性・吸収性に優れたカルシ ウム源です。

用途も栄養強化はもちろんのこと、練製品の弾力増強などの品質改良、粉体の流動性向上・固結防止といった加工助剤などその目的は多彩です。

分散性・混合性に優れたものや、飲料用として 沈殿を抑制したタイプ等、品揃えしております。

一般の栄養強化には「ホワイトン」

機能を求めるならば「コロカルソ」

飲料用には、スラリー状の「カルエッセン」

詳細につきましては弊社営業担当に お気軽にお尋ねください。

# (3) 白石カルシウム株式会社

食品部:東京都千代田区岩本町1-1-8 TEL03-3863-8913 本 社:大阪市北区中之島2-2-7 TEL06-6231-8265

# 漢方の効能

Efficacy of traditional medicine "KAMPO"

# (2) 薬膳とは

# What is Medicinal Food "YAKUZEN"

白瀧 義明 (SHIRATAKI Yoshiaki)\*

# はじめに

人類が誕生し、700万年~800万年経っているといわれます。この間、私達の先祖は飢えと渇き をしのぐため、実に様々なものを口にしたことでしょう。その経験と知恵が食品や医薬品へと発展 し、現代へと受け継がれてきました。今では菓子や果物など季節を問わず、口に入れられる時代に なり、ずいぶん食生活が豊かになった半面、肥満、偏食、正しい食習慣、食事に対する認識などの 問題がクローズアップされています。医療面でも、かつては成人病といわれ、大人だけと思われて いた生活習慣病が子どもにまで及び、食事の大切さ、普段からの健康管理の重要性が強調されてお ります。

# 医食同源とは

「医食同源」、「薬食同源」という言葉があります。これらはすなわち、医薬品も食品も源は同じ という意味です。今でこそ私達は医薬品といえば、きれいに梱包されたカプセルや錠剤などを連想 し、食品とは区別して病気の予防や治療に使うものと思っていますが、実はこのようになったのは、 長い人類の歴史からみると、ごく最近のことなのです。今日、医食同源がクローズアップされるの は現在の我々の生活があまりに急激に変化し、栄養の過剰摂取、アンバランス、運動不足などによっ て多くの問題が生じているからなのです。

## 陰陽五行説と薬膳

人類はさまざまな経験をしながら知識を蓄え、それらの知識が整理、整頓 され、学問体系が生まれました。中でも中国では食物、人体、宇宙の三者を 相対的に関係づける方向へ人々の関心が動いたようです。すなわち、これ が「陰陽五行説」といわれる理論体系で、森羅万象、すべてのものは陰陽の 二元から成り立つといわれるもので、いろいろな事象を組み合せ、バランス を重視することが特徴のようです。つまり、天には陰(月)と陽(太陽)が あり、それが地の五行(木火土金水)を生じる(図1)。身体を例にとると、 地の五行には肝心脾肺腎の五臓が対応し, 更に食物, 味なども組み合せたの です。一方、西洋でも同じように長い間、医薬品として自然のものを使用し ていたのですが、14~16世紀のルネサンス以後、食物や薬物が身体を養い、 病気を治癒するのはその中に特殊な物質があるからだろうという解析的な考



<sup>&</sup>lt;sup>2</sup> 城西大学薬学部生薬学教室 shiratak@josai.ac.jp

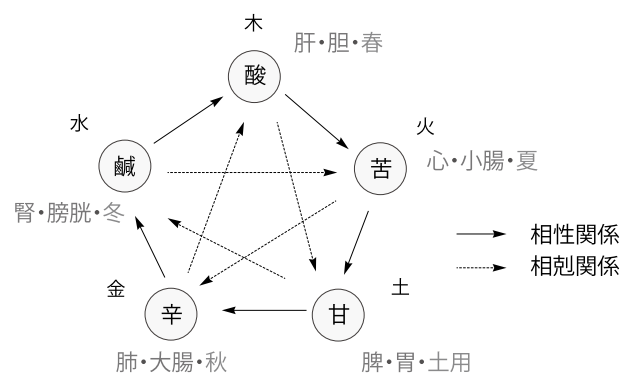


図 2 五行の相生・相剋図

え方が主流になり、これが今日の近代科学へと発展していったのです。陰陽五行説は約 2000 年前,漢の時代に書かれた黄帝内経という書物にみられ、『陰陽は万物の根本であり,人体では陰は体の奥にあって生命の原動力である精気を貯え,陽は病因や外敵の攻撃から身を守り,筋肉を強くするもので,陽が強すぎると経絡の流れが急になり,逆に陰が強すぎると精気が縛られて外面に発散できなくなる。従って陰陽のバランスは養生の最も基本的なものである。』というものです。

陰は五味(酸、苦、甘、辛、鹹)から生じ、五味には、「相生相剋」といわれる互いが相乗効果 で良い相性を生む「相生」と、互いに力を弱め合う「相剋」の関係があり、五行(木火土金水)、 五臓(肝,心,脾,肺,腎), 五腑(胆,小腸,胃,大腸,膀胱,これらに三焦を加えて六腑という), 五季(春,夏,土用,秋,冬)が対応し,さらに,食物の五穀(胡麻,麦,米,黍,大豆),五果(李,杏, 棗,桃,栗),五畜(犬肉,羊肉,牛肉,鶏肉,豚肉)などがあって,それぞれに良い作用,良く ない作用を及ぼします。例えば腎には鹹味が良く、大豆、栗、豚肉が良い食べ物ということになり、 逆に腎に良くない味は甘味ということになります。なぜなら、腎は水、甘味は土であり、土は水に 剋つからです(図2)。さらに食物には五性(四気)があり、体を温める作用の強いものから順に、 熱温平涼寒(平は体を温めも冷やしもしないので,熱温涼寒の四気とする)としています。これら の食物は同じ家族でも人、年齢、時期によって異なります。このように、中医学の古典に記載され ている東洋の理論体系を基礎とした漢方理論にのっとり、健康増進、病気の予防と治療、延寿を目 的として生薬と食材を組み合わせた料理が薬膳といえます。ここで私たちが注意しなければいけな いのは何千年もの間に言葉の意味が変わり、臓、味、食物も、今、我々が使っているのと全く同じ という訳ではないことです。世界の各地域で生まれた各民族の伝統医学の多くが滅び去った今もな お、数千年の昔、中国で生まれた『陰陽五行説』が、中国、韓国、日本を中心とする東アジア地域 で受け継がれているのは素晴らしいことです。特に近年、ヨーロッパ、北アメリカなどでも、西洋 医学万能というわけにもいかず、漢方をはじめとする東洋医学が注目され、伝統医学の国際標準化 が " 国際標準化機構 International Organization for Standardization(ISO)" を中心に活発化してい ます。



# 酒造りの文明史(2)

古賀 邦正(KOGA Kunimasa) (一財) 自然環境研究センター

# 日本酒の来た道(3): 弥生時代と酒造り

最近の考古学研究によって縄文時代の草創期から早期の間(約 16000 年前~7000 年前)にヒエの栽培が行われていたことが明らかになった。このことから、穀物の酒としては麹によるヒエの酒があったのではないかという推論を前回述べた。また、縄文時代の人々の暮らしぶりや中国・朝鮮半島の様子について述べた。今回は前 10 世紀後半に朝鮮半島から水田稲作民が日本列島に渡来した後、水田稲作が日本列島に拡大してゆく様子やそれに伴っての人々の暮らしぶりがどう変わっていったか、また、酒造りへの影響はどうだったかについて述べることとしたい。

#### 6-6. 弥牛時代: 大陸の状況

弥生時代は紀元前 10 世紀後半から紀元 3 世紀頃までの時代で、水田稲作の本格的な開始・弥生式土器・金属器の使用という"弥生文化"がその特色とされる。しかし、現代の元号の変更のように、ある日を境に突然、縄文時代から弥生時代に変わったわけではない。水が濾紙に染み込んでゆくようにじわじわと弥生文化が縄文文化の日本列島に浸透していったに違いない。前 10 世紀頃には朝鮮半島の土器が九州東部や中国地方の内陸部で見つかっており、この頃から弥生時代の萌芽は芽生えていた。土器にはイネ籾のスタンプ痕がついていた。前 10 世紀後半には玄海灘沿岸に朝鮮半島からの渡来人が住みついて弥生文化の象徴の一つである水田稲作を行っていたとされている。

弥生文化は朝鮮半島を介しての中国の影響が大きい。前号で縄文時代から弥生時代にかけての中国の様子を概観しているが、弥生に入る少し前(前 11 世紀後半)に殷王朝を周王朝が滅ぼしている。周の時代は前半が西周(前 11 世紀~前 771 年、都: 鎬京(現在の西安)),後半が東周(前 770年~前 256年、都: 洛邑)の二つに分かれる。西周の時代には周王は安定した治世を行っていたが、やがて西方辺境の異民族統治に失敗して、混乱の中、都を東方の洛邑に移して東周とした。しかし、すでに諸侯を統制するだけの力も権威もなく、諸侯の自立化が始まる。東周時代の前半は春秋時代(前 770年~前 403年),後半が戦国時代(前 403年~前 221年)に分かれる。春秋時代は周王の力は衰えたとはいえ、王を盛り立てようと諸侯がそれなりに協力した時代だった。古い規範をかなぐり捨て「下克上」となったのが戦国時代である。春秋・戦国の時代には鉄器が用いられるようになり、戦いは激しさをました。前 221年に秦の始皇帝が中国を統一。前 202年に漢がこれに代わった(前 202年~後 220年)。漢王朝の時代は前半の前漢(前 202年~後 8年、都: 長安)と後半の後漢(25年~220年、都: 洛陽)の2つに分けられる。その後、各地の豪族が群雄割拠したが、最終的に中国全土は魏・呉・蜀の3勢力に分割された。これが三国時代(220年~280年)である。

弥生時代に入ると中国文化の多くは朝鮮半島を介して伝来するが、当初、朝鮮半島やその北に広がる中国東北部にはまだ古代国家は成立していない。しかし、前 11 世紀には朝鮮半島南部には水

田稲作を行なう農耕社会が成立し、周囲に堀をめぐらした環濠集落や有力者の墓などが出現して、ムラの有力者とそれ以外の人々の身分の差が顕在化してきていたようだ。こうした農耕社会の変化はその内部に矛盾を生み、それから逃れようとする人びとが現れてくる。そういった人々が前10世紀後半頃、九州北部に水田稲作を伝えたと考えられている。続いて、漢王朝の前漢第七代皇帝の武帝(在;前141~前87)が前108年に北部朝鮮を征服して楽浪・臨屯・玄菟・真番の四郡を置いて統制を強めると、中国先進文化の朝鮮半島への浸透は加速したが、同時に強い統制から逃れる人々がさらに日本に渡って来た。その結果、大陸の先進文化の日本への伝来が促進されたと考えられる。

文明の発展段階としては青銅器時代ついで鉄器時代と続くのだが、日本の場合は青銅器と鉄器がほぼ前後して伝えられることになり、日本では正式の青銅器時代を経過せずに鉄器時代に移り、実用の利器の一部に鉄器が使用され、青銅器は儀礼的・宝器的なものとして使われた。

紀元 1 世紀になると日本列島に部族国家が形成され、4 世紀には大和朝廷による統一がなされるが、文字の使用は5世紀以降ということとなる。

#### 6-7. 弥生時代: 水田稲作の伝搬と拡がり

前述した通り日本列島での最初の水田稲作は、前 10 世紀後半、朝鮮半島南西部の人々が九州北部の玄海灘沿岸地域(福岡県早良平野)で始めたと考えられている。この人々は水田稲作民と呼ばれる。水田稲作民は稲作を効率的に行なうために適した労働組織や物資交換の仕組みを備えた社会を持ち、米の豊穣を祈る祭りを行なうなど米作りを生活の中心に置いた人々のことである。

"新参者"の彼らの周辺には縄文時代から生活していた"在来民"がいた。在来民は、特定の食料に頼らずに採集・狩猟・漁労そして畑作などあらゆる食料獲得手段を駆使して生活をしていたが、縄文晩期になるとほとんどの在来民がアワ・ヒエなどの穀物を農耕によって収穫して、食料の一部としていた(農耕を営む在来民は"園耕民"ともいう)。コメも焼畑農法(移動農法)で作っていた。しかし、農耕は生業の一部であって、在来民は農耕中心の生活を送っていたわけではない。水田稲

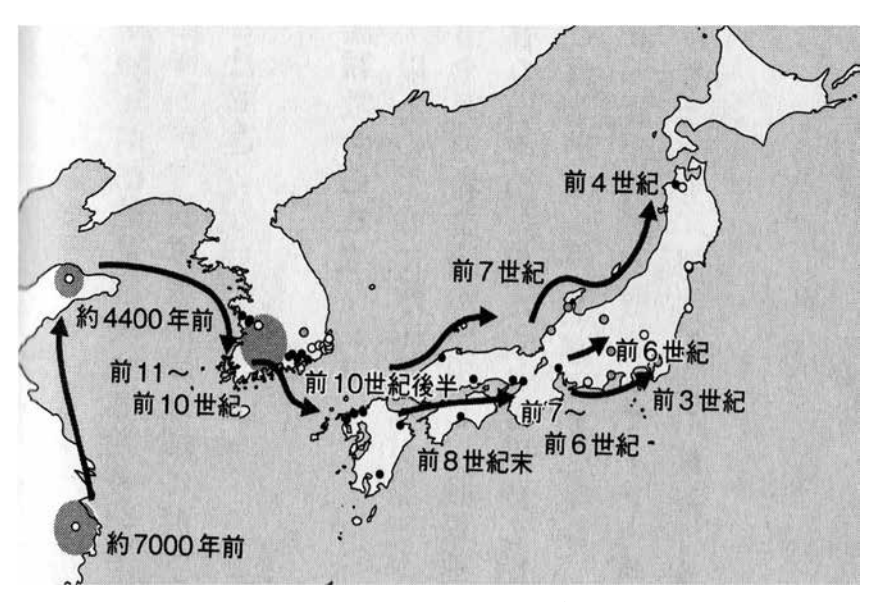


図 6-13. 水田稲作の拡散

(藤尾慎一郎「弥生時代の歴史」より)

作民が玄海灘沿岸にやって来た後も、生態系が交差して多様な食料の獲得に都合のよい川の上・中流で暮らしていて、川の下流に暮らす水田稲作民とは棲み分けの状態にあった。

玄海灘沿岸地域に限ってのことだが、前9世紀後半になると周りに内壕と外壕を2重に巡らした環濠集落が成立し、内壕の中には10~15の竪穴住居が建てられて有力者が暮らしていたようだ。また、玉を副葬された子供の墓が内壕内にあることから、すでに社会の階層化に加えてその世襲化も進んでいたと思われる。また、この頃に武器で殺されたと思われる死体が発掘されており、戦いのあったことが推察される。戦いは、もともと朝鮮半島の南部で、水田稲作を行なうのに必要な水や土地をめぐる争いを政治的に解決する手段だったが、これが日本列島でも起こったのだろう。これまで見られなかった農耕社会が成立し、社会に質的変化が起きてきていたのだ。

水田稲作民と在来民との"棲み分け"の状態は 250 年あまり続き、水田稲作は玄海灘沿岸地域 にとどまっていたが、前 8 世紀の終わりになると九州中部・東部でも行われるようになり、以降、東日本にむかって  $400 \sim 500$  年かけて徐々に拡散し、前 4 世紀代には東北地方、前 3 世紀には 関東地方にまで拡がっていったという(図 6-13)。

# 6-8. 弥生時代と道具

## ◆弥生土器と時代区分

弥生式土器の製作技術は縄文式土器に較べて格段に進歩した。器形を整えるためにロクロが使用され、 $1200^{\circ}$ Cくらいの高温で焼かれた。この結果、同形のものが大量に生産されるようになった。 縄目だった条線文は簡単になり、土器の質は堅く、色も赤褐色となった。

土器は貯蔵用の壺と煮沸用の甕が主であった。壺は口縁部がくびれた壺形で装飾がなされている。 甕は甕形で、装飾も施されておらず、食物の加熱に用いられていたのだろう。これ以外にも、食物 を盛るために鉢や高杯などが作られた。日本書紀に神代の酒として「八甕酒」が記載されているが、 「八甕」とは大きな甕のことである。大型の酒造用の甕も造られていたのだろう。

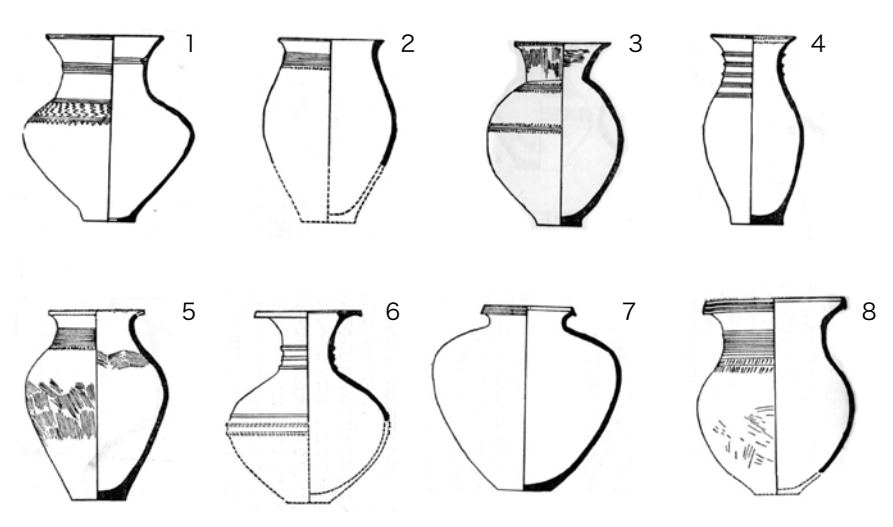


図 6-14 弥生時代の土器 (壺)

前期:1(山口県綾羅木),2(鳥取県上野)

中期:3(広島県中山),4(鳥取県秋喜),5(鳥取県上野),6(山口県土井ヶ浜)

後期:7(岡山県上東),8(鳥取県古浦)

(和島誠一「弥生時代」より抜粋)

弥生時代は前8~前4世紀の前期,前4世紀~前1世紀の中期,1世紀から始まり3世紀末まで続く後期に大きく分けられており,それぞれの時代区分に特徴ある土器がある。この区分は土器の特徴から分けられたものであり,九州北部で水田稲作が見られる前10世紀後半から前8世紀は弥牛早期と位置づけられている。

図 6-14 に各時代区分に特徴的な壺を比較して示している。いずれも高さ 35cm 程度のものを選んでいるが、壺 1 は前期を代表する遠賀川式土器と言われるものだ。口縁部はあまり発達せず、ゆるく外反し、肩部に明瞭な段を持っている。胴はよく張り、胴の最大径の高さは器高の 1/2、またはそれよりやや下がる付近にあり、底は大きくしっかりしている。壺 2 のように肩部がやや不明瞭で中期に近い形のものもある。

中期になると、壺3の様に、卵・球形の器体に漏斗状に開いた口縁部を持ち、頸部直下や上腹部に櫛目による文様のあるものや、壺4、5のように卵形の器体に不明瞭な頸部とゆるく外反する口縁部があるもので、文様も頸部に集中して櫛目やヘラによる文様のもの、さらには壺6のように玉ネギ状によく張った器体に平坦な口縁を持ち、頸・胴部に一から四状の突帯を持つものがある。中期は櫛目文が盛んな時期である。

後期には櫛目文土器が九州・東日本に波及した。また、壺7、8の様に、肩の張った器体に比較的長い内傾した頸部をつけ、よく外反した口縁部を持つもので口唇部が肥厚し上方に拡張していて、頸部に竹・貝・木などによる沈線文を口唇部にも沈線文や鋸歯のような三角文様(鋸歯文)をほどこしている。

#### ◆農器具

多様な手段で食料を獲得していたとはいえ、縄文時代の後・晩期(前 2500 年~前 800 年)になると西日本を中心に食料供給の割合は採集・狩猟から農耕へ移っていったことはすでに述べたが、農耕はアワ・ヒエなどの雑穀とイモ類などの焼畑農耕を中心とし、その他にもっぱら天水のみに依存する水田(天水田)などを行なう初期的農耕が行われていたと考えられている。弥生時代早期の在来民は水田稲作にはなじみがないにしても、畑作を中心に農耕を営なむ園耕民である。従って、農機具についてもかなりものを用いていたと考えられる。

玄海灘沿岸の水田稲作民も木製農具を使って耕していた。クワやスコップの様な使い方をするスキ、水田の表面をかきならして平坦にするエブリなどが出土している。また、大量の杭も見つかっている。これら木製農具の加工は石器で行われ、クワの柄は木、刃の部分は加工した石材で作られていたので、在来民が使っていたものと大きな違いがなかった

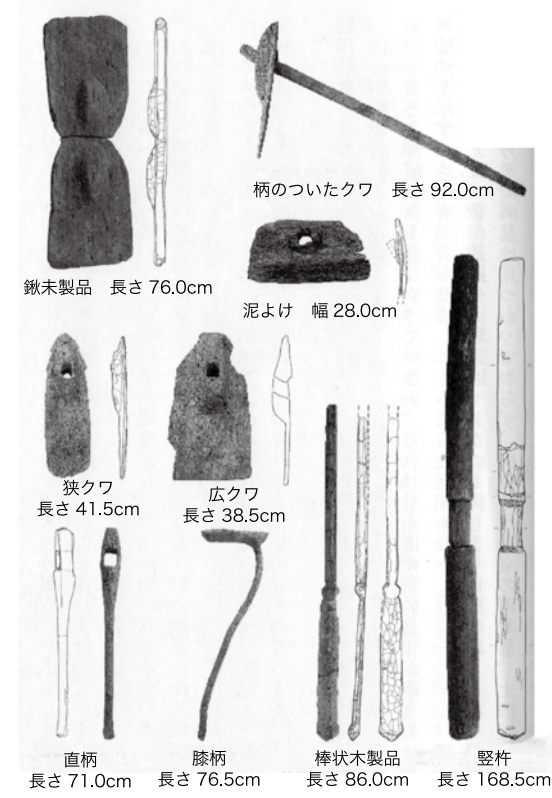


図 6-15 弥生時代(前3世紀)の農具 (仙台市高田B遺跡:藤尾著「弥生時代の歴史」より)

#### かも知れない。

縄文中期の前4世紀以降には仙台地域でも水田稲作が行われるようになるが、その遺跡から図 6-15 のような農具が出土している。西日本の農具と共通しているものも多く、短冊形やバチ型の 打製石スキが出土して水田と畑作が組み合わさった複合的な農耕を行っていたことが推察される。

#### ◆金属器(青銅器,鉄器)

メソポタミア・古代エジプトでは前 3500 年頃,中国の黄河上流では前 3200 年~前 2700 年頃に青銅器時代が始まる。しかし,日本には青銅器と鉄器がほぼ同時期に大陸より持ち込まれたため青銅器時代は存在しない。弥生最古の青銅器は前 8 世紀に九州北部に現れるが,まだ,ごく珍しい特別な存在だったようだ。前 4 世紀中頃になると朝鮮半島製の鏡や青銅器武器が玄海灘地域の有力者の墓の副葬品として納められるようになる。前 4 世紀後半には国産の青銅器も出現するので,この頃には青銅器づくりの技術も日本に伝わったと考えられる。オリエントでは青銅器は利器(武器)として使われていたが,中国を中心とする東アジア世界では祭器や礼器として祭祀に使われていた。弥生青銅器も基本的には祭器であり,青銅武器もあるが武器として使ったのではなく副葬品などとして用いられていたのだ。

日本の最古の鉄器は愛媛県大久保遺跡から発掘された鉄斧で前5世紀に中国東北部の燕で鋳造されたものだ。日本では、鉄器は前4世紀前半から利器として使われていたようだが、クワやスキなどは木製だったし、そのための木の伐採・切断、加工など、ほとんどの作業は石器で行われていた。利器と言っても、小鉄器として木製容器の細部の加工などに限定的に使っていた程度と考えられる。前3世紀には鉄器も日本で作られるようになった。しかし、青銅器も鉄器も国産化したとはいえ、その原料は朝鮮半島からのものだった。日本で鉄鉱石を原料に製鉄が始まるのは6世紀後半、銅鉱石を原料に銅製品が作られるようになるのは7世紀であり、それまでは朝鮮半島南部で産出された鉱石が日本の金属器需要を支えていた。

#### ◆石器・木器・玉

上述したように、この時代は青銅器・鉄器とともに石器も用いられていた(金石併用時代)。この時代の特有な石器としては鋭利な刃を持つ石包丁が多く使われた。石包丁は穂の稲先をつみとる穂首刈りの際に使われた。織物をつむぐ時、はずみ車として用いられていた紡錘車も石器が用いられていた。

容器 (鉢・椀・皿など), 弓などの武器, 舟, 農耕具 (クワ・スキ・馬スキ・キネ・ウス・田下駄・田舟など) などは木製品が用いられていたが, その加工のために利器として金属器を用いることによってこれらの木器が容易に作られるようになった。

この時代には、玉製品(碧玉や硬玉など)、ガラス製の装飾品も作られるようになっていた。

#### 6-9. 弥生時代の社会と衣・食・住

水田稲作は単にコメづくりとしての手段だけではなく、環濠集落を基本とした統合社会そのものを支える生産基盤を担っていた。それは、共同作業を行い、収穫物を分かち合う社会であったが、有力者のもと秩序化された階層社会でもあり、銅剣や鏡などの青銅器を至高の祭器として祭祀を行う社会でもあった。

弥生時代中期以降の遺跡として大規模発掘されたのが佐賀県の吉野ヶ里遺跡である。弥生時代の 階層としては、国の支配者として行政的な運営を担っていた「大人」、一般的な身分の「下戸」、もっ





図 6-16 弥生中期の施設の大規模復元(吉野ヶ里歴史公園)

- (A) 大規模な復元の遠景
- (B) 支配層の居住区「南内郭」の復元の様子

中には王・支配者層の住む竪穴式すまい、煮炊き屋、集会の館、物見櫓などがある。

とも下位の階層の「生口」に分類される。吉野ヶ里歴史公園では当時の施設の大規模な復元を行っている(図 6-16)。

北・南内郭が大人層の居住区と考えられている。そこの居住者達は司祭者的性格を持ち、かつ政治・ 行政を司った者たちであったと推定されている。世俗的な政治支配を担う最高政治権の「王」と王 のもとに政治機構を分担して担う「クニ」が政治を支配していたと推定されている。最高政治権者 の王は祭祀の統括者としての役割も担っていたと考えられる。南内郭の近辺からは青銅器鋳型が発 見されており、青銅器や玉などの祭具の制作や調達を担っていた可能性が考えられる。

北が上位で南が下位という古代中国の考え方に影響を受けていたのか、内郭の南側に一般の人が住む「ムラ」が拡がっている。竪穴式住居3~4棟に対して共同の高床倉庫が1棟ついている。 北内郭や南内郭は壕などで囲まれていたが、ムラの区域を囲むような特別な施設はない。

#### ◆衣

陳寿  $(233 \sim 297 \, \mp)$  によって書かれた、中国の歴史書「三国志」の中の「魏書東夷伝倭人の条」に、次のような描写がある。「男は皆、かぶりものをつけず、木綿で頭をまき、衣は横幅の布をもちいて、ただ結んでいるだけで、ほとんど縫ってはいない。婦人は --- 衣は単衣のように作り、中央に穴をあけて頭を貫いてこれをきる」。

倭人の男が実際に頭に巻いていたのは布ではなく、コウゾなどの樹皮を蒸した繊維だった。衣装は大麻を生地にした貫頭衣だったと考えられている。男性は一枚の横長の布、女性は二つの布を縫い合わせ、長袖と長裾の衣装だったようだ。これは一般の人びと(下戸)の服である。

吉野ヶ里遺跡から何種類もの絹も見つかっているが、これは大人用のものだろう。絹の多くは目が透けていて、下の衣の色・文様や肌が見える上等の透目平絹で、目の詰まったものもあったということだ。しかも、縦糸を茜で、横糸を貝紫で染め分けたものもあったという。

木靴もすでに登場していたが、基本的には裸足であったことが「倭人の条」に書かれている。

#### ◆食

もともと縄文時代から木の実・果物・小動物・魚介類などの狩猟、採集に加えてヒエなどの穀物 や大豆など色々なものを食べていた。弥生時代になって、コメが主食となっても多様な食物を食べ ていたと思われる。物々交換は弥生人から始まった風習であり、コメと魚などの交換を海人と積極







図 6-17 弥生時代の建物(復元)

- (A) 竪穴式住居 (弥生中期: 吉野ヶ里遺跡)
- (B) 祭祀が行われる主祭殿 (弥生中期: 吉野ヶ里遺跡)
- (C) 逆台形屋根の高床式建物と大井戸 (弥生中期:大阪曽根・池上遺跡)

的に行っていたという。

主食の稲を収穫すると土器に入れ、貯蔵庫としての高床式倉庫に収めた。脱穀には木製のキネや ウスが用いられ、コメは土器で煮てかゆとしたり、甑(こしき)で蒸したりして食べた。

「倭人の条」に「生食」と記されているが,これは野菜や魚を生で食べていたことを指す。弥生 人が体内に寄生虫を飼っていたことは発掘調査で明らかにされており、「生食」の記述と一致する。 中国では戦国時代から漢代にかけて広まるとされている箸はまだなく、弥生人は手づかみで食べて いたことが記されている。食物は共用器である高杯に盛られ、各人が小形の高杯(銘々器)にとっ て食べていた。

#### ◆住

弥生時代の建物といえば、竪穴住居、掘立柱建物、高床建物の3つ。竪穴住居は深さ1.5~2.0m の穴を掘り、梯子をつけ、屋根に穴を開けた入口から出入りする(図 6-17(A))。床には炉と屋根 を支えるための柱の穴があり、ワラの筵などを敷いて暮らしていた。葦やヨシなどの茎を葺いて屋 根にした。掘立柱建物は地面を掘り下げずに柱穴を掘って、下端部を穴に埋めて立てた柱で屋根を 支えた建物である。土間を床にする場合と,数 10cm ~ 1m 前後の高さの木の床をつけた建物も ある。

高床式建物は人の背丈を超えるほどの高さの木の床をつけた建物で、上がるための梯子か階段が 備えてある(図 6-17(B))。縄文時代の三内丸山遺跡に見られる高床式建物と比べるとだいぶ進化 しているようだ。倉庫として使用する場合には、とくに強度を増すために多くの柱を用いた。銅鐸 や弥生土器には高床式建物の絵を描いたものがある。屋根が台形のものと逆台形のものがあり逆 台形の場合は棟が大きく張り出すことになるので、さらに支えの柱が必要となる。前 52 年の年輪 年代が出たことで知られる大阪池上・曽根遺跡の祭殿は 22 本の柱と棟持柱からなり、横 19.2m. 縦 6.9m の巨大な建物だった。同建物の南側には直径 2.3m のクスノキをくり抜いた巨大な井戸が 隣接していた(図 6-17(C))。

# 6-10. 弥生時代の農耕生活

#### ◆弥生時代の農耕

弥生時代の農耕技術の高さは、稲の籾痕(もみあと)が弥生式土器で発見されたこと(宮城県枡 形囲貝塚),多くの木製農具が発見されたこと(奈良県唐古遺跡)で示されるが,静岡県登呂遺跡 の発掘調査によって弥生時代の集落・水田の全容が明らかにされている。登呂遺跡は弥生時代後期 にあたる 1 世紀ごろと推定されている。同遺跡から発掘された銅鐸に籾つきや穀物倉の絵が描かれていて当時の農耕生活が窺える。

まだ、灌漑技術は未発達であったため水田稲作とともに人々はそれまで住んでいた小高い丘から 沖積平野の湿潤地に住居を移し、多くの集落が形成されていった。登呂遺跡の場合、沖積地の自然 堤防上に立地する集落址、後背低湿の微高地を利用した水田址、さらに森林址とから成り立っていた。

水田址は集落の南東に接する低湿地に存在し、7万5000余平方メートル(後楽園球場グラウンドの約6.5倍)にわたって広がっていた。木杭、矢板などを並べてつくった畔(あぜ)により区画され、堰(せき)を設けた水路が南北に走っていた。遺跡からは、木製の剣・クワ(鍬)・スキ(鋤)・田下駄、石包丁、ウス(臼)、タテギネ(竪杵)、キヌタ(砧:ワラ打ち用農具)などの農具が見つかっている。人々は水田を鍬・鋤で耕し、じかに種籾をまいていたのだろう。そして、種まき後も田舟や田下駄を使って、水田の雑草取りなどをしたのだろう。稲が実ると、今のように根刈りではなく、穂首をひとつずつ石包丁で刈っていった。手間のかかる仕事ではあったが、同時に品種の選別に役立ったに違いない。

住居址は平地住居で、12軒が完全な形で発掘された。平面形態は小判形を呈し、周囲に羽目(はめ)板で土留めをした土手を巡らしていた。倉庫は住居址群のなかに4本柱のもの2棟が存在した。その形態は、残存していた木材や銅鐸絵画などから、高床式で屋根の形状は切妻(きりづま)造りと推定され、一木造りのハシゴや鼠の侵入を防ぐ鼠返(ねずみがえ)しなどが備え付けられていた。吉野ヶ里遺跡の場合と同様、人々は竪穴住居や平地式住居に住んでいたが、高床式の倉庫に収穫物を土器に入れて貯蔵・保管していた。

また,丸木弓(まるきゆみ:1本の木や竹でできた簡単な弓),鹿角(ろっかく)製釣針などの狩猟・漁労具や丸木舟(丸太をくりぬいた船)なども発見されている。農耕と同時に獲物を求めて山や海に出かけていたに違いない。

# ◆社会の分化

前述したように、農産物の貯蔵が行われるようになると富の蓄積が始まり、蓄積の多少から貧富の差が生まれる。指輪形・腕輪形銅製品などの装飾品などが発見され、社会の階層化に伴う貧富の差はさらに進み、次第に固定されていったに違いない。弥生中期の墳墓の共同墓地の一隅に大陸からの舶載品を主とする豊富な副葬品とともに死者が手厚く埋葬された墓が発見され、集落の支配者の成立を示している。

社会も拡大してゆく流れにある。水田が湿潤地以外にも拡がってゆくに従い、多くの労働力を必要とする水利施設の建設などが行われる。新たに生まれた水田は開拓に従事した労働力集団の支配下に置かれることになり、一種の共同体ができあがる。共同体の首長は効率的な生産に向けて自らの権限を集中してゆく。そして、家族集団もこの共同体との関わりのもとに存在するようになる。また、開発が進んで集落や水田が広がってゆくと、同一水源を利用する他集団との接触や利害の対立などが起こる。社会が進化すると様々な局面で調整の必要が生じ、その調整の過程で集団の間に上下関係が作られ、上位の集団の指導者に一層多くの権限が集中し、しだいに支配者としての性格を身につけてゆく。こうして部落國家が形成されてゆくのだ。

#### ◆宗教と風俗

農耕生活が深化してゆくと天候の変化はその年の豊作・凶作につながって今まで以上に大きな意味を持つようになる。太陽・雨・風・河川などに精霊を認めるアミニズムは一層深まり、それらを

神として祭り、崇め、怒りを和らげて豊作を願って祈るようになり、自然神への信仰が生まれる。 新春や種まき、収穫のときなどに部落の族長を中心に人々が総出で豊穣を祈願し、感謝する祭礼が 行われるようになった。今でも行われている新嘗祭などはこの時代の農耕儀礼がその始まりと考え られる。

ギリシア神話などに見られる西欧の神は、"美の神"、"運命の神"、"戦争の神"、"英知の神"、 そして"酒の神"のように属性が明確であるが、日本における神は自然神であり、人々は自然に抱 きかかえられ、自然の中に生きてゆくという意識の中で生活していた。この特徴は現代にもつなが る日本人の特徴の一つである。自然と対立して自己を意識しない優しさがあると同時に、客観的に 自己を意識する厳しさに欠ける傾向にある。

集落は縄文時代の延長で,同族的つながりが深かった。人々は神の意志に従って農事などの行事 を決めていたので、神の意志を聞き、人々にそれを伝えるものとしての司祭者の地位が強まってゆ き、巫女が神託を聞くというシャーマニズムが広く行われるようになった。司祭者は族長が兼ね、 その地位は世襲され、族長は単に政治的・経済的権威者であるだけではなく宗教的な権威も身に付 け、支配者としての地位を高めていった。

銅鐸・銅剣・銅矛が各地で発見され、しかも銅鐸が丘陵の斜面から単独で発見されることから農 耕儀礼に基づく祭祀が広く行われていたことが推測される。

登呂遺跡からは建築用材、織機、五弦琴、土器などの日常生活をかいまみるような貴重な遺物も 多数出土している。

#### 6-11. 弥生時代の酒造り

コメを原料とした中国の黄酒、朝鮮のマッコリ、日本酒はいずれもコウジを用いた照葉樹林文化 の流れを汲むものである。しかし、同時に、日本の酒造りの特徴は、①原料はウルチ米、②蒸し米 のひと粒ひと粒に麹菌を生やすバラ麹 ③米デンプンを糖化するためのカビは黄麹菌(Aspergillus oryzae) であり, 粉末にした麦などを生のまま固めて表面にクモノスカビ (Rhizopus) やケカビ (Mucor) を生やしたモチ麹(麦麹)を用いる中国の黄酒や朝鮮(韓国)のマッコリとは大きな違いがある。

弥生時代に中国の影響を強く受けた水田稲作を基とする農耕文化が朝鮮半島から日本列島に伝播 されたとしても、穀物を原料とした日本酒造りの原型はそれ以前にあっただろうというのが筆者の 基本的立場である。そうでなければ,黄酒やマッコリと同じように日本酒もクモノスカビやケカビ を用いた麦麹の酒でないと不自然でないだろうか。

前回に述べたように、日本列島においては縄文の草創期からヒエの栽培をしていたことを考えれ ば、まず、ヒエを原料として黄麹菌のバラ麹を用いたヒエ酒造りをしていたのではないだろうか。 そして、大陸からアワ・キビ・イネが入ってきた縄文後期からは工程を大きく変えることなく雑穀 酒を造り、水田稲作によるコメ作りが社会の生産基盤となるにつれてコメを原料とした日本酒造り が行われるようになったのだろう。もちろん、弥生時代以降の大陸からの渡来人は優れた酒造りの 技術や知識を備えていたことから,初期の日本酒造りに改良を加えてその品質向上に大きく寄与し たことは疑いない。

照葉樹林とは常緑の広葉樹が主体の森林であり、温暖で夏に雨の多く降る地域に成立して、ヒマ ラヤ山地から中国南部、台湾、沖縄を経て、日本列島の南西部に至る東アジアの温暖帯に分布する。 中尾佐助氏はコウジ(カビ利用)による穀物原料の酒造りは照葉樹林文化の代表であると指摘され ておられる。そして、照葉樹林地帯における雑穀の共通分母的役割を果たしたのがシコクビエであ り、シコクビエによるコウジ造りが酒造りの始めであろうと推定されておられる。

シコクビエとヒエとは同じイネ科ではあるが、異なる属の植物であり、外観も異なるし、シコクビエは主に粉食で食べられ、ヒエは粒食で食べられる。加熱した穀粒にカビが生えれば"バラ麹"であり、カビは日本列島になじみの深い黄麹菌である。照葉樹林文化の代表であるコウジ(カビ利用)による穀物原料の酒造りが日本列島での酒造りにきっかけを与えたとしても、ヒエを加熱粒食していた日本列島ではバラ麹のヒエ酒を造ったとしても不思議ではないだろう。

前にも述べたように、効率的な生産方式である水田稲作とその文化は日本列島にすぐには拡まってゆかなかった。まず、玄海灘沿岸で200年の間とどまっていた。その後、徐々に拡大してゆき、東北・関東地方に拡まるには400年~500年を要している。これは一方的な武力制圧による拡大ではなく、それまでの13000年の間培った縄文文化との融合による拡大だったことを意味しているのではないだろうか。水田稲作とその文化が東日本に拡大してゆく過程で、水稲の酒は「日本の酒」として定着していったに違いない。

政治的意図を持った武力を背景とした拡大であれば、もっと迅速に拡まる例はローマ帝国の英雄カエサルのガリア遠征に見られる。当時、ヨーロッパ西部のガリア地域(フランス・ベルギーとドイツ・オランダ・スイスの一部)はケルト民族に支配されていた。彼らはビールを愛飲していた。カエサルはガリア地域をローマ化するため、前58年から前51年まで8回の遠征を行った(図6-18)。協力する部族を優遇し、敵対する部族を制圧することを繰り返した結果、きわめて短期間にガリア地域はローマ化され、ローマ文化の影響を受けてガリーはワインを愛飲するようになった。世界の歴史を見ても、多くの場合、武力を通しての制圧であり、その結果の制圧地域への文化の浸

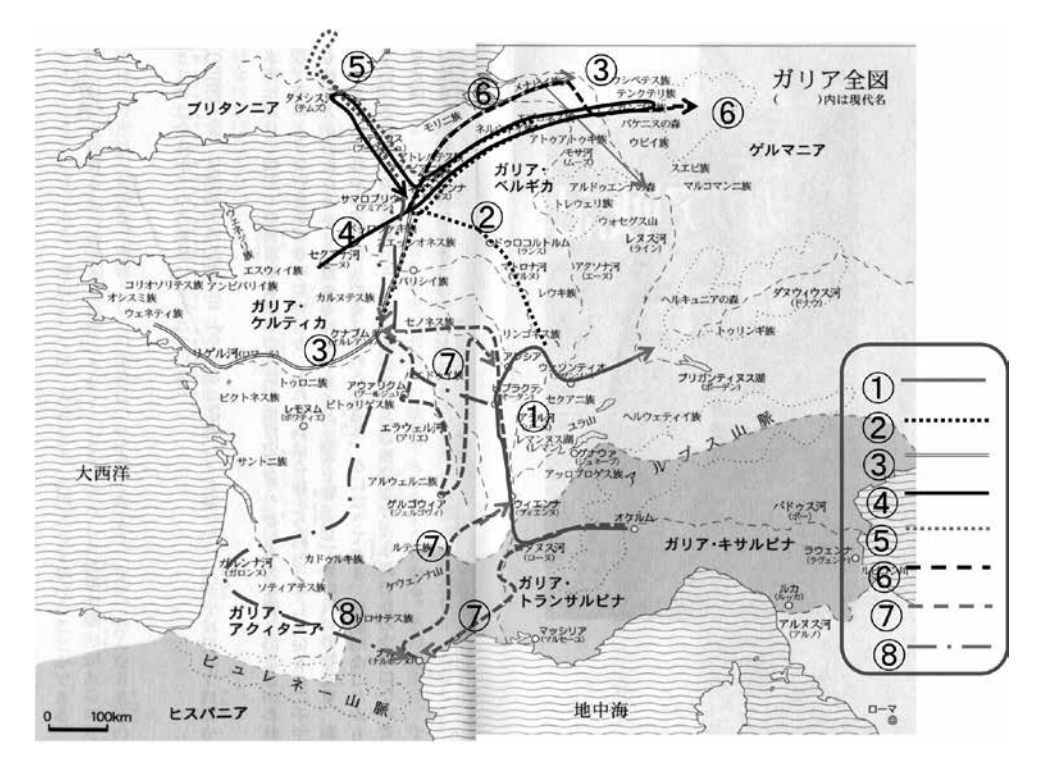


図 6-18 カエサルの遠征経路

カエサルは南仏のガリア・トランサルピナを拠点として遠征を繰り返し、反抗するゲルマンをライン川以北に追いやり、ガリア地域を短期間にローマ化した。なお、この図は「酒たちの来た道⑤」でも用いた。(「ガリア戦記」に遠征経路を書き入れた)

透である。弥生文化の日本列島への浸透ぶりは特異な例なのだろう。

想像をたくましてさらに述べることを許して戴けるなら、水田稲作を生産基盤とする弥生社会は 物質中心の効率的な組織運営の出発点でありその先に現代がある。社会の有りようを縄文社会から 現代に向けて大きく舵をきったターニングポイントは水田稲作の伝来に始まって日本列島への拡散 が終わるまでの前10世紀後半から前3世紀の間だろう。この間、ゆっくりと弥生文化が浸透して いった結果、それまで育まれた縄文文化と融合して日本列島ならではの新しい社会の形ができあが り、そのことは現代の日本社会の有りように少なからず影響しているのではないだろうか。そして、 その一つの例が日本酒造りであったのではないだろうか。

### ◆弥生人の飲酒の様子

「三国志」の「魏志倭人伝」に3世紀前半の日本の政治・産物・風習が記述されているが、その中に「倭 国の酒」を伝える箇所が2箇所ある。一つは葬儀の習俗としての飲酒場面について述べており、「亡 くなると 10 日ほど喪にふくす。肉を食べず,喪主は哭泣し,他人はそばで歌舞飲酒する」とある。 もう一つは「その宴会は父子や男女の区別なく集まり、みな酒を好む傾向にある」ということであり、 弥生の後期にこれほどまでに酒が日常に位置づけられているのだ。水稲の酒の普及に伴って,縄文 中期以降の液果酒・木の実の酒・口かみ酒、縄文後期の雑穀酒は急速に脱落していったものと思わ れる。

### ◆記紀に見る神話時代の酒

日本の歴史についての最古の記述書は日本書紀であり、古事記である。いずれも奈良時代に書か れたものだ。日本書紀は 720 年舎人親王による最古の勅撰の正史であるし、古事記も稗田阿礼と 太安万侶が天武天皇(位:673-686)と元明天皇(位:707-715)の勅によって編纂したものであ ることから両書とも朝廷を中心とした稲作農耕民の世界観に貫かれている。そして、古代人はみ ずからの拠り所を神話に託した。それは高天原神話・出雲神話・筑紫神話の3つに分けられるが、 日本書紀や古事記に述べられた神話は天皇を中心とした物語にまとめ直されたに違いない。しかし、

表 6-4		4 日本書記に登	
	1	八塩折りの酒	やしおおりのる

1	八塩折りの酒	やしおおりのさけ	巻第 1	神代上 第8段(本文)
2	八甕酒	やはらのさけ	巻第 1	神代上 第8段(一書第2)
3	毒酒	あしきさけ	巻第 1	神代上 第8段(一書第3)
4	酒	さけ	巻第 1	神代上 第8段(本文)
5	酒	おおみき・みき	巻第 8	仲哀天皇 2年(340)6月10日 ほか
6	天甜酒	あまのたむざけ	巻第 2	神代下 第9段(一書第3)
7	神酒	みわ・みき	巻第 5	崇神天皇 8年(291) 12月20日
8	味酒	うまさけ	巻第 5	崇神天皇 8年(291) 12月20日
9	醇酒	からきさけ	巻第 7	景行天皇 12年 (318) 12月5日
10	御酒	みき	巻第 9	神功天皇 摂政 13年2月17日
11	神酒	くし	巻第 9	神功皇后 摂政 13年2月17日
12	醴酒	こざけ	巻第 10	応神天皇 19年(387) 10月1日
13	水酒	みづさけ	巻第 11	仁徳天皇 62年5月
14	旨酒	うまざけ	巻第 15	顕宗天皇即位前紀 2年 (485?) 11月

同時に両書から古代の酒造りについての知見が得られるのも事実だろう。

神話によると、男神イザナギノミコトと女神イザナミノミコトが結婚して日本の国土を生み、イザナミノミコトの死後、イザナギノミコトは太陽神で女神である天照大神を生み、高天原を治めさせた。天照大神は孫のニニギノミコトに命じ、日向の高千穂に天降らせ、その3代後のカムヤマトイワレヒコノミコトは東征の軍を起こし、紀元前660年に大和の橿原神宮で初めて天皇の位についた。これが第1代の神武天皇であるという。しかし、現在、史実などから実在の天皇は紀元後300年ごろに大和朝廷を成立させた第10代の崇神天皇からだろうと考えられている。

こう考えると、弥生時代は記紀の中では神話や物語に相当する時代であり、神話の中で酒づくりがどう記述されているかは弥生時代の酒を知る上で大変興味深いことになる。加藤百一氏は日本書紀に登場する酒に関係深い語を詳細にまとめられておられる。それによれば、酒の種類に関しては表 6-4 に記載した 14 種類の語だという。そのうち、"神代の時代"に相当する弥生時代に登場する酒は「八塩折りの酒」、「八甕酒」、「毒酒」、「酒」、「天甜酒」の 5 種類であり、残りは次時代の古墳国家以降に登場する。

水田稲作に伴って社会の秩序化・階層化が進むと祭祀の執り行いも複雑で権威化されていったのだろう。神に捧げる酒も特別なものとして造られたに違いなく,「天甜酒(あまのたむざけ)」はそのよい例である。

日本書紀(神代の部)の日向神話の中で「(狭名田の) 田の稲を以て, 天甜酒を醸(か) みて嘗(にいなえ)す」と語られている。「天甜酒」とは「天の美酒」ということである。また, 「狭名田」は神稲をつくるために占いで決めた田であるとのことだ。神様へのお供えのための酒造りの田は通常の食飯用の田と分けられていた。狭名田で作られた稲は酒だけでなく, お供え用の飯にも使われていただろう。

記紀, 風土記, 万葉集などでは, 酒をつくることをカム・カミといい, 「醸」の字をあてている。カムということから, 「噛む」と解釈して天甜酒を口かみ酒と解する人がいるがこれは間違いと考えられている。カム・カミ(ス)はカビなどに由来しており、穀物麹と深い関わりがある。

嘗(にいなえ)は新穀を意味する二イとアエ(饗)からの約言である。新嘗は、その年の狭名田で収穫した新穀でつくった御食(みけ)と神酒(みき)とを神前にお供えした後、神様と共食共飲する祭りで、農耕儀礼のうちで最も重要視されている。この神祭は今でも宮中で行われており、新嘗祭のしきたりを守って天皇によって行われており、「勤労感謝の日」として国民の祝日になっている。

米を原料としてカムタチ(米麹)を利用して造られた天甜酒は、麹による糖化や野生酵母による発酵が充分に進んでいたとは思われないので、おそらく今日の甘酒のように甘味を残し、酸味の強い濁酒様の酒であったと考えられている。

日本書紀や古事記の出雲神話「八岐の大蛇」に「八塩折りの酒」が記されている。「八」は「たくさん」を意味する数である。「塩」は熟成もろみを搾った汁のことであり、「折り」は幾度も折り返すことを意味している。したがって、「八塩折りの酒」とは、何度も何度も繰り返して造った酒のことであり、現在、「重醸酒」と呼ばれている酒を指している。この酒は、発酵を終えたもろみを搾って粕を捨て、酒の中へ米麹と蒸し米や固がゆを仕込む。このもろみが発酵すると濾別し、また、酒の中へ米麹と蒸し米や固がゆを仕込む。この工程を繰り返すことによって天甜酒よりはるかに濃い酒をつくることができる。人に仇なす大蛇は畏れ多い神として恐れられていたので手を多く加えた酒で饗応しようとしたのだろうが、八塩之酒は弥生時代にはまだ造られていなかっただろう。記紀の編集者がおそらく想像して出雲神話の中に組み入れたものと考えられる。

日本書紀(神代紀)の出雲神話の大蛇退治に「八甕酒」が登場し、「衆菓(あまたこのみ)を以て、酒八甕を醸め」と語られている。「衆菓」は米ではなく液果類か果実類のことであり、「八甕」とは大甕のことである。「八甕酒」は液果類か果実類を原料とした醸造酒に違いない。縄文中期から縄文人は山ブドウなどの醸造酒を楽しんでいたという指摘もあるが、それに符合する記録である。

同じく、日本書紀(神代紀)・出雲神話に、大蛇を退治するために「毒酒(あしきさけ)を醸みて飲ましむ」とある。この場合の「悪酒」とは「毒入りの酒」ではなく、多分、「できの悪い酒」のことだろう。さきの「八塩折之酒」の場合や「八甕酒」も、大蛇をもてなすというより酔い潰してやろうという意図が見え隠れする。大蛇に対する嫌悪の情は奈良時代になって記紀編纂にあたった者の思いがが込められているが、おそらく縄文・弥生時代には、ひたすら畏れ多いものとして畏敬の念にとらわれていたであろう。

# 参考文献

- 1. 浅野典夫:世界史(前近代)(㈱学研教育出版,2012年)
- 2. 五味文彦・鳥海靖(編): 山川日本史 (㈱山川出版社,2009年)
- 3. 藤井慎一郎: 弥生時代の歴史 (講談社現代新書, 2015年)
- 4. 和島誠一(編):日本の考古学3「弥生時代」(河出書房新社,1985年)
- 5. 加藤百一: 日本の酒 5000 年 (技報堂出版, 1987 年)
- 6. 坂口謹一郎(監),加藤辯三郎(編):日本の酒の歴史(研成社,昭和52年)
- 7. 中尾佐助:栽培植物と農耕の起源 (岩波書店, 1966年)
- 8. 福永武彦(訳):現代語訳日本書紀(河出文庫, 2005年)
- 9. 福永武彦(訳):現代語訳古事記(河出文庫, 2003年)
- 10. 加藤百一: 「日本書紀」に現れた酒(1), 日本醸造協会誌 103(5): 337-347, 2008.
- 11. ユリウス・カエサル (中倉玄喜訳・解説): ガリア戦記 (上,下) (㈱ PHP 研究所, 2013 年)

# 第3章 アドベンチストの長寿(他の人との比較)

ゲーリー E. フレーザー (Garv E.Fraser) \*1 訳: 山路 明俊 (Akitoshi Yamaji) \*2

私達にとって寿命は、最も重要な関心事の一つである。しかし、これは、死を目前にしたほんの短い時間を除いて、良好な生活の質(QOL)と個人の健康が伴うことが必要であると多くの人が認めている。ベジタリアンは、他者より長生きであり、また、恐らく、良質な QOL を有していると見られる。

より厳密な QOL の証明は、今後の研究を待たねばならないが、これまでの経験に基づいた予測では可能である。非ベジタリアンに多く見られる死亡原因のいくつかは、死亡前の長期間の疾病をまねくものと同一の障害である。事実、ベジタリアンのアドベンチストは投薬が少なく、非ベジタリアンに比べ、入院して外科的治療、放射線治療を受けることは少ないようである。加えて、良好な QOL のエビデンスが、大学の卒業生で 1741 名の高齢の非アドベンチストの長期にわたる研究から得られ、健康的な習慣を持つ人は長生きで、これらの人の身体障害は遅くなり、終末期もより短いとの結論が得られている。

以下に示される情報は、アドベンチストは恐らく最も長生きの集団であるとすでに公に述べられている。長寿に加えて他者と比べ、アドベンチストの死因を考察することは有益で、異なる年齢群の寿命の比較調査、長生きしたアドベンチストの性別比や寿命の時間的な傾向を調べることである。



# アドベンチストと他者の寿命

アドベンチストが他の人より長生きであるという事実を支持するエビデンスを検証してみる。全ての計算は最新の生命表の方法を用いる。その方法は、「人工的な生存」集団を規定するが、、それらは若年齢から老年そして死までを通過するので、限定された研究期間中、異なる年齢群の実際の死亡率は人口集団と同一の場合に観察される。同じ方法で調べられた他の集団のデータと比較する目的がある場合、この方法は、現在、観察される死亡率の生涯の影響を要約する有用な手段である。この様な生命表から派生する一つの数値は、死亡時の予測平均年齢か寿命である。また、生命表は、生存曲線を作ることを可能にし、特別な年齢まで生き残ることを予測する集団の比率を示している。

寿命は、オランダとノルウェーのアドベンチスト研究から計算され、同時に国際的な実績と比較される。オランダでは、アドベンチストはすでに 26.8 歳の年齢まで生存している(アドベンチスト教会に参加した研究グループの平均年齢)での、死亡時の予測平均年齢は、男性で 79.1 歳、女性で 79.3 歳である。(Berkel and Waard 1983) これらは、同時期(1968 年~1977年)のドイツの男性の予測年齢より 8.9 歳、女性で 3.6 歳長い。ノルウェーでは、アドベンチストの死亡予測年齢は、男性で 76.4 歳、女性で 79.7 歳で、他のノルウェー人より、それ

<sup>\*&</sup>lt;sup>1</sup> ロマリンダ大学メディカルセンター教授 , \*<sup>2</sup> ニュートリション・アイ

ぞれ、3歳、0.7歳 (p<0.001) 長い。解析を19 歳以前に教会に加わり、その後、アドベンチス トのライフスタイルの利点を十分に取りいれた ノルウェー人のアドベンチストに限定したとす ると、アドベンチストの寿命は、男女共、5.2 歳長くなる。

アドベンチスト死亡率研究 (AMS) に登録

された、47000人のカリフォル ニアのアドベンチストと他のカ リフォルニア人との生存比較が, アドベンチスト死亡率研究統計 (1960年~1962年) とカリフォル ニア州生命表 (1959年~1961年) を利用して実施された。35歳まで 生存した人は, 死亡予測平均年齢 は、アドベンチスト男性で77.4歳、 女性で80.1歳で、他のカリフォリ ニア人より、それぞれ、6.2歳と3.7 歳長い。65歳の時点でも、アドベ ンチストの寿命は、男性で3.2歳、 女性で 1.9 歳長い。

アドベンチストの研究グループ 中の健康的なボランテイア効果が 他のカリフォルニア人との比較を 歪めることはあり得る。カリフォ ルニア州統計の中で代表される慢 性疾患の人は、AMS 等の研究プ ログラムには参加しない傾向があ る。このことは、恐らく、初期の フォローアップ期間中の研究グ ループの計算上の死亡率を不適当 に低下させる。しかし、フォロー アップ期間中, アドベンチスト研 究に登録された被験者のある割合 は慢性疾患を患うことになり,登 録を選択しなかったアドベンチス トのある割合は、慢性疾患のため、 死亡するだろう。従って, 研究集 団とアドベンチスト集団は、慢性 疾患の患者率に関しては,益々同 様なものになってくる。さらに,

公平な比較を妨げているバイアスは、 最終的に 消滅する。アドベンチストの被験者が研究に参 加し、死亡率統計が最初に使用された時、1958 年から2年遅れたことが、健康的なボランティ アバイアスが消滅するに十分であったかどうか は明らかでない。しかし、その後のアドベンチ スト健康調査(AHS)データによると、このこ

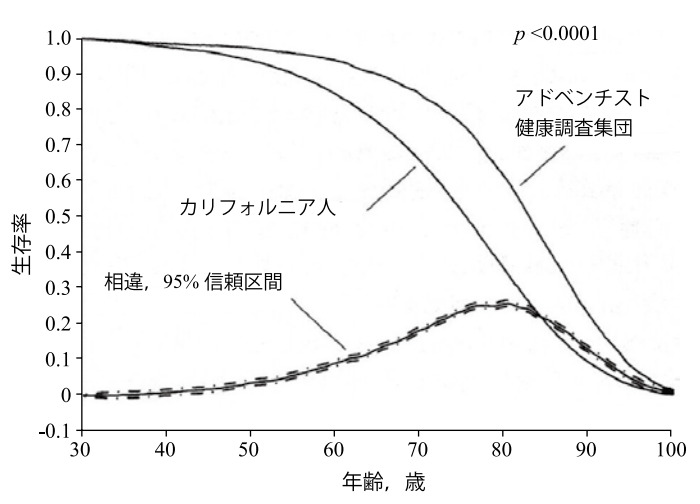


図 4-1 カリフォルニア人とアドベンチスト健康調査集団の生存曲 線(男性)

出典: Fraser GE, Shavhik DJの Ten years of lifeyより許諾得て改変。Is it a matter of choice? Arch Int Med 161:1645-1652,2001, American Medical Association

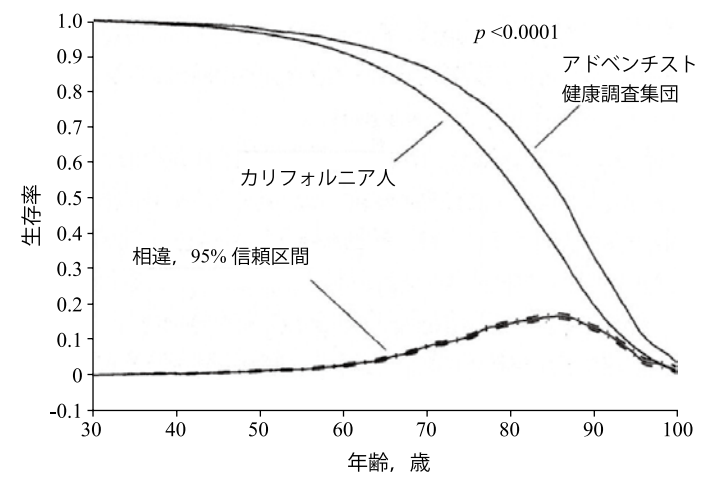


図 4-2 カリフォルニア人とアドベンチスト健康調査集団の生存曲 線(女性)

出典: Fraser GE, Shavhik DJの Ten years of lifeyより許諾得て改変。Is it a matter of choice? Arch Int Med 161:1645-1652,2001, American Medical Association

とは、殆どの問題に対処すべきとしている。

また、われわれは、最近のアドベンチスト健 康調査コホートと他のカリフォルニア人の生存 データを比較してみた。特に明記しない限り, ここで示されるアドベンチストと非アドベン チストの分析はすでに、30歳まで生存した人 を対象にしている。従って、幼児、児童、若年 の成人の死亡率は除外されている。他の多くの コホートを含めた, アドベンチスト健康調査の 集団に包含されるデータの利点は、年齢には上 限がなく, 死亡は, 最も高齢な人に見られる。 1980年と1988年の間に、男性で1657名、女 性で 2808 名の死亡があり、その中で、90 歳を 超えたのは,男性で17%,女性で24%であった。 図 4-1 と 4-2 の生存曲線は、明らかにアドベン チストの男性、女性共にどの年代においても、 より高い生存率とそれに伴うより長い寿命を示 している。アドベンチストの死亡時予測平均年 齢は、男性で81.2歳、女性で83.9歳で、カリ フォルニア人は、それぞれ、73.9歳、79.5歳で ある。従って、男性で 7.28 歳 (95% 信頼区間、 6.59~7.97), 女性で4.42歳(95%信頼区間,3.96 ~ 4.88) の違いがある。

アドベンチスト男性は、平均して、非アドベンチストカリフォルニア女性より長生きで、生存率は、生涯を通じて、非アドベンチスト女性を超えている。(図 4-1,4-2 参照) アドベンチスト男性(95% 信頼区間、82.39~84.25) と女性(95% 信頼区間、84.89~96.42) の死亡予測年齢は、83.3 歳と85.7 歳であるが、非アドベンチストとの差が、9.5 歳と6.1 歳ある。

健常者被験者バイアスは、これらの分析では 再度、起こり得る。アドベンチストのフォロー アップの3年間で年齢標準化死亡率比は、徐々 に増加したことがすでに確認されているが、こ れは、健常者被験者効果と結論付けられる。し かし、この期間を除いては上向きの傾向は消失 している。従って、アドベンチスト健康調査か らの死亡率統計を利用した最近の生命表の比較 は、フォローアップの4年~12年(1980-1988) のデータのみで、1985年のカリフォルニアの 非ヒスパニック系白人の死亡率(ヘルス統計センター、1999年)との比較である。

これらの結果をより広い視点で見るために、表 4.1 は全てのアドベンチストとベジタリアン・アドベンチストの結果を示していて、以前、報告された国の平均余命は、同じ暦年か少し後の期間に関連する結果となっている。この表では、結果は、誕生時の平均余命である。見てわかるように、平均余命はアドベンチストで大きく、特に男性がそうである。アドベンチスト・ベジタリアンは、最も長い長寿を示していて(表 4.3 参照)、他の集団よりかなり超えている。



# 異なる年齢における寿命差

ある集団が長生きだった場合、全ての年齢で 寿命が長いかどうかの疑問が湧いてくるかも知 れない。もうひとつの疑問は、通常見られる男 女差は、低リスクの集団でも見られるのかどう かである。

アドベンチストのさらなる寿命の延長は、予測ができるが、ベースライン年齢の増加と共に無くなり、慢性疾患に関し、より若い人や中年の人は、アドベンチストであることの有益な利点があると公言できる。これは前章で示唆されていることと一致している。アドベンチストを他のカリフォルニア人と比較した場合、特定の年齢にすでに達している人での予測寿命(余命)は表 4.2 でみることができる。

最も高齢のグループ (85 歳以上) の死亡率 についての関心は大きく,不均衡な医療費を 費やし,急速に増加しているグループである。 (vanWeel and Michels,1997 年) 表 4.2 の結果は, すでに高齢に達している人々が含まれている。 85 歳でも,アドベンチストはわずかであるが, 有意な生存率を示している。 (男性でp<0.001, 女性でp<0.001)

これらの比較をするもう一つの方法は,アドベンチストと他の集団を比較することで,62歳か85歳に達した比率と65歳から85歳まで

国(年)	誕生時	65 歳時	誕生時	65 歳時
オーストラリア (1990)	73.9	15.2	80	19
カナダ (1985-1987)	73	14.9	79.7	19.1
デンマーク (1989-1990)	72	14.1	77.7	17.9
フィンランド (1989)	70.9	13.8	78.9	17.7
アイスランド (1989-1990)	75.7	16.1	80.3	19.3
日本 (1990)	75.9	16.2	81.8	19.9
ニュージーランド (1987-1989)	71.6	14.1	77.6	17.8
ノルウエー (1990)	73.4	14.6	79.8	18.6
英国 (1985-1987)	71.9	13.4	77.6	17.3
米国 (1990)	73	14.9	79.7	19.1
カリフォルニア・アドベンチスト (1980-1988)ª	78.5	19.1	82.3	21.6
ベジタリアン カリフォルニア・アドベンチスト (1980-1988) <sup>a</sup>	80.2	20.3	84.8	22.6

表 4.1 誕生時と 65 歳時の予想寿命(年齢): カリフォルニア・アドベンチストと国との比較

表 4.2 異なる年齢での平均余命 (95% 信頼区間): カリフォルニアアドベンチスト(1980年 - 1988年)と他のカリフォルニア人(1985年)

年齢		男性	女性				
一一本	アドベンチスト	他のカリフォルニア人	差	アドベンチスト	他のカリフォルニア人	差	
30	51.15	43.87	7.28	53.94	49.52	4.42	
40	41.78	34.78	7	44.12	30.93	4.19	
50	32.25	25.96	6.29	34.72	30.71	4.01	
60	23.22	18.15	5.07	25.89	22.21	3.68	
70	15.14	11.71	3.43	17.52	14.81	2.71	
80	8.61	7.2	1.41	10.12	8.79	1.33	
85	6.36	5.69	0.67	7.44	6.51	0.93	
90	4.69	4.53	0.16	5.35	5.02	0.33	
95	3.46	3.42	0.04	3.97	3.96	0.01	
100	2.06	2.74	-0.68	2.25	3.06	-0.81	

出典:アドベンチストのデータは、アドベンチスト健康調査から。カリフォルニアのデータは、ヘルス統計センターから。 カリフォルニアの死亡は 1985 年で、サクラメントの健康サービス機関 (1999 年)

表 4.3 65 歳と 85 歳まで生存した人と, 65 歳から 85 歳までの人の比率

国別	男性%			女性%			
四加	65 歳まで	85 歳まで	65 歳~85 歳	65 歳まで	85 歳まで	65 歳~85 歳	
オーストラリア	74.7	17.6	23.6	86.4	38.4	44.5	
カナダ	75.1	19.6	26.1	86.3	40	46.3	
ドイツ	73.4	14.2	19.3	85.8	31.7	36.9	
ハンガリー	60.9	8.2	13.4	79.3	21	26.5	
日本	80.8	23.6	29.2	89.5	41.1	45	
スウェーデン	78.7	20.4	25.9	88.4	39.8	45	
イギリス	75	14.5	19.3	84.6	32.7	38.6	
米国	72	19.5	27.1	84.1	39.3	46.7	
カリフォルニア アドベンチスト	86.7	41	47.2	89.3	54.4	60.9	
カリフォルニア アドベンチストベジタリアン	89.2	48.6	54.4	94.1	60.1	64.6	

a: 0~29 歳の死亡率ハザードはカリフォルニア州からのである。これらの年齢では、アドベンチストでは得られないため。 出典:Graser GE, Shavlik DJ の許可を得て改変。Ten years of life:is it a matter of choice? Arch Int Med 161:1645-1652,2001.

達した比率を比較することである。(表 4-3 参照) これらの年齢に達したアドベンチストは非常に多く、特にベジタリアンに見られる。例えば、米国の男性で 85 歳に達するのは 19.5% で、アドベンチストのベジタリアン男性では 48.6% に及ぶ。米国女性については、39.35 で、ベジタリアンアドベンチスト女性は 60.1% である。65 歳に達した日本の女性のみがアドベンチスト女性に似通っているが、その後の 20 年以降は、健康度は劣っている。ベジタリアンアドベンチストの結果は、すでに示されてきたことであるが、恐らく、最も長寿の集団であることを形成している。

高齢者の死亡率は、女性より男性の方がかなり高いことは良く知られている。米国は、85-89歳では29.6%で、95-99歳では21.3%が男性ということに影響している。(1990年のデータ)アドベンチストと他のカリフォルニア人との比較で、各年齢層での人口中の男性%が表4-4に示されている。

見ての通り、非ラテン系で非アドベンチスト・カリフォルニア白人中で男性の割合は、米国全体よりも少し高いが、カリフォルニアのアドベンチストの高齢者の集団は、他のカリフォルニア人よりも、20~25%確実に高い傾向を示している。

非アドベンチストの集団と比較すると,アドベンチスト男性の余命は,アドベンチスト女性 を超えているということが推定される。別の言い方をすると,非アドベンチストの死亡時平均 推定年齢の男女差は、非ラテン系カリフォルニア白人は 5.65 歳で、アドベンチストは、わずか 2.79 歳である。アドベンチストの夫婦は、より長い人生を共に過ごすことが望めるのである。



## 死亡率の短縮

寿命延長が死亡率の短縮になるか. ならない かについて、人口統計学者間で, 現在も討議が 続いている。これは何を意味しているのだろう か。たとえ、人が最も有益な健康習慣を定期的 に実施しているか, 有害な環境暴露が最小限と しても, 超えることのない遺伝的な限界年齢, つまり、個人の生命をiとしたQiが存在した 場合には、死亡率は短縮できる。この上限は、 時折、寿命と称される。もし、これが正しいモ デルとするならば、健康習慣を改善することで 成し遂げられる集団にとってのより長い平均余 命は、個人の上限年齢に近いところまで生きて いる集団でのもっと高い割合を占めることにな り、これらのリミットが近づくに従い、死亡率 は高くなる。従って, 平均生存曲線は, 最上部 の端のところで二乗となり、死亡率は圧縮され ると言えることになる。極端な一部の人は、理 想的なことを考え、短縮された状態は、Qi年 齢までゼロの死亡率であり、その後、全ての人 は突然死を経験することになる。しかし、もし、 殆どの人が死亡時に、Qi年齢に近づいていな いとすると、全ての年齢の人々は、生活習慣の

表 4-4 各年齢層での予想男性人口%: アドベンチスト (1980-1988) と非ラテン系のカリフォルニア白人 (1985)<sup>a</sup>

左松 (塩)							
年齢(歳)	アドベンチスト	他のカリフォリニア人	アドベンチスト/非ラテン系白人比				
30	0.5	0.5	1				
50	0.5	0.49	1.02				
70	0.49	0.46	1.06				
80	0.47	0.39	1.2				
90	0.4	0.32	1.25				
100	0.31	0.25	0.24				

<sup>&</sup>lt;sup>a</sup>この分析は30歳の時点で、男女共、同数で開始している。

改善と、より少ない危険な環境暴露から恩恵を 受けることになる。そうであるならば、平均余 命の増加は、最高齢の段階で生存曲線を一団と することにはならない。そうして、死亡率の短 縮は殆どないか全くない。

アドベンチスト集団、特にベジタリアンは、 他よりも長生きで、曲線は二乗であり、また、 高齢者の余命は延伸するので、 曲線形は変化し ないのだろうか。生存曲線形は、経済学的に、 統計学で言われるエントロピー関数で表され る。曲線が完全に二乗とすると,ゼロ値になり, 負の指数関数的な形をした生存曲線の場合は, 1.0 となる。それは、死亡率の力が一定(全年 齢で同じ)の場合、全く正反対を示している。 アドベンチストとカリフォルニア男性のエン トロピー値は、それぞれ、0.187と 0.259 であ る。(p<.025) アドベンチストとカリフォルニ ア女性の値は、それぞれ、0.176と 0.214 である。 (p=.001) 従って、アドベンチストの場合. 曲 線はやや二乗である。彼らは余命を増加させる ので, 有益なライフスタイルの差は, 少なくて も短縮を生じさせる。特に、若年と中年のアド ベンチストは、遺伝的な潜在能力の近くまで生 存できるが、実際にどのようにこの潜在能力に 近づけるかは明確でない。

### ...

# カリフォルニア アドベンチストの死因(他との比較)

アドベンチストと他との寿命の違いは、少し、一般的な原因による死亡率の一定の低下に起因するか、特異的な死因のリスクの低下によるのかも知れない。もし、前者が正しいとすると、アドベンチストの死因毎の割合は、他の人と極めて類似したものとなるが、これらの事象は、遅い年齢で初めて現れる。後者が正しい場合、一つの死因の低下は、他の死因の抑制に関して、個人のリスクを軽減することになる。そうして、特異的な原因による死亡率は変化することになる。ライフスタイルは、どのくらい生存できる

かだけでなく、どんな原因で死亡するかを決定 するのだろうか。

フォローアップの期間のコホートで実際に観 察される特別の原因を元にして、死亡率を列挙 することは簡単ではあるが、これは、アドベン チスト集団の現役の人の死亡率の実際の原因特 定力を正しく反映しているとは言えない。コ ホートの参加者の性質は、同じリスクの特徴で 始まる理論的なアドベンチスト集団と比較し て、男女の特定の年齢に見られる被験者の割合 のデータを歪めるかも知れないが、その後は、 フォローアップに対する損失無しで, 完全に寿 命全体を超えて続いていく。(生命表は1手法) 幸運にも, ボランテイア活動に由来する異なる 年齢の被験者の割合のゆがみは、生命表を正し く作り上げるために必要な年齢と性別特異的な リスクや死亡率のハザードを推定する能力を妨 げることはない。

アドベンチストと非アドベンチストにとっ て, 年齢と性別特異的な死亡原因は, 生命表の 一連の多変量解析で計算され、それぞれが、対 象のエンドポイントで、特定の死因を有するが、 他の死亡原因と競わせることになる。(表 4.5 参照) これらの解析は、死亡原因の競いを説明 する最近の記述的ナンパラメトリックハザード 率モデルを用いていて、さらに暴露時は指数と なる。結果は、30歳を超えた人の死亡のみを 表し、30歳を超えた他のカリフォルニア人の 予測死亡原因と比較される。原因を確定するた めに、同じ死亡証明 ICD コードが用いられる。 また、アドベンチストに対しては、死亡原因に ついて、2つの異なるリスク行動プロファイル の予測影響が比較される。最初のプロファイル では、ベジタリアンの状態、ナッツ消費、BMI (体格指数) と運動については、全ての被験者 のリスク値は低く,2番目では、これらの変数 は全ての被験者でハイリスクとなっている。(表 4-5 の脚注 b 参照)

全てのアドバンチストと,他のカリフォルニア人との死亡原因を比べて見ると,多くの違いが見つかる。心疾患についての死亡%は,ア

ドベンチストと非アドベンチストは類似しているが、アドベンチスのがん死については、類似性は低い。しかし、これらのタイプの疾患発症の平均年齢は、アドベンチストではかなり高いことは注目される。アドベンチストの脳卒中は、やや少なそうだが、これらの脳卒中は、もっと高年齢で発生している。慢性閉塞性肺疾患(COPD)死は、アドバンチストでは、あまり一般的でないが、これは、疑いもなく、喫煙しないことによる。アドベンチスト女性の肺炎あるいはインフルエンザによる死亡は少ない

様で、アドベンチスト男性ではやや多いように 見えるが、平均すると、非アドベンチストより も高年齢では、かなり多く発生している。最後 に、アドベンチストの糖尿病による死亡は、少 ないように見えるが、これは後述のように、恐 らく、少なくても一部はライフスタイルの相違 である。

要約すると、アドベンチストは脳卒中による 死亡はやや多いようで、心疾患死は同じよう で、がん、不測の傷害、COPDや糖尿病は、少 ない様であるが、これらの死亡全ては、より高

表 4-5 致死性病因での、平均年齢と病因名称における死亡 % (特殊なリスク群  $^{b}$  のカリフォルニアア・ドベンチスト  $^{a}$  と非アドベンチスト・カリフォルニア人  $^{c}$ )

	全カリフォルニア人		全アドベンチスト		低リスク アドベンチスト		高リスク アドベンチスト	
	%	 年齢	%	年齢	%	年齢	%	年齢
(男性)								
<死因 (%) >								
心疾患	39	75.7	40.4	82.9 †††	30.7	88	44.8**	75.5***
悪性新生物(がん)	23.4	71.2	19 †††	77.9	29.9	85.3	13.8**	73.5***
脳血管疾患(脳卒中)	6.6	79.4	8.7 ††	85.8 †††	11	91	8.2	78.9***
不慮の傷害	2.9	59.5	3.5	69.6 <sup>†††</sup>	4.7	82.5	3.4	68.3
COPD と関連疾患	5.6	76.3	2.5 †††	82.6 †††	0.4	74.6	3.3*	77.7
肺炎とインフルエンザ	4.5	81.8	6.1 <sup>†</sup>	87.8 †††	10.4	89.1	$3.6^{*}$	84.2
糖尿病	1.1	73	1.3	81.6	0.3	80.8	1.3	76.8
(女性)								
<死因 (%) >								
心疾患	38.6	83.1	38.1	86.9 †††	36	92	41.4	81.1***
悪性新生物(がん)	21.4	71.6	17.2 ***	75.8 <sup>†††</sup>	18.5	80.2	18	73.2**
脳血管疾患(脳卒中)	10.9	83.9	$12.2^{\dagger}$	87 ***	16.2	92.7	7.9**	81.5***
不慮の傷害	1.8	69.4	2.1	73.4	3.1	84.7	1.3	71.4
COPD と関連疾患	4.2	76.4	$1.4^{\dagger\dagger\dagger}$	81.3 †††	1.9	96.7	0.9	$80.8^*$
肺炎とインフルエンザ	5.5	86.2	$4.4^{\dagger\dagger}$	$90.4^{\dagger\dagger\dagger}$	4.8	94.4	3.2	88.8
糖尿病	1.4	76.9	1.3	81.1 †	0.4	74.8	2.3*	84.1

COPD:慢性閉塞性肺疾患

a 全ての結果は、1976 年~ 1988 年のアドベンチストのフォローアップデータと 1985 年のカリフォルニア非アドベン チストのデータを用いた、多離脱生命表解析からのもの

b 低リスク;肉は 1 以下 / 月,激しい運動を 3 回 / 週,ナッツ 5 以上 / 週,BMI は,3 分位の中,中リスク;肉は 1 未満 / 週,激しい運動を適宜,ナッツは, $1\sim4$  / 週,BMI は 3 分位の中,高リスク;肉 1 以上 / 週,激しい運動なし,ナッツは,1 未満 / 週,BMI は,高 3 分位

c 高リスクアドベンチストと低リスクアドベンチスト間の比較を示す

<sup>&</sup>lt;sup>†</sup> 全てのカリフォルニア人と全てのアドベンチスト間の比較を示す

p < .05, p < 0.01, p < 0.001p < 0.05, p < 0.01, p < 0.001

齢時に起きている。興味深いことは、異なるラ イフスタイルを選択したアドベンチストの予測 原因の比較である。(表.4-5 参照) このように、 単にアドベンチストである効果からライフスタ イル構成要素の特殊な組み合わせ効果に至るま で、また、どのように死亡原因に影響するのか の焦点が研ぎ澄まされることになる。ハイリス クの行動スタイルを持つアドベンチストは、非 アドベンチストカリフォルニア人に近い結果を 示すが、2~4年遅れて死亡が生じる。低リス クの行動スタイルのアドベンチストと比べる と、高リスクのアドベンチスト男性の殆どは心 疾患で死亡し、がんは少数であるが、両者の死 亡は、約12年若くして起きている。

低リスクのアドベンチストは、死亡原因と、 かなりの低リスク集団の死亡年齢を研究する誘 因となっている。彼らの死亡原因は、他の人と 違うのだろうか。非アドベンチストと比較した 時、主な違いは、死亡年齢で、一般的な死亡原 因については、男性では、12歳~14歳違い、 女性では9歳の違いがある。これらの結果は、 医学系論文に頻繁に見られる相対リスク統計に ついてある種の視点を提供してくれる。低リス ク群は、どの年代でも死亡原因のリスクが低い が、いずれは死に至る。 賢いライフスタイルは、 殆どの原因で死亡を遅延することを,この章で 示されている解析は明解に示している。アドベ ンチストの主要な死亡原因は, 低リスクのアド ベンチストでさえ,他の集団で見られるものと 同様であり、彼らの相対比が、少し変化するだ けである。



カリフォルニア・アドベンチストの 死亡率と平均余命の時代的傾向

米国の出生時の平均余命は、1900年~1985

年の間にかなりの増加があった(女性で29.32 年. 男性で 24.74年) が. この成果の多くは幼 児死亡率の顕著な低下によるものであった。50 歳まで生き延びた人の伸び数は、それぞれ、9.4 年と5年である。

1960年~1986年の間になると、カリフォル ニアでは、誕生時の平均余命は、男女共4.9年 増加し、65歳まで生き延びた人は、男性で2.5 年、女性で2.9年の増加となった。

カリフォルニア・アドベンチストについて, 成人の平均余命はこの様な控えめな伸びなのだ ろうか。20世紀になり、公衆衛生の改善に寄 与した主要な要因は、社会とライフスタイルの 要因であるという好ましいエビデンスが出てき た。もし、これらの要因がまだ重要とすれば、 カリフォルニア・アドベンチストは、その比較 的望ましい健康習慣や社会経済的プロフィール が故に他の人よりも利点が少ないかも知れな い。しかし、標準的な生活、社会環境や医学の 進歩の継続的な改善は, 社会全体に対し潜在的 に有効である。これらの要因が長寿に影響する という点に限ると、1960年~1988年のアドベ ンチストの平均余命の改善は少し、期待できる かも知れない。

上記にあるように、初期の AMS 結果 (1960 ~ 1962) は、すでに 35 歳まで生き延びたアド ベンチストの男女は、それぞれ、77.4年と80.1 年との死亡平均年齢を予測していた。近年の同 程度の AHS では,81.8年と84.5年である。従っ て、35歳まで生き延びたアドベンチストの男 女においての 1960 年代と 1980 年代初期の平均 余命は4.4年の増加との推定が最良であること を示している。このことは、同期間の間での非 アドベンチストの男女の平均余命が4.9年と良 く似ていいる。明らかに、長寿のアドベンチス ト集団は, 平均余命を伸ばし続ける近代社会の 力から恩恵を受けている。

# 野! の花 <sub>一身近な山野草の食効・薬効 —</sub>

城西大学薬学部 白瀧 義明 (SHIRATAKI Yoshiaki)

# キササゲ Catalpa ovata G. Don (ノウゼンカズラ科 Bignoniaceae)

秋も深まり、秋風が心地よく吹き抜ける頃、山裾を歩いていると、寺社の境内などで細長い多く の果実を付けた樹木を見かけることがあります。これがキササゲです。キササゲは高さ5~10m にもなる落葉性小高木で幹も太く, 直径が 60cm に達するものがあり, 葉は桐のようで大きく, や や三角形状の広卵円形です。中国原産とされますが日本各地の河川敷など、湿った場所に野生化し た帰化植物です。花期は6~7月,淡黄色で内面の奥に紫褐色~暗紫色の斑点のある花を咲かせ, 秋に実る果実は細長い蒴果で豆の仲間のササゲ(大角豆,豇豆)Vigna unguiculata に似ているこ とからキササゲ(木大角豆,木豇豆,梓,楸)といわれます。日本では「梓(し)」の字は一般に



写真 1 キササゲ (花)



写真2 キササゲ (果実)



キササゲ(楸)の大木



写真4 生薬:キササゲ(梓実)

catalpol

catalposide

# p-hydroxybenzoic acid

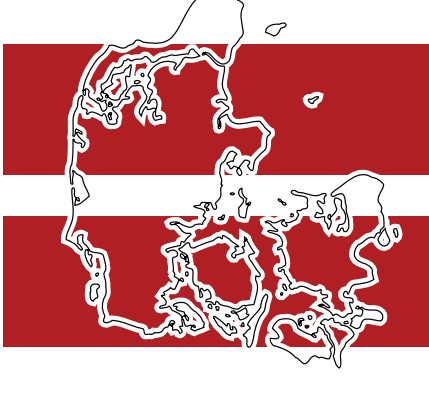
### 図1 成分の構造式

「あずさ」と読まれ、カバノキ科のミズメ(ヨグソミネバリ)Betula grossa の別名とされています が、本来はキササゲのことです。また、轍はアカメガシワ Mallotus japonicus とする説もありますが、 本来はトウキササゲ C. Bungei のようです。本植物の果実は細長く、長さ約 30cm で房状に垂れ下 がり、熟すると先端より2裂し、多数の種子を放出します。種子は偏平で両端に糸状の長い毛があ り、果皮は薄くて折れやすく、においはほとんどなくわずかに渋い味がします。生薬としては果実 が熟し、緑色から褐色に代わる頃、採取し、乾燥したものが良く、全開したものは品質が劣るよう です。生薬名をキササゲ(梓実, Catalpae Fructus)といい、腎炎、ネフローゼ、脚気、低血圧な どで浮腫があるとき、利尿薬として使われます。利尿効果はキササゲに南蛮毛(トウモロコシ Zea mays の雌花の長いひげ状の花柱)を加えるとより効果的だそうです。また、根皮は脊白皮といわ れ、解熱、解毒剤として皮膚のかゆみやできものなどに利用されます。果実の成分としては、イリ ドイド配糖体の catalpol, catalposide など、フェノール化合物の *p*-hydroxybenzoic acid、灰分(カ リウム塩)などが報告され、民間薬として利用されてきました。同属植物に花は白色で内面に紫色 の斑点があるトウキササゲ、花は白色で紫褐色の斑点があるアメリカキササゲ C. bignonioides な どがあり、トウキササゲの果実もキササゲ同様、生薬のキササゲとして日本薬局方に収載されてい ます。

**民間薬と漢方薬の違い**:漢方薬は、根拠となる出典があり、葛根湯、小柴胡湯のように、傷寒論 などの古典に記載され、証に基づいて処方され、生薬を一定の割合で組み合わせて用いることが多 い。一方、民間薬は理論的な背景はあまりなく、民間伝承によって伝えられ、生薬を単一で用いる ことが多く、センブリ、ドクダミ、ゲンノショウコなどがよく知られています。

連絡先:白瀧 義明

城西大学薬学部生薬学教室 shiratak@josai.ac.jp

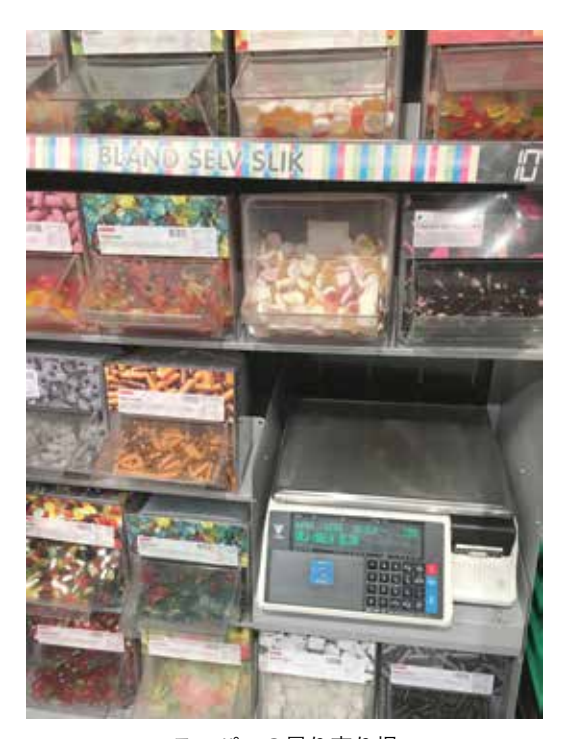


# デンマークのキャンディ

今回はデンマークのキャンディーにまつわる話を紹介したいと思います。

デンマーク語で Slik( スリックと発音 ) や bolsie( ボルシ ) を英語にすると、キャンディーとなる のですが、日本でいう飴だけを指す言葉ではなく、甘いグミやキャラメル、Lakris(ラクリス)に 至るまで広い意味を持ちます。スリックは、デンマークの子供達だけでなく、大人にも愛されてい るお菓子です。デンマークのスーパーや、街の商店、ガソリンスタンドに併設のコンビニのような 場所に行くと、スリック売り場がかなり広い範囲を占めていることに気づくと思います。日本でも 最近ハリボーのグミを見かけるようになりましたが、ここデンマークでは、どこに行っても必ず、 様々な種類のハリボーのグミやゼリー商品がたくさん並んでいます。ハリボーはドイツ発のお菓子 メーカーですが、デンマークでハリボーを知らない人はいないほど広く普及しています。

ハリボーはパッケージになって小売店で売られている商品ですが、それとは別に、スリックの「量 り売り」も、ここデンマークではよく見かけます。スリックの量り売り場には、グミやゼリー、キャ ラメルや飴、チョコレートや、砂糖菓子など、様々な種類のお菓子が容器に入っており、使い捨て のビニール手袋をはめて、紙袋へ好きなお菓子を好きなだけ入れ、最後に秤で測り、重さに応じて 印刷されて出てくるラベルを貼って、レジで会計となります。例えば、金曜日にもなると、「金曜日



スーパーの量り売り場



量り売り場で測ってラベルを貼って会計へ

のスリック | (花金だから特 別にお菓子を買う、意味を 込めて)だといって、街の 商店やスーパーの量り売り 場へ、お小遣いを持って買 いに来る子供達をよく見か けます。量り売りのいいと ころは、自分が好きな種類 のものを選んで買えること. また、10円くらいの少量か らでも買えることでしょう。 また, 自分で選んで袋に詰 める. というプロセスは小 さな子供にとってはとても 楽しいひと時でもあること



ラクリス、黒くて硬くてまずい?

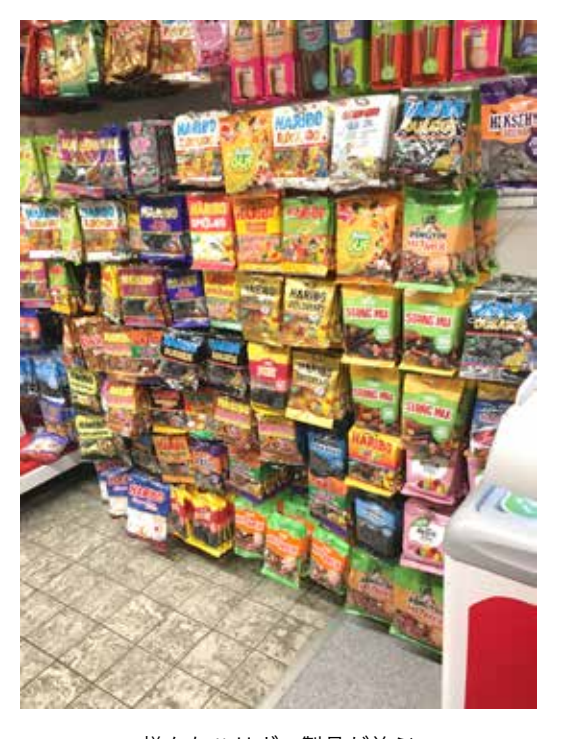


ハリボーのグミ

間違いなしです。この量り売りは、映画館などに も、必ずといっていいほどあり、映画のチケット を買ったら、上映場所に行く前にお菓子売り場が 必ずあり、そこで量り売りのスリックや、ポップ コーン, ジュースを買って上映場所に向かいます。

グミやゼリーには、色々な形がありますが(ハ リボーの熊の形をしたグミは日本でもよく見かけ ます)、指にはめられるような形のものや、バナ ナの形をしたもの、コカコーラの形のしたもの、 いちごの形になっているもの、なが一い紐状に なっているものなど、本当に様々です。味も、コ カコーラ味やいちご味などいろいろですが、荒め の砂糖がまぶしてあるものや、チョコレートと合 体しているものなど, バリエーションが様々です。

さて、ここで一つ外せないのが、ラクリスです。 ラクリスはヨーロッパ、特に北欧で愛されている お菓子ですが、あま草のエキスを使った食材で、 スリック売り場には、ラクリスと書かれた黒い硬 いお菓子の. 様々なバリエーションが陳列されて



様々なハリボー製品が並ぶ

います。ラクリスは、日本人の感覚からすると、臭く、薬のようで、とにかくまずい、というのが一般見解だと思います。しかしデンマーク人の多くは、ラクリスが大好きで、グミなどと同じ感覚で楽しんでいます。確かに、デンマークの小さな子供は、ラクリスはまだ苦手ということも多いですが、大きくなるにつれ、多くのデンマーク人が好きになる食材です。特に、塩のかかったラクリスキャンディーは、大人にも人気です。デンマークで真っ黒の、硬い物体があったら、ラクリスである可能性が高いので、購入時には注意が必要です。

デンマークのお菓子の代表,スリックを紹介しましたが、日本ではお菓子メーカーが、様々な商品を常に開発して市場に出しているのに比べると、デンマークでは、定番のお菓子が常に陳列されているというイメージです。大人になっても、自分が子供の時から好きだった商品があるというのも、素敵なことなのでしょう。

### http://www.newfoodindustry.com/

# ニューフードインダストリー 第60巻 第11号

**印 刷** 平成 30 年 10 月 25 日 **発 行** 平成 30 年 11 月 1 日

発行人渡邊力編集人今西和政

発行所 エヌエフアイ合同会社

〒185-0012 東京都国分寺市本町3-7-23-302

TEL:042-312-0836(代表) FAX:042-312-0845

振込先:三井住友銀行 国分寺支店 普通2312814 多摩信用金庫 国分寺支店 普通3073817 ゆうちょ銀行 ○一九店 当座0324817

印刷所 株式会社メイク

定 価 本体2,000円 +税 (送料100円)

e-mail:newfood@newfoodindustry.com